ВЛАДИМИР ГЕННАДЬЕВИЧ
ЛУЗГИН

ЖИЗНЬ В ЭФИРЕ

Монография

УДК 82.3
ББК 84-445
Л83

Лузгин Владимир Геннадьевич
Л83 Жизнь в Эфире/ Владимир Геннадьевич Лузгин.
Издательское решения, 2025 год.
ISBN 978-5-0068-2069-2

Монография **«Жизнь в Эфире»** представляет собой междисциплинарное исследование концепции Эфира как универсальной многослойной среды, объединяющей физические, информационные, технологические и вычислительные процессы. Автор предлагает современную интерпретацию Эфира не как устаревшего механического носителя волн, а как совокупность полей, сетей, топологических структур и динамических многообразий, формирующих архитектуру реальности и функционирование сложных систем.
В работе подробно рассматриваются исторические модели Эфира, современные физические представления о квантовых и геометрических полях, теория информации, распределённые вычисления, сетевые протоколы, биофизические процессы и принципы самоорганизации. Особое внимание уделено математическим моделям динамики полей, эмерджентным явлениям и поведению живых и искусственных систем в многоуровневой среде Эфира.
Монография формирует целостную теоретическую рамку, в которой взаимодействуют квантовые процессы, информационные потоки, технологические сети и вычислительные структуры. Эта модель позволяет по-новому взглянуть на природу жизни, сознания, искусственного интеллекта и киберфизических систем, а также увидеть их как элементы единого вычислительно-физического континуума.
Книга предназначена для исследователей, инженеров, специалистов в области физики, информатики, математики, биофизики, искусственного интеллекта и всех, кто интересуется фундаментальными основами устройства сложных систем и современными междисциплинарными концепциями.

УДК 82.3
ББК 84-445

12+ В соответствии с ФЗ от 29.12.2010 №436-ФЗ

ISBN 978-5-0068-2069-2 **© Владимир Геннадьевич Лузгин, 2025 год.**

Оглавление

От автора 5

Предисловие 6

Глава 1. Введение 6

Глава 2. Исторические концепции Эфира 9

Глава 3. Многообразия и поля как математический фундамент Эфира 13

Глава 4. Информационный Эфир как поле на многообразии вероятностных состояний 19

Глава 5. Технологический Эфир: сети, протоколы, виртуальные среды 28

Глава 6. Интегрированный Эфир: физический, информационный и технологический слои 33

Глава 7. Эмерджентные структуры и самоорганизация в Эфире 36

Глава 8. Живые системы в Эфире: биофизический аспект 41

Глава 9. Искусственные агенты и алгоритмическая жизнь в Эфире 49

Глава 10. Эфир как вычислительная среда 54

Глава 11. Практические реализации Эфира: IoT, киберфизические системы и распределённые сети 59

Глава 12. Экспериментальные данные и наблюдения Эфира 64

Глава 13. Методы математического моделирования Эфира 71

Глава 14. Энергетика Эфира: потоки, градиенты, термодинамика и баланс 79

Глава 15. Топология Эфира: дефекты, связность, петли, узлы и гомотопии 84

Глава 16. Волны Эфира: распространение, интерференция, когерентность и резонансы 89

Глава 17. Эфир и время: хронотопы, ритмы, циклы и причинность 95

Глава 18. Эфир и пространство: фрактальность, искривления, масштабная структура и симметрии 99

Глава 19. Поля Эфира: универсальная полевая теория взаимодействий слоёв 104

Глава 20. Информация в Эфире: энтропия, порядок, смысл и вычисление 110

Глава 21. Алгоритмическая природа Эфира: вычисление, оптимизация, обучение и модели 114

Глава 22. Биологический Эфир: жизнь, организация, эволюция и адаптация 118

Глава 23. Технологический Эфир: сети, инфраструктуры, системы и распределённые процессы 122

Глава 24. Когнитивный Эфир: внимание, память, мышление и сознание 127

Глава 25. Синергия всех слоёв Эфира: единая теория полей сознания, информации и вычислений 131

Глава 26. Этика, онтология и будущее Эфира: человек, ИИ и новая система реальности 135

Глава 27. Математическая модель Эфира: многообразия, операторы, динамика и инварианты 139

Глава 28. Физическое моделирование Эфира: уравнения, симуляции, поля и волны 144

Глава 29. Информационные уравнения Эфира: энтропия, смысл, структуры и вероятностная динамика 149

Глава 30. Алгоритмические уравнения Эфира: вычисление, оптимизация, модели и обучение 153

Глава 31. Когнитивный слой Эфира: модели сознания, поля смыслов и динамика восприятия 158

Глава 32. Биологический слой Эфира: жизнь, клетки, биополя, морфогенез и метаболизм 162

Глава 33. Технологический слой Эфира: сети, интерфейсы, архитектуры, инфраструктуры и инженерия смысла 167

Глава 34. Связь слоёв Эфира: интеграция, резонансы, кросс-динамика и унифицированная модель 171

Глава 35. Энергия Эфира: потоки, градиенты, потенциалы и информэнергетика ... 176

Глава 36. Геометрия Эфира: кривизна, связность, топология и многослойные деформации 181

Глава 37. Единые уравнения Эфира: вариационный принцип, операторная структура и полномасштабная динамика 188

Глава 38. Симметрии Эфира: группы Ли, инварианты и законы сохранения 193

Глава 39. Квантование Эфира: геометрическая, информационная и операционная квантовая структура многослойной реальности 199

Глава 40. Эмерджентные структуры Эфира: квантово-классическая граница, фазовые переходы, самоорганизация и многомасштабная динамика 205

Заключающая Глава. 211

Эпилог 215

От автора

Предлагаемая вниманию читателя монография является результатом многолетних междисциплинарных исследований, направленных на формирование целостной теоретической модели, способной объединить физические, информационные и вычислительные аспекты современной научной картины мира. В центре данного исследования находится обобщённая концепция «Эфира» — не в историческом, механистическом смысле, но как универсальной многоуровневой среды, в которой сосуществуют и взаимодействуют поля различной природы, структуры данных, алгоритмические процессы и технологические инфраструктуры.

За последние десятилетия наука столкнулась с парадоксом: стремительно углубляясь в собственные специализации, дисциплины одновременно утрачивают способность описывать явления, выходящие за рамки их узкого предметного поля. В физике, теории информации, биофизике, инженерных и вычислительных науках накоплен значительный объём знаний о сложных системах, однако отсутствует единая методология, позволяющая рассматривать их в интегрированном пространстве понятий. На мой взгляд, подобная унификация является не просто желательной, но необходимой, поскольку современная реальность всё более явно проявляет свой многослойный, полевой и сетевой характер.

В этой работе предпринимается попытка описать Эфир как обобщённое многообразие, включающее физические поля, информационные распределения, технологические сети и вычислительные процессы, а также показать, каким образом в этой среде возникают эмерджентные структуры, самоорганизующиеся системы и формы «жизни» — как биологической, так и искусственной. Такой подход, будучи метафорическим по происхождению, опирается на строгий математический аппарат, современные представления теории поля, топологию, теорию информации, динамические системы и методы распределённых вычислений.

Цель книги — не предложить окончательную модель, а сформировать понятийный и формальный каркас, который позволит исследователям различных областей увидеть общие закономерности в процессах, традиционно рассматриваемых изолированно. «Жизнь в Эфире» — это, прежде всего, попытка описания мира как целостной полевой структуры, в которой физическое, информационное и вычислительное не разделены, а представляют собой взаимосвязанные проявления единого основания.

Выражаю надежду, что данная монография послужит стимулом для дальнейших исследований в области синтетических и интегративных научных подходов и окажется полезной тем, кто стремится выйти за пределы дисциплинарных рамок в поисках более фундаментальных структур реальности.

Владимир Геннадьевич Лузгин
Санкт-Петербург, 2025 г.

Предисловие

Настоящая монография посвящена комплексному исследованию концепции «Эфира» в контексте современной физики, математики, инженерных дисциплин и вычислительных наук. Термин «Эфир» используется здесь не как устаревшая физическая гипотеза XIX века, а как метафорическое обозначение совокупности полей, сетевых структур, информационных потоков и математических многообразий, которые определяют архитектуру реальности и функционирование технологических систем.
Цель книги — сформировать научную модель «Жизни в Эфире», то есть существования систем, организмов и искусственных агентов в среде, определяемой информационными и физическими полями.

Глава 1. Введение

Современное научно-техническое знание демонстрирует всё более выраженную тенденцию к фрагментации. Развитие таких областей, как физика элементарных частиц, квантовая теория информации, теория сложных динамических систем, распределённые вычисления, биофизика и искусственный интеллект, происходит преимущественно автономно, в рамках собственных понятийных аппаратов и методологических парадигм. Однако по мере роста сложности исследуемых объектов и увеличения степени их взаимосвязанности становится очевидной необходимость формирования **единого методологического пространства**, способного объединить физические, информационные и вычислительные процессы в рамках общей модели.
В настоящей монографии предлагается такая модель — **концепция Эфира**, понимаемого не в историческом смысле как механический носитель электромагнитных волн, а как **абстрактная многослойная структура**, включающая три взаимопроникающих уровня:

1. **Физический Эфир**: квантовые поля, метрика пространства-времени, электромагнитные и гравитационные поля, топологические конфигурации и дефекты.
2. **Информационный Эфир**: распределения данных, коды, алгоритмические структуры, вероятностные поля, меры энтропии.
3. **Технологический Эфир**: коммуникационные сети, распределённые вычислительные системы, цифровые протоколы и киберфизические инфраструктуры.

Понятие **«жизнь в Эфире»** определяется как существование и эволюция биологических, вычислительных, квантовых и искусственных систем, взаимодействующих с этими слоями и формирующих собственные поля.

1.1. Мотивы и основания для синтетической модели

1.1.1. Единство физических полей

Современная квантовая теория поля (КТП) показывает, что фундаментальные взаимодействия описываются через калибровочные поля, определённые на гладких многообразиях. Вакуум в рамках КТП выступает не пустым фоновым состоянием, а **динамической средой**, характеризующейся:

- энерголандшафтом и структурой нулевых колебаний,
- наличием виртуальных возбуждений,
- сложной топологией возможных конфигураций.

Вакуумные корреляционные функции определяют вероятности рождения и аннигиляции частиц, топологические классы определяют стабильность элементарных возбуждений, а флуктуации влияют на спектральные свойства (эффект Лэмба), силы взаимодействия (эффект Казимира), параметры элементарных частиц.

Таким образом, **современная физическая картина вакуума функционально эквивалентна Эфиру нового типа** — математически формализованному полевому субстрату, обладающему измеряемыми свойствами.

1.1.2. Полевые характеристики информации

В теории информации и вычислений наблюдается концептуальный параллелизм: информация также проявляет себя как поле распределённых значений. Пусть

$$p(a|x,t)$$

— вероятность наблюдать символ **a** в точке **x** в момент **t**. Тогда информационная среда описывается полем

$$I(x,t) = \{p(a|x,t)\}.$$

Энтропия

$$H(I) = -\sum p(a)\log p(a)$$

выступает функционалом состояния информационного поля. Метрики различия между состояниями — дивергенция Кульбака–Лейблера, расстояние Вассерштейна и др. — задают геометрию информационных многобразий.

Следовательно, информация проявляет свойства, аналогичные физическим полям: **распределённость, градиенты, потоки, динамические уравнения**.

1.1.3. Технологические системы как физико-информационные поля

Современные коммуникационные и вычислительные сети — от классических телекоммуникаций до квантовых коммуникаций — образуют сложные топологические структуры, в которых:

- узлы — локальные центры хранения и обработки состояний,
- рёбра — каналы передачи сигналов,
- протоколы — правила эволюции состояний.

Глобальная динамика сети может быть записана в виде:

$$\frac{ds}{dt} = As,$$

где **A** — оператор смежности или матрица стохастической динамики.

Таким образом, технологические сети можно рассматривать как **целенаправленно созданные человеко-инженерные аналоги Эфира**, функционирующие на стыке физики, теории информации и алгоритмики.

1.2. Эфир как универсальная среда: формальное определение

В данной монографии под Эфиром понимается:

Многослойное многообразие, на котором задана совокупность физических, информационных и технологических полей, а также операторов их взаимодействия.

Обозначим:

- **M** — физическое пространство-время (или его обобщение),
- **S** — пространство состояний системы,
- **φ:M→S** — отображение, задающее состояние в каждой точке,
- F — оператор эволюции (детерминированный, стохастический или квантовый).

Тогда Эфир описывается структурой

$$E = (M, S, \varphi, F).$$

Пример:

$$\varphi(x,t) = (E(x,t), B(x,t), \rho(x,t), I(x,t)),$$

где E и B — компоненты электромагнитного поля,
ρ — плотность вещества,
I — информационная плотность.
Каждая точка пространства обладает многомерным векторным состоянием, включающим как физические, так и информационно-вычислительные параметры.

1.3. Эфир как непрерывная вычислительная среда

Современные вычислительные концепции допускают трактовку физической реальности как универсального вычислительного автомата. Если состояние **φ(x,t)** является непрерывной функцией, то вычислительный процесс можно записать как:

$$\varphi(x, t + \Delta t) = F[\varphi(x,t)],$$

где **F** — оператор перенормировки, уравнение поля или аналог машины Тьюринга с непрерывными состояниями.
Эфир обладает следующими свойствами:

- **универсальность вычислений** — возможность моделировать произвольные автоматные процессы;
- **массовый параллелизм** — обновление состояний в каждой точке пространства;
- **локальная причинность** — влияние ограничено локальными окрестностями;
- **физическая реалистичность** — ограничения скоростей передачи информации, энергии и импульса.

Таким образом, Эфир выступает как **фундаментальный вычислительный субстрат**, на котором естественным образом возникают физические, информационные и алгоритмические структуры.

1.4. Взаимодействие живых систем с Эфиром

Живые организмы взаимодействуют с Эфиром посредством обмена:

- **энергией** — через физические поля,
- **информацией** — через нейронные, генетические и биохимические механизмы,
- **сигналами** — через технологические и социальные среды (для искусственных агентов).

Жизнь в Эфире включает способность системы:

1. воспринимать состояние среды **φ(x,t);**
2. модифицировать её локальные и глобальные конфигурации;
3. адаптироваться к изменяющейся динамике;
4. создавать собственные поля — биофотонные, нейронные, химические, вычислительные.

Экосистема живого организма распадается по слоям Эфира:

- ДНК — кодовый элемент информационного слоя;
- белковые комплексы — динамические машины физического слоя;
- нервная система — биологическая вычислительная сеть, структурно аналогичная технологическим слоям.

1.5. Необходимость междисциплинарного подхода

Фрагментация современных наук приводит к тому, что:

- физика поля изолирует динамику от информационной семантики;
- теория информации абстрагируется от физических носителей;
- вычислительные науки используют идеализированные модели;
- биология зачастую не учитывает квантово-полевые аспекты.

Концепция Эфира предлагает **единый математический язык**, сочетающий:

- тензорный анализ,
- теорию информации,
- динамические системы,
- топологию,
- сетевые модели,
- вероятностные автоматы.

Это формирует основу новой дисциплины — **эфиродинамики многослойных систем**, аналогичной синергетике, но более общей и структурно богатой.

1.6. Основные задачи монографии

Цель книги — построить научно строгую, математически формализованную и инженерно применимую модель Эфира.

Ключевые задачи:

1. Описать физический, информационный и технологический уровни Эфира.
2. Сформировать единую математическую структуру для их анализа.
3. Показать механизмы возникновения эмерджентных структур.
4. Исследовать взаимодействие живых и искусственных агентов с Эфиром.
5. Разработать методы вычислений, симуляции и управления в Эфире.
6. Рассмотреть экспериментальные данные, интерпретируемые как проявления аналогов Эфира.
7. Осветить философские и этические последствия функционирования систем в Эфире.

Глава 2. Исторические концепции Эфира

Эволюция представлений об Эфире отражает более широкий процесс развития научного мышления — переход от качественных натурфилософских образов к количественным математизированным теориям. Хотя классическая физика начала XX века формально отказалась от представления о механическом эфире, сама идея **универсальной среды, обеспечивающей взаимодействия и корреляции между объектами**, не исчезла, а преобразовалась в новые концептуальные формы: полевые теории, геометризацию физики, квантовый вакуум, информационные поля и технологически реализованные распределённые среды.

В данной главе рассматриваются ключевые этапы формирования эфирных представлений, анализируются причины отказа от ранних моделей и показывается, какие элементы этих гипотез были сохранены, переосмыслены или формализованы в современной науке.

2.1. Античные и средневековые представления о «пятой сущности»

Одним из первых теоретических источников эфирных идей является античная натурфилософия. В работах Аристотеля и последователей «пятая сущность» — **αἰθήρ** — обозначала особую субстанцию, отличную от земных стихий.

Ключевые свойства аристотелевского эфира:

- **вечность и неизменность**, что подчёркивало идею о его «надземной» природе;
- **неделимость**, предполагающая отсутствие атомарной структуры;
- **отсутствие сопротивления**, что объясняло безупречные круговые траектории планет;
- **универсальность**, поскольку эфир рассматривался как основа небесной механики.

Несмотря на философский характер, модель Аристотеля ввела фундаментальный методологический принцип:

между телами существует некая универсальная среда, обеспечивающая непрерывность взаимодействий.

Позже этот принцип станет важным в полевых теориях XIX–XX веков, где сила рассматривается не как «действие на расстоянии», а как локальное взаимодействие с полем.

2.2. Эфир механической физики XVII–XIX веков

С развитием механики и оптики возникла необходимость объяснить распространение света и действие сил в «пустоте». Механический эфир стал заменой метафизических представлений о среде, но при этом опирался на принцип **механистического реализма**.

2.2.1. Свет как волновой процесс

Работы Гюйгенса, Френеля и позже Максвелла ввели свет как электромагнитную волну. Волновая теория требовала наличия среды-носителя, аналогичной упругой среде механики.

Чтобы поддерживать **поперечные электромагнитные волны**, эфир должен был обладать парадоксальной комбинацией физических свойств:

- высокой жёсткостью (поддержка поперечных колебаний),
- нулевой плотностью (чтобы не тормозить движение планет и не деформировать траектории),
- однородностью и неизменностью,
- неподвижностью относительно абсолютного пространства.

Эфир рассматривался как:

- неподвижная система отсчёта,
- упругая среда с неясной внутренней структурой,
- математическая основа волновых уравнений Максвелла.

Хотя эта модель была несовместима с рядом наблюдений, она впервые предложила **унифицированное описание электричества, магнетизма и света**.

2.2.2. Свойства эфира в механической модели

Классические волновые уравнения Максвелла:

$$\nabla^2 E = \frac{1}{c^2}\frac{\partial^2 E}{\partial t^2}, \quad \nabla^2 B = \frac{1}{c^2}\frac{\partial^2 B}{\partial t^2}$$

описывали поведение электромагнитных полей, но не давали внутренней модели самой среды-носителя. Поля взаимодействовали напрямую, а эфир выступал скорее **онтологическим предположением**, нежели физически наблюдаемым объектом.

Ключевая проблема: никакой прямой экспериментальной детекции эфирной среды не удалось получить.

2.3. Кризис классического эфира

К концу XIX века механический эфир стал внутренне противоречивым и плохо согласовывался с точными измерениями.

2.3.1. Эксперимент Майкельсона–Морли (1887)

Цель: измерить движение Земли относительно неподвижного эфира.

Предсказание эфирной теории: разность времен прохождения света вдоль и поперёк движения Земли должна быть **ненулевой**.

Результат:

$$\Delta t \approx 0$$

с точностью, превосходящей пределы измерений эпохи.

Это был один из первых фундаментальных нулевых результатов, поставивших под сомнение существование абсолютного эфирного ветра.

2.3.2. Попытки сохранить эфирную концепцию

Чтобы объяснить нулевой результат, были предложены следующие гипотезы:

- **сокращение Лоренца–Фитцджеральда** (ад-хок предположение о деформации тел),
- **увлечение эфира** (модель Стокса),
- **частичное увлечение** (Френель, коэффициент Френеля),
- модификации механических свойств эфира.

Однако по мере усложнения корректировок модель становилась всё менее правдоподобной, что в конечном итоге подготовило почву для теории относительности.

2.4. Специальная теория относительности и отказ от механического эфира

Работы Эйнштейна (1905) устранили необходимость в эфире как механической среде:

- скорость света объявлена инвариантной,
- движение рассматривается относительно других тел, а не относительно абсолютной среды.

Тем не менее Эйнштейн неоднократно подчёркивал:
теория относительности не исключает существования «эфира», если ему не приписывать механических свойств.

Эфир в общей теории относительности

В ОТО пространство-время обладает собственной динамикой:

$$G_{\mu\nu} = 8\pi G T_{\mu\nu}$$

Здесь геометрия (лев. часть) = энергия и импульс (прав. часть). Пустота в ОТО не пустая — это **динамическая среда с собственной структурой**, способная:

- искривляться,
- формировать гравитационные волны,
- взаимодействовать с материей.

Таким образом, **геометрическое пространство-время стало новым немеханическим Эфиром**.

2.5. Квантовые поля как «Эфир нового типа»

Развитие квантовой теории поля радикально изменило представления о вакууме.

2.5.1. Вакуум как активная квантовая среда

Квантовый вакуум обладает нулевыми флуктуациями:

$$\langle 0|H|0\rangle \neq 0$$

Он порождает:

- виртуальные частицы,
- эффект Лэмба (изменение уровней энергии атома),
- эффект Казимира (возникающая сила между пластинами),
- испарение чёрных дыр (излучение Хокинга),
- квантовые поправки к массе и заряду частиц.

Квантовый вакуум — это уже **объективно наблюдаемая** среда с физическими последствиями, а не философская гипотеза.

2.5.2. Космологические поля

Космологические модели (инфляция, тёмная энергия) описывают:

- скалярное инфляционное поле,
- космологическую Λ-среду.

Эти поля обладают:

- однородностью,
- изотропностью,
- постоянной плотностью энергии.

Таким образом, современные космологические теории фактически используют *математически строгие аналоги эфирной среды*, но лишённые механических свойств.

2.6. Эфир в теории информации и вычислительных науках

Параллельно с физикой возникла **информационная картина мира**, в которой центральным объектом является не энергия, а информация.

Информационное поле I(x,t) описывается распределениями вероятностей и подчиняется:

- законам динамики информации,
- энтропийным функционалам,
- метрикам различия (KL-дивергенция, расстояние Вассерштейна),
- стахстическим потокам.

Информационные поля обладают физико-подобными свойствами:

- формируют градиенты неопределённости,
- распространяют сигналы,
- поддерживают волновые и диффузионные процессы.

Это создаёт концептуальную параллель с физическими полями.

2.7. Технологические и коммуникационные сети как инженерный Эфир

XXI век привёл к появлению **практически реализованной эфироподобной среды** — глобальных цифровых сетей.

Свойства современных технологических сетей:

- непрерывные процессы передачи сигналов,
- распределённость данных,
- топологическая самоорганизация,
- эмерджентная динамика (например, трафиковые волны),
- глобальная связанность.

Стек технологий интернета можно рассматривать как многослойный Эфир:

- физический слой — электромагнитные волны, волоконная оптика, квантовые каналы,
- информационный слой — коды, форматы, распределения данных,
- вычислительный слой — облачные системы, алгоритмы маршрутизации,
- протокольный слой — TCP/IP, BGP и др.

Это «Эфир», созданный инженерами, но описываемый законами физики и теории информации.

2.8. Возрождение идеи Эфира в современной междисциплинарной науке

Сегодня Эфир понимается не как вещество, а как **структурированная, динамическая, многослойная среда**, объединяющая:

- квантовые поля,
- геометрию пространства-времени,
- распределённые информационные структуры,
- вычислительные процессы,
- инженерные коммуникационные сети.

Современные аналоги эфирных концепций:

- поле Хиггса (задаёт массу частиц),
- вакуум квантовой хромодинамики,
- космологическая тёмная энергия,
- нейронные поля мозга,
- распределённые вычислительные сети.

Все они разделяют ключевую характеристику:
существуют глобальные динамические поля, определяющие локальные взаимодействия и эволюцию систем.

2.9. Исторические уроки и современная перспектива

История формирует несколько фундаментальных выводов:

1. **Ошибочным оказался не принцип Эфира, а его механическая интерпретация.**
2. Эфир XIX века был слишком конкретным;
   Эфир XXI века — **абстрактная математическая структура**.
3. «Отказ» от Эфира касался только механистической модели, но не самой идеи универсальной среды.
4. Современная научная картина фактически содержит **несколько формализованных аналогов Эфира**: квантовые поля, геометрия ОТО, информационные поля, инженерные сети.
5. Эфир эволюционировал от элементарной субстанции к **многослойной междисциплинарной концепции**, описывающей физические, информационные и вычислительные процессы в едином пространстве состояний.

Глава 3. Многообразия и поля как математический фундамент Эфира

Современная фундаментальная физика, математика и вычислительные науки используют понятие **поля** в качестве базового объекта моделирования реальности. В наиболее общей формулировке поле определяется как отображение, сопоставляющее каждой точке пространства-времени (или более абстрактного конфигурационного пространства) набор величин — скаляры, векторы, тензоры, спиноры или элементы произвольных структурированных пространств. В строгом математическом контексте поля формулируются как гладкие отображения на многообразиях, снабжённых топологической, дифференциальной и, зачастую, метрической структурами.

Эта глава вводит общую математическую основу, необходимую для понимания **Эфира как единой физико-информационно-вычислительной структуры**. Последовательное рассмотрение многообразий, дифференциальных форм, метрик, топологических структур и динамики на графах позволяет показать, что современные физические, информационные и вычислительные системы формируют единую надструктуру, в которой поля различной природы взаимодействуют в общей геометрической рамке.

3.1. Гладкие многообразия как фундамент пространства Эфира

3.1.1. Определение и строгая постановка

Пусть M — множество, локально гомеоморфное открытому подмножеству евклидова пространства $\mathbb{R}^n$. Если для каждой точки $p \in M$ существует пара (U, φ), где:

- $U \subset M$ — окрестность точки,
- $\varphi : U \to \mathbb{R}^n$ — биекционное отображение,
- φ и φ^{-1} бесконечно дифференцируемы,

то M называется **гладким n-мерным многообразием** классов C^∞.

Совокупность таких карт образует **атлас**, а совместимость карт (гладкость переходных функций) определяет **дифференциальную структуру**.
Эти определения обеспечивают возможность вводить:

- касательные пространства TpM
- тензорные поля,
- ковариантные производные,
- кривизну,
- лагранжианы и динамику.

Многообразие — это математическая арена Эфира, определяющая «геометрию возможного».

3.1.2. Многообразия как универсальный язык современной науки

Использование многообразий мотивировано фундаментальными необходимостями:

1. **В физике:**
   - пространство-время в ОТО — 4-мерное псевдориманово многообразие;
   - фазовое пространство Гамильтоновой механики — симплектическое многообразие;
   - калибровочные теории определяются на главных расслоениях.
2. **В теории информации:**
   - пространство вероятностных распределений образует риманово многообразие Фишера–Рао;
   - дивергенции задают геометрию кривизны статистических моделей.
3. **В вычислительных системах:**
   - состояния распределённых архитектур можно формализовать как точки в многообразии конфигураций;
   - графовые сети обладают собственными лапласовыми спектрами и топологией.
4. **В информатике и машинном обучении:**
   - параметрические модели (нейросети) образуют многообразие параметров;
   - дифференциальная геометрия используется в оптимизации и анализе динамики градиентных потоков.

Таким образом, многообразие является естественным кандидатом на математический носитель Эфира.

3.1.3. Разнообразие многообразий: физические, информационные и вычислительные

Приведём ключевые примеры:

1. **Сфера** S^2 — модель небесной сферы, фундамент в механике вращения.
2. **Пространство-время Минковского** $\mathbb{R}^{1,3}$ — плоское многообразие СТО.
3. **Псевдориманово многообразие ОТО** — динамическая геометрия, определяемая уравнениями Эйнштейна.
4. **Многообразие вероятностных распределений** $P(X)$ — носитель информационной геометрии.
5. **Слоистые многообразия сетей** — модель Интернета как многослойного топологического объекта.
6. **Многообразия квантовых состояний** — комплексные проектирующие пространства.

Эти примеры показывают универсальность многообразий как основы Эфира.

3.2. Поля как отображения на многообразиях

3.2.1. Общее определение

Пусть M — гладкое многообразие, а S — структурированное пространство значений. Тогда **поле** — это отображение:

$$\varphi : M \to S.$$

В зависимости от природы S выделяют:

- **скалярные поля** $\varphi : M \to \mathbb{R}$,
- **векторные поля** $V : M \to TM$,
- **тензорные поля** $T : M \to T^{(k,l)}M$,
- **спинорные поля** (структуры на спин-расслоении),
- **калибровочные поля** (формы на главных расслоениях),
- **информационные поля** $I(x) = \{p(a|x)\}$,
- **вычислительные поля** $A(x,t)$.

Каждый тип поля становится частью единой структуры Эфира, если рассматривается на общем многообразии.

3.2.2. Поля в классической и квантовой физике: строгий взгляд

В классической физике поле $\phi(x)$ — числовая величина, определённая в каждой точке.

В квантовой теории поля (QFT) поле становится оператором:

$$\hat{\phi}(x) : \mathcal{H} \to \mathcal{H},$$

где $\mathcal{H}$ — гильбертово пространство состояний.

Основная идея, объединяющая классическую и квантовую картину:
состояние каждой точки многообразия задаётся набором величин, а динамика поля — откликом этих величин на вариации действия.
Это ключевой аргумент в пользу универсальной эфирной структуры.

3.3. Дифференциальные формы и оператор Ходжа

3.3.1. Формы и внешнее дифференцирование

Дифференциальные формы — фундаментальные объекты:

- 0-форма — скалярное поле;
- 1-форма $A = A_\mu dx^\mu$;
- 2-форма $F = dA$, определяющая электромагнитное поле.

Внешнее дифференцирование:

$$F = dA = (\partial_\mu A_\nu - \partial_\nu A_\mu) dx^\mu \wedge dx^\nu$$

естественным образом возникает в калибровочных теориях.

3.3.2. Оператор Ходжа и лагранжианы полей

На римановом многообразии существует оператор Ходжа:

$$* : \Lambda^k(M) \to \Lambda^{n-k}(M),$$

который позволяет формулировать действия:

$$S[A] = \int_M (F \wedge *F + J \wedge A).$$

Эта конструкция универсальна и применима:

- в электродинамике,
- в теории Янг–Миллса,
- в топологических теориях (BF-теории),
- в моделях информационных потоков.

3.4. Метрика как фундаментальное поле

3.4.1. Метрика в физике

Метрическое поле:

$$ds^2 = g_{\mu\nu} dx^\mu dx^\nu$$

определяет геометрию пространства-времени.

В ОТО уравнения:

$$G_{\mu\nu} = 8\pi G T_{\mu\nu}$$

делают метрику **динамическим полем**, взаимодействующим с материей.

3.4.2. Метрика информационного пространства

В теории информации расстояния задаются дивергенциями:

- дивергенция Кульбака–Лейблера;
- расстояние Вассерштейна;

- риманова метрика Фишера–Рао:

$$ds^2 = \sum_i \frac{1}{p_i}(dp_i)^2.$$

Таким образом, информационный Эфир имеет собственную геометрию, подобную физической.

3.5. Топологические структуры и дефекты полей

3.5.1. Гомотопические группы и устойчивые конфигурации

Если пространство состояний S имеет нетривиальные группы $\pi_n(S)$, то в полях возникают дефекты:

- вихри — $\pi_1 \neq 0$,
- доменные стены — $\pi_0 \neq 0$,
- монополи — $\pi_2 \neq 0$.

Эти структуры устойчивы и наблюдаются:

- в космологии,
- в сверхтекучести,
- в квантовых полях,
- в топологическом квантовом вычислении.

3.5.2. Топология информационных и сетевых полей

В цифровых системах аналогичные дефекты проявляются как:

- устойчивые трафиковые аттракторы,
- самоподдерживающиеся циклы маршрутизации,
- топологически стабильные режимы нагрузки,
- солитонные конфигурации данных.

Физические и информационные поля демонстрируют общие топологические принципы.

3.6. Поля в вычислительных и технологических системах

3.6.1. Поля на графах

Пусть $G = (V, E)$. Тогда поле:

$$\phi : V \to S$$

может описывать:

- нагрузку узлов,
- состояние каналов,
- локальные программы (алгоритмы),
- частоту ошибок,
- распределение вычислительных ресурсов.

3.6.2. Динамика на графах

Эволюция графового поля:

$$\frac{d\phi}{dt} = -L\phi + f(\phi),$$

где L — лапласиан графа.

Это дискретный аналог:

$$\frac{\partial \phi}{\partial t} = \Delta \phi + f(\phi).$$

Глубокий результат: **сетевой Эфир математически эквивалентен физическому в модели реакций-диффузии**.

3.7. Пространство состояний как многообразие

Каждая система описывается точкой в многообразии состояний:

- механическая система: $S = \mathbb{R}^{2n}$;
- квантовая система: $S = \mathbb{CP}^n$;
- нейросеть: $S = \mathbb{R}^N$;
- распределённая вычислительная система: декартово произведение локальных пространств.

3.7.1. Эфир как отображение

Эфир задаётся тройкой:

$$(M, S, \varphi : M \to S).$$

То есть реальность описывается конфигурацией полей на многообразиях.

3.8. Унификация физических, информационных и вычислительных полей

3.8.1. Общая структура

Все поля характеризуются:

1. локальностью,
2. гладкостью,
3. наличием энергии или меры сложности,
4. динамикой,
5. топологическими дефектами,
6. метрической структурой.

3.8.2. Энергия vs. энтропия

Энергия поля $E(x)$ аналогична энтропии информации $H(x)$:

- обе величины управляют эволюцией системы,
- обе порождают градиенты и потоки,
- обе создают волны — физические или информационные.

Это фундаментальный аргумент в пользу единого Эфира.

3.9. Заключение

Многообразия и поля формируют математический каркас, позволяющий описывать сложные системы независимо от их природы. В рамках данной монографии Эфир трактуется как совокупность полей, определённых на многообразиях физической, информационной и вычислительной природы.

В следующих главах будет показано, как эти поля взаимодействуют, порождая эмерджентные структуры, механизмы самоорганизации, вычислительные процессы и живые системы внутри единой эфирной среды.

Глава 4. Информационный Эфир как поле на многообразии вероятностных состояний

4.1. Элементарная информационная переменная (ЭИП) как атом динамики Информационного Эфира

4.1.1. Формальное определение ЭИП как минимального носителя состояния

Пусть (Ω,F,P) — вероятностное пространство, моделирующее фундаментальное состояние Информационного Эфира.

Определение 4.1.1. (Элементарная информационная переменная)

Элементарная информационная переменная (ЭИП) — это отображение

$$v : \Omega \to \mathcal{S},$$

где S — множество базовых информационных состояний, наделённое структурой измеримого пространства (S,B(S)).

ЭИП является **атомом информационной динамики**:

ни один элемент s ∈ S нельзя разложить на «более элементарные» частичные состояния, сохраняющие измеримость и вероятность.

4.1.2. ЭИП как точка на статистическом многообразии

Пусть $\mathcal{P}(\mathcal{S})$ — пространство всех вероятностных мер на $\mathcal{S}$.

Каждую ЭИП можно интерпретировать как:

- точку на **информационном многообразии** $\mathcal{M} \subset \mathcal{P}(\mathcal{S})$;
- элемент дифференциально-геометрической структуры $(\mathcal{M}, g, \nabla^{(e)}, \nabla^{(m)})$, где
  - g — метрика Фишера,
  - $\nabla^{(e)}$ — экспоненциальная связность,
  - $\nabla^{(m)}$ — смешанная сопряженная связность.

Таким образом, каждая ЭИП является **геометрическим объектом**, положение которого в многообразии определяет не просто числовое значение, а **конфигурацию информационных отношений**.

4.1.3. ЭИП как квант информации

Информационный Эфир допускает квантово-полевую трактовку.

Определим гильбертово пространство H\mathcal{H} H состояний ЭИП.

Определение 4.1.2. (ЭИП как квантовый вектор)

$$|\psi_v\rangle \in \mathcal{H}$$

— вектор состояния ЭИП.

ЭИП может обладать:

- суперпозицией информационных значений:

$$|\psi_v\rangle = \sum_i c_i |s_i\rangle,$$

- операторной динамикой:

$$|\psi_v(t)\rangle = U(t)|\psi_v(0)\rangle,$$

Это позволяет рассматривать Информационный Эфир как **квантово-информационное поле**, где ЭИП играют роль возбуждений поля.

4.2. Действующие на ЭИП трансформации: динамика и операторы

4.2.1. Общая структура операторов

Каждой ЭИП сопоставляется множество операторов

$$\mathcal{A} = \mathrm{End}(\mathcal{S}), \qquad \mathcal{A}_{\mathcal{H}} = \mathrm{End}(\mathcal{H}),$$

действующих:

- либо на классическое пространство состояний S,
- либо на квантовое пространство H.

Определение 4.2.1.

Оператор действия ТТТ на ЭИП — отображение:

$$T : \mathcal{S} \to \mathcal{S},$$

или в квантовой форме:

$$\hat{T} : \mathcal{H} \to \mathcal{H}.$$

Операторы классифицируются:

- **детерминированные** (диффеоморфизмы на S);
- **стохастические** (матричные операторы Маркова);
- **унитарные** (в квантовой трактовке);
- **дифференциальные** (генераторы динамики).

4.2.2. Генераторы непрерывной эволюции ЭИП

Если операторная динамика непрерывна во времени, то существует оператор L, такой что:

$$T_t = \exp(tL).$$

Примеры:

1. **Стохастический генератор (оператор Колмогорова–Фоккера–Планка)**

$$(Lf)(x) = a(x)f'(x) + \frac{1}{2}b(x)f''(x).$$

2. **Гамильтонов генератор в квантовой модели**

$$\hat{L} = -\frac{i}{\hbar}\hat{H}.$$

3. **Информационный потоковый оператор**
   Используется в геометрическом информационном анализе:

Используется в геометрическом информационном анализе:

$$L = \nabla \cdot (D\nabla) - \nabla\Phi \cdot \nabla,$$

где D — информационно-диффузионный тензор,

Φ — информационный потенциал.

4.2.3. Информационные связи как геометрические отображения

Различные типы операторов индуцируют геометрическую структуру:

- **афинные преобразования** — сохраняют связности $\nabla^{(e)}$, $\nabla^{(m)}$;
- **метрические преобразования** — сохраняют метрику g;
- **симплектические преобразования** — в гамильтоновой трактовке;
- **конформные преобразования** — меняют масштабы информационных расстояний.

Это позволяет рассматривать Информационный Эфир как **многообразие с множеством совместимых структур**, аналогичное структурами в квантовой теории поля и термодинамической геометрии.

4.3. Пространство состояний ЭИП: топология, геометрия, вероятностные структуры

4.3.1. Пространство S как информационное многообразие

Предположим, что множество состояний $\mathcal{S}$ обладает:

- структурой гладкого многообразия C^∞;
- метрической структурой g (метрика Фишера или риманова метрика);
- связностью ∇;
- мерой μ.

Тогда $(\mathcal{S}, g, \mu)$ является **информационно-геометрическим многообразием**, где расстояние между состояниями определяется:

$$d(s_1, s_2) = \arccos \sum_i \sqrt{p_i^{(1)} p_i^{(2)}}$$

(информационным расстоянием Фубини–Студи или расстоянием Хеллингера).

4.3.2. Тензорные структуры

Для ЭИП можно определить:

- **метрический тензор**

$$g_{ij}(\theta) = \mathbb{E}\left[\frac{\partial \ln p}{\partial \theta_i} \frac{\partial \ln p}{\partial \theta_j}\right]$$

- **кривизну информационного многообразия** (скалярную, риччиевую, сеченую);
- **двойственные связности**

$$\nabla^{(e)} \neq \nabla^{(m)}, \quad g(\nabla_X^{(e)} Y, Z) = g(Y, \nabla_X^{(m)} Z).$$

Кривизна многообразия интерпретируется как **степень сложности информационных взаимодействий**.

4.3.3. Алгоритмическая и вычислительная структура состояний

Каждому состоянию $s \in \mathcal{S}$ сопоставляется:

- **алгоритмическая сложность** $K(s)$ (в смысле Колмогорова),
- **информационная ёмкость** $C(s)$,
- **энтропия состояния:**

$$H(s) = -\sum_i p_i(s) \ln p_i(s),$$

- **информационное действие** (аналог гамильтонова действия):

$$S[s(t)] = \int L(s, \dot{s}, t)\, dt.$$

Таким образом, состояние ЭИП — не просто точка, а **структурно нагруженный объект**, содержащий:

- геометрию,
- вероятность,
- алгоритмическую сложность,
- динамику.

4.4. Множества ЭИП и сложные системы: построение многомерных информационных пространств

4.4.1. Сборка ЭИП в комплексные структуры

Пусть имеется набор ЭИП:

$$V = \{v_1, v_2, \ldots, v_n\}.$$

Определим **конфигурационное пространство**:

$$\mathcal{C} = \mathcal{S}^n.$$

Каждая точка $(s_1, \ldots, s_n) \in \mathcal{C}$ представляет **конфигурацию поля ЭИП**.

Это можно трактовать как:

1. **дискретное информационное поле**, если n фиксировано;
2. **непрерывное информационное поле**, если V параметризовано $x \in M$ и

$$v(x) : M \to \mathcal{S}.$$

4.4.2. Поле ЭИП как сечение расслоения

Определим расслоение:

$$\pi : E = M \times \mathcal{S} \to M.$$

Тогда поле ЭИП — это **гладкое сечение**:

$$\phi : M \to E.$$

Если добавить динамику, то $\phi(x, t)$ удовлетворяет:

$$\frac{\partial \phi}{\partial t} = L(\phi) + \eta,$$

где L — линейный или нелинейный оператор,

η — стохастический шум информационной природы.

4.4.3. Информационно-полевые лагранжианы

Определим лагранжиан поля ЭИП:

$$\mathcal{L}(\phi, \partial\phi) = \frac{1}{2} g^{\mu\nu} \partial_\mu \phi \partial_\nu \phi - U(\phi),$$

где $U(\phi)$ — **информационный потенциал**, определяющий притяжение/отталкивание информационных конфигураций.

Минимизация действия:

$$S[\phi] = \int \mathcal{L} d^4 x$$

определяет уравнения Эйлера–Лагранжа:

$$\Box_g \phi + U'(\phi) = 0.$$

Это *поле информации*, аналогичное:

- скалярным полям в QFT,
- полям вероятностей в стохастических PDE,
- полям энтропии в термодинамической геометрии.

4.4.4. Кластеризация, самоорганизация и корреляции ЭИП

Для множества ЭИП определим **корреляционную структуру**:

$$C_{ij} = \mathbb{E}\left[(v_i - \mathbb{E}v_i)(v_j - \mathbb{E}v_j)\right].$$

Существует **информационное взаимодействие**, если

$$C_{ij} \neq 0.$$

Группы ЭИП образуют **кластеры**, если выполняются:

- сильные внутрикластерные корреляции,
- слабые межкластерные.

Кластеры являются:

- прототипами субсистем,
- «нейронами» в информационной архитектуре,
- элементами самоорганизующихся структур в Эфире.

4.5. Информация как энергия, потенциал и инвариантная величина

В информационной термодинамике информация трактуется как ресурс, эквивалентный отрицательной энтропии (негэнтропии), обладающий способностью выполнять вычислительную или физическую работу. В рамках Информационного Эфира это означает, что информационные распределения p(x,t)p(x,t)p(x,t) обладают собственной «энергетикой» и могут быть описаны через потенциалы, токи и законы сохранения.

4.5.1. Информационный потенциал как функционал состояния

Определение 4.5.1 (информационный потенциал).

Пусть $p(x,t) \in \Delta_k$ — информационное поле распределений.

Информационный потенциал определяется как функционал:

$$\Phi_I[p] = -\int_M H(x,t)\,\mathrm{d}\mu(x),$$

где $H(x,t)$ — энтропия Шеннона, а μ — мера на многообразии M.

Поскольку энтропия локально максимальна при равномерном распределении, то потенциал Φ_I минимален в случайных состояниях и максимален в упорядоченных — что согласуется с вариационными принципами самоорганизации.

Вариационные свойства.

$$\frac{\delta \Phi_I}{\delta p_i(x)} = 1 + \log p_i(x),$$

что является фундаментальным выражением в информационной геометрии; оно же встречается в выводе уравнений естественного градиента (Amari).

4.5.2. Информационное давление и дифференциальная структура

Пусть V — объём информационного пространства, понимаемый как мера области в M, несущей ненулевую информацию.

Определение 4.5.2.

Информационное давление задаётся вариацией потенциала по объёму:

$$P_I = -\frac{\partial \Phi_I}{\partial V}.$$

Если информация локализована (например, при сжатии данных), то уменьшение эффективного объёма пространства приводит к росту давления.

Аналогия с термодинамикой
Соответствие информационных и термодинамических величин:

Термическая система	Информационная система
Свободная энергия F	Информационная энергия E_I
Энтропия S	Энтропия Шеннона H
Температура T	Информационная температура T_I
Давление P	Информационное давление P_I

4.5.3. Информационная энергия и функционал состояния
Определение 4.5.3.

Информационная энергия определяется как:

$$E_I[p] = \int_M \sum_{i=1}^{k} p_i(x,t)\, \log p_i(x,t)\, \mathrm{d}\mu(x).$$

Замечание: $E_I = -H$ локально, но глобально (на многообразии) это — собственный функционал, аналог свободной энергии в статистической физике.

Градиент информационной энергии

$$\nabla E_I = (\log p_i + 1)\, dp_i.$$

Этот градиент определяет направление «естественного движения» системы в статистическом многообразии.

4.6. Информационный Эфир в биологических и нейронных системах
Информационный Эфир в биологии проявляется в виде распределений, кодирующих наследственные, физиологические и когнитивные состояния. Эти распределения подчиняются геометрическим законам, аналогичным законам физики.

4.6.1. Генетическая информация как многоуровневое поле
Генетический код задаёт дискретное распределение на алфавите $\{A, C, G, T\}$.

Энтропия генетической последовательности

$$H_{\mathrm{DNA}} = -\sum_n \sum_{b\in\{A,C,G,T\}} p(b|n) \log p(b|n),$$

где n — позиция в геноме.

Структурные выводы

1. В участках генома с высокой функциональной важностью наблюдается уменьшение энтропии.
2. Информационное расстояние между видами эквивалентно геодезическому расстоянию в пространстве распределений.
3. Эволюция генома может быть описана стохастическим потоком в Δ_4.

4.6.2. Нейронные поля как динамика информационных волн

Пусть $V(x,t)$ — мембранный потенциал нейрона.

Информационное поле активности — распределение вероятностей запуска спайка:

$$p(\text{spike}|x,t) = \sigma(V(x,t)),$$

где σ — логистическая функция.

Информационные волны

В нейронной ткани возникают волны активности, описываемые уравнением:

$$\frac{\partial V}{\partial t} = D\Delta V - \alpha V + I(x,t),$$

что является аналогом волновых уравнений в физическом Эфире.

Информационная интерпретация

Функциональные области мозга соответствуют аттракторам поля $p(\text{спайк}|x,t)$ в многомерном распределительном пространстве.

4.7. Информационный Эфир в вычислительных системах

4.7.1. Распределённые вычисления как поле на графе

Граф $G = (V, E)$ задаёт технологический Эфир; на нём определено информационное поле:

$$I : V \to \Delta_k.$$

Динамика описывается:

$$\frac{dI(v,t)}{dt} = -L_G I(v,t) + F(I),$$

где L_G — лапласиан графа.

Это точный аналог эволюции физических полей на многообразиях.

4.7.2. Машины Тьюринга как одномерное информационное поле

Пусть $\phi(i,t)$ — символ на позиции i ленты.

Переход Тьюринга — локальный оператор:

$$\phi(i,t+1) = T(\phi(i-1,t), \phi(i,t), \phi(i+1,t)).$$

Такое обновление является дискретным аналогом нелинейных PDE:

$$\phi_t = F(\phi, \phi_x, \phi_{xx}).$$

Следовательно, машина Тьюринга — частный случай информационного поля, подчинённого локальным правилам.

4.7.3. Потоки данных как гидродинамика информации

Пусть $\rho(x,t)$ — плотность данных, $v(x,t)$ — скорость трафика.

Тогда выполняется:

$$\frac{\partial \rho}{\partial t} + \nabla \cdot (\rho v) = 0.$$

Это уравнение непрерывности — прямой аналог уравнений жидкости.

4.8. Эмерджентность и структурообразование в информационном Эфире

Информационные поля, как и физические, способны образовывать устойчивые структуры.

4.8.1. Кластеры, паттерны и аттракторы

Определение (аттрактор информационного потока).
Пусть динамика задана оператором T на пространстве распределений.
Аттрактор A — множество, такое что:

$$\lim_{t\to\infty} T^t(p_0) \in A.$$

Кластеры данных, устойчивые темы, стили, паттерны активации — примеры аттракторов.

4.8.2. Волновые фронты и фазовые переходы

Информационное поле может испытывать переходы второго рода.
Например, при достижении критической плотности взаимодействий возникает синхронизация:

$$p(x,t) \to p_\infty(x) = \text{const}.$$

Это аналог перехода Курамото в теории синхронизации.

4.8.3. Топологические дефекты информационных полей

Если пространство сигналов обладает нетривиальной топологией (например, циклы маршрутизации), то возможны дефекты, аналогичные монополям и вихрям:

- устойчивые петли трафика,
- циклы обратной связи,
- многозначные маршруты.

Их стабильность определяется группами гомотопии конфигурационного пространства.

4.9. Интеграция информационного, физического и технологического Эфиров

Информационный Эфир не существует отдельно — он встроен в общую многоуровневую структуру Эфира.

4.9.1. Физическая основа: энергия и носители

Информация требует:

1. **энергетического носителя** (фотоны, электроны, нейроны),
2. **физической геометрии** (поле метрики, топология среды),
3. **физических ограничений** (скорость света, тепловой шум).

Уравнение Ландауэра связывает уничтожение бита с энергией:

$$\Delta E \geq kT \ln 2.$$

Следовательно, Информационный Эфир неразрывно связан с физическим.

4.9.2. Технологический Эфир как дискретное многообразие

Технологические сети (Интернет, нейросети, распределённые вычисления) реализуют информационные динамики на дискретных многообразиях — графах.
Лапласиан графа играет роль дискретного оператора Лапласа–Белтрами.

4.9.3. Унификация через вариационные принципы

Все слои Эфира подчиняются действию вида:

$$S = \int \mathcal{L}(\phi, \nabla\phi, t)\, \mathrm{d}\mu,$$

где ϕ — общее поле: физическое, информационное или вычислительное.

Это позволяет рассматривать Эфир как **единое поле полей** на многообразиях различной природы.

4.10. Заключение

Информационный Эфир — математически строгая структура, представляющая собой поле распределений вероятностей, энтропий, потенциалов и потоков, определённое на гладких или дискретных многообразиях. Он обладает:

- собственной римановой геометрией (метрика Фишера–Рао),
- собственной динамикой (уравнения переноса, волны, стохастические потоки),
- возможностью формировать устойчивые структуры (аттракторы, паттерны, топологические дефекты),
- глубокими связями с физическими и вычислительными полями.

Таким образом, Информационный Эфир является фундаментальным слоем многомерной архитектуры Эфира, интегрирующим смысл, структуру, неопределённость и вычислительные процессы в единую математическую реальность.

Глава 5. Технологический Эфир: сети, протоколы, виртуальные среды

Технологический Эфир представляет собой слой Эфира, формируемый искусственно созданными человеком системами передачи данных, вычислений и коммуникаций. Он объединяет сетевые топологии, протокольные взаимодействия, распределённые вычислительные процессы и виртуальные пространства, соединяя физические устройства, информационные поля и алгоритмические структуры в единую динамическую среду.
Если физический Эфир формируется природными полями, а информационный — вероятностными структурами и энтропийными распределениями, то технологический Эфир возникает как надстройка, обеспечивающая:

- передачу и обработку информации,
- координацию вычислительных процессов,
- управление виртуальными пространствами в глобальных цифровых архитектурах.

Он объединяет:

- сети связи,
- телекоммуникационные протоколы,
- распределённые вычисления,
- облачные платформы,

- виртуальные среды взаимодействия,
- инфраструктуру Интернета вещей (IoT).

Технологический Эфир является связующим элементом между физическим и информационным слоями, обеспечивая материальные каналы передачи данных и энергетическую основу функционирования информационных процессов.

5.1. Сети как топологические многообразия

5.1.1. Графовая структура технологического Эфира

Телекоммуникационная сеть описывается ориентированным или неориентированным графом:

$$G=(V,E),$$

где:

- V — множество узлов (серверов, маршрутизаторов, устройств IoT),
- E — множество каналов связи (физических или виртуальных).

Каждой вершине и ребру сопоставляется набор параметров, так что сеть формирует **поле состояния**:

$$\phi : V \to S,$$

где S — пространство состояний (нагрузка, задержка, пропускная способность, вероятность ошибки).

5.1.2. Лапласиан графа и динамика узлов

Динамика узлов описывается уравнением:

$$\frac{d\phi}{dt} = -L\phi + F(\phi),$$

где L — лапласиан графа, а F — локальные обновления состояния узлов.
Это уравнение аналогично диффузионным процессам в физике: трафик перераспределяется так, чтобы уменьшать градиенты нагрузки.

5.1.3. Многообразные структуры сети

Сеть может быть интерпретирована как топологическое многообразие со следующими свойствами:

- координатная система — адресное пространство;
- метрика — задержка передачи;
- кривизна — влияние узлов высокой степени на глобальную топологию;
- сингулярности — узкие места и перегрузки.

Таким образом, технологический Эфир является **топологически сложным и динамическим многообразием**.

5.2. Протоколы как физика технологического Эфира

5.2.1. Протоколы как операторы эволюции

Протокол задаёт оператор динамики сети:

$$U : \phi(t) \mapsto \phi(t + \Delta t),$$

например:

- TCP регулирует окно передачи через отрицательную обратную связь,

- BGP реализует устойчивую маршрутизацию,
- ARP обеспечивает сопоставление адресов.

Протоколы аналогичны законам физики, регулирующим движение материи в пространстве Эфира.

5.2.2. Локальность протоколов и PDE-аналогии

Большинство протоколов локальны, принимая решения на основе информации соседних узлов:

$$\frac{\partial \phi}{\partial t} = F(\phi, \nabla \phi),$$

где F зависит только от локальной окрестности. Это формализует аналогию с частными дифференциальными уравнениями в физике.

5.2.3. Протокольные «вихри» и циклы маршрутизации

Из-за особенностей обновления таблиц маршрутизации возможны **топологические дефекты**, аналогичные солитонам:

- зацикливание маршрутов,
- появление петлевых контуров,
- колебательные состояния сети.

Эти эффекты имеют строгую аналогию с нелинейными волнами и вихрями в физических полях.

5.3. Распределённые вычисления как динамика на Эфире

5.3.1. Вычислительные поля

Если множество узлов V выполняет вычислительные задачи, состояние сети можно описать как поле:

$$C : V \times t \to S_C,$$

где S_C — пространство состояния вычислительных процессов, памяти и нагрузки. Это — **вычислительное поле**.

5.3.2. Модели согласованности

Различные уровни согласованности данных:

- строгая (linearizability),
- последовательная (sequential),
- eventual consistency.

Каждый уровень определяет **собственную динамику поля C**.

5.3.3. Консенсус как фазовый переход

Алгоритмы консенсуса (Paxos, Raft, PBFT) проходят через:

- конкурирующие состояния,
- снижение энтропии,
- стабилизацию в едином аттракторе.

Это **аналог фазового перехода в физике**, где система выбирает устойчивую конфигурацию.

5.4. Облачные вычисления и виртуальные среды

5.4.1. Логические многообразия поверх физической инфраструктуры

Облачные среды создают **виртуальные многообразия**:

$$M_{\text{phys}} \mapsto M^1_{\text{virt}}, M^2_{\text{virt}}, \ldots$$

каждая виртуальная среда имеет собственную топологию и динамику.

5.4.2. Виртуальные машины и контейнеры как квазичастицы

Контейнеры и виртуальные машины аналогичны возбуждениям:

- возникают,
- мигрируют,
- взаимодействуют,
- исчезают.

Их динамика формализуется как движение квазичастиц в физике твёрдого тела.

5.4.3. Оркестрация как управление полями

Системы Kubernetes, Docker Swarm управляют:

- распределением нагрузки,
- миграцией процессов,
- балансировкой ресурсов.

Это **управление полями φ(x,t)** по заданным алгоритмическим законам.

5.5. Интернет вещей (IoT) как фрагмент технологического Эфира

5.5.1. Гетерогенность устройств

IoT включает:

- датчики,
- контроллеры,
- актуаторы,
- мобильные устройства.

Каждое устройство обладает физическим, информационным и технологическим состоянием.

5.5.2. Сложность топологии

IoT-сети динамичны:

- подключение/отключение узлов,
- смена положения и нагрузки,
- кластеризация.

Это формирует **нестационарное информационно-технологическое многообразие**.

5.5.3. Киберфизические процессы

Система описывается:

$$\frac{dx}{dt} = f(x,u), \quad \frac{du}{dt} = g(u,x),$$

где x — физические параметры, u — цифровое управление.
Это формализует **сшивание физического и информационного слоёв Эфира**.

5.6. Эмерджентные явления и самоорганизация

5.6.1. Самоорганизация

Технологические сети способны:

- формировать маршруты,
- стабилизировать нагрузки,
- создавать контуры управления.

Это аналогично формированию паттернов в нелинейной динамике.

5.6.2. Эмерджентные свойства

Примеры:

- устойчивость к отказам,
- формирование информационных «рек»,
- стабилизация маршрутов BGP,
- кластеризация облачных сервисов.

Эти явления возникают **без централизованного управления**.

5.6.3. Информационно-технологические солитоны

Некоторые пакеты и процессы ведут себя как **солитоны**:

- сохраняют структуру при движении,
- минимально взаимодействуют с узлами,
- устойчивы к дефектам сети.

Примеры: heartbeat-сигналы, сигнатуры в распределённых системах.

5.7. Безопасность как потенциальное поле

Угрозы и уязвимости формируют **информационно-технологический потенциал** $U(x)$:

$$\frac{\partial \phi}{\partial t} = -\nabla U.$$

Методы анализа:

- теория игр,
- стохастические модели,
- термодинамика информации.

5.8. Взаимодействие с другими слоями Эфира

Технологический Эфир:

- опирается на физический Эфир (носители и каналы),
- поддерживает информационный Эфир (данные и потоки),
- реализует вычислительный Эфир (алгоритмы и процессы).

Он является **связующим посредником всех уровней Эфира**.

5.9. Заключение

Технологический Эфир — это:

- многослойная, самоорганизующаяся распределённая среда,
- объединяющая физические каналы связи, информационные процессы и вычислительные алгоритмы,
- обладающая топологией, динамикой, эмерджентностью, устойчивостью и нелинейностью.

Он обеспечивает **связность всех других слоёв Эфира** и инфраструктуру для существования и эволюции алгоритмических, биологических и киберфизических систем.

Глава 6. Интегрированный Эфир: физический, информационный и технологический слои

Современная концепция Эфира рассматривает его как **многоуровневую, структурированную среду**, объединяющую физические поля, информационные распределения и технологические сети. Каждый слой выполняет уникальную функцию, но все они взаимосвязаны и подчиняются общим математическим принципам — полям на многообразиях, динамике потоков, топологическим ограничениям и эмерджентным процессам.

Эта глава формализует интеграцию всех трёх слоёв Эфира и показывает, как их взаимодействие создаёт единую среду, определяющую существование, передачу и преобразование информации, энергии и вычислительных процессов.

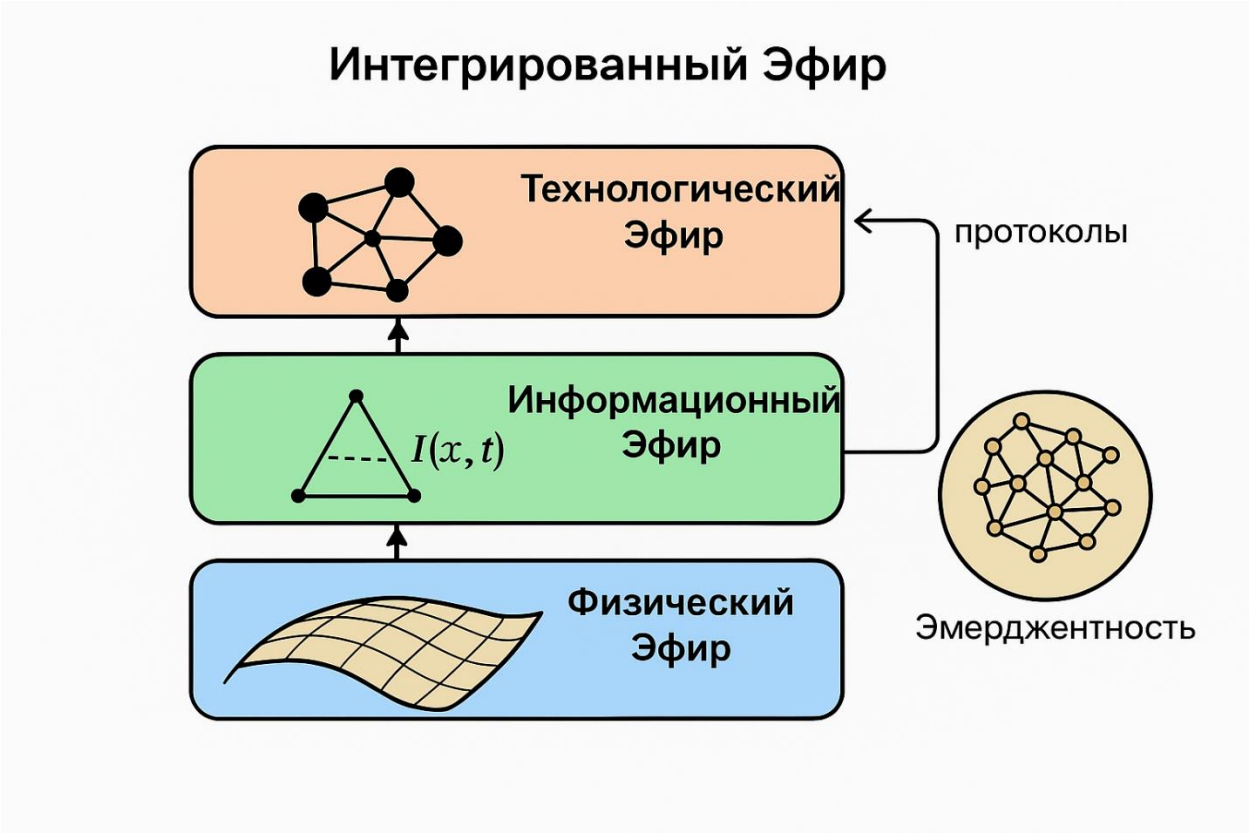

6.1. Структурная модель интегрированного Эфира

Пусть $\mathcal{E}$ — интегрированный Эфир. Он представлен как триада:

$$\mathcal{E} = (\mathcal{E}_{\text{phys}}, \mathcal{E}_{\text{info}}, \mathcal{E}_{\text{tech}}),$$

где:

- $\mathcal{E}_{\text{phys}}$ — физический Эфир (поля и метрика пространства-времени),
- $\mathcal{E}_{\text{info}}$ — информационный Эфир (распределения вероятностей, энтропия, потенциалы),
- $\mathcal{E}_{\text{tech}}$ — технологический Эфир (сети, протоколы, вычислительные поля).

Каждый слой можно трактовать как поле на многообразии M:

$$\phi_\alpha : M_\alpha \to S_\alpha, \quad \alpha \in \{\text{phys}, \text{info}, \text{tech}\},$$

где S_α — пространство значений поля: тензоры, вероятности, алгоритмические состояния.

6.2. Физический Эфир

Физический Эфир включает:

- **метрику пространства-времени** $g_{\mu\nu}(x)$, задающую геометрию $\mathcal{M}_{\text{phys}}$,
- **квантовые поля** $\hat{\phi}(x)$ с операторами на гильбертовом пространстве,
- динамику, определяемую уравнениями Эйнштейна и лагранжианами квантовых полей:

$$G_{\mu\nu} = 8\pi G T_{\mu\nu}, \quad \mathcal{L} = \frac{1}{2}\partial_\mu\phi\partial^\mu\phi - V(\phi).$$

Эфир здесь — **структурированная геометрическая и энергетическая среда**, формирующая движение материи и взаимодействие полей.

6.3. Информационный Эфир

Информационный Эфир представлен как поле распределённых вероятностей:

$$I : M_{\text{info}} \times t \to \Delta_k,$$

где Δ_k — симплекс вероятностных распределений. Его свойства:

- **энтропия Шеннона** $H(x,t) = -\sum_i p_i \log p_i$ как скалярное поле,
- **потоки информации** $J_H = -k\nabla H$ аналогично тепловым потокам,
- **метрика информационного пространства** (Фишера–Рао):

$$ds^2 = \sum_i \frac{(dp_i)^2}{p_i},$$

- динамика, подчинённая стохастическим и волновым уравнениям:

$$\frac{\partial p}{\partial t} + \nabla \cdot J = R, \quad \frac{\partial^2 \phi}{\partial t^2} = c_I^2 \Delta\phi.$$

Информационный Эфир интегрирован с физическим через **энергетические ограничения** (уравнение Ландауэра) и с технологическим через каналы передачи данных.

6.4. Технологический Эфир

Технологический Эфир формируется как надслой:

$$\phi_{\text{tech}} : V \times t \to S_C,$$

где V — множество узлов сети, S_C — пространство состояния вычислений и каналов связи. Основные компоненты:

- **графовые структуры сети** $G = (V, E)$ с динамикой:

$$\frac{d\phi}{dt} = -L\phi + F(\phi),$$

- **протоколы** как операторы эволюции $U : \phi(t) \mapsto \phi(t + \Delta t)$,
- **вычислительные поля** для распределённых процессов, виртуальных машин и контейнеров,
- **IoT и киберфизические системы** как интеграция физических и информационных слоёв:

$$\frac{dx}{dt} = f(x, u), \quad \frac{du}{dt} = g(u, x).$$

Эмерджентные явления включают:

- самоорганизацию маршрутов и нагрузки,
- формирование «информационных рек»,
- устойчивость к отказам и солитоноподобные процессы.

6.5. Математическая интеграция слоёв

Для интеграции трёх слоёв вводим **общее многообразие состояния**:

$$\mathcal{M} = M_{\text{phys}} \times M_{\text{info}} \times M_{\text{tech}}.$$

Состояние Эфира в точке $\mathbf{x} \in \mathcal{M}$ задаётся **вектором полей**:

$$\Phi(\mathbf{x}, t) = (\phi_{\text{phys}}, \phi_{\text{info}}, \phi_{\text{tech}}) \in S_{\text{phys}} \times S_{\text{info}} \times S_{\text{tech}}.$$

Динамика интегрированного Эфира описывается системой уравнений:

$$\frac{\partial \Phi}{\partial t} = \mathcal{F}(\Phi, \nabla\Phi, \Delta\Phi) + \Xi(t),$$

где $\mathcal{F}$ учитывает:

- физические взаимодействия (силовые поля, метрика),
- информационные потоки и энтропийные градиенты,
- технологические процессы и протокольные правила,

а $\Xi(t)$ — стохастические шумы и внешние воздействия.

6.6. Взаимодействие и эмерджентность

Интегрированный Эфир проявляет эмерджентные свойства:

- формирование устойчивых структур (кластеры, солитоны, аттракторы),
- синхронизация физических и информационных процессов,
- самоорганизация технологических сетей,
- распространение волн энергии, информации и алгоритмических состояний.

6.7. Заключение

Интегрированный Эфир — это **единое пространство**, в котором:

1. физические поля задают структуру и динамику материи;
2. информационные поля формируют распределения и энтропийные потоки;
3. технологический слой обеспечивает передачу, обработку и вычислительные операции.

Объединение слоёв через многообразия, поля и динамику создаёт **математически строгую, многослойную и эмерджентную среду**, в которой могут существовать, взаимодействовать и эволюционировать биологические, искусственные и киберфизические системы.

Глава 7. Эмерджентные структуры и самоорганизация в Эфире

Эмерджентность в сложных системах интерпретируется как проявление макроскопических форм и закономерностей, возникающих из локальных микроскопических взаимодействий и не редуцируемых к простой сумме элементарных динамик. В математической физике такая феноменология описывается через нелинейные уравнения поля, отображения на многообразиях и топологические инварианты; в информационной геометрии — через многообразия вероятностных распределений, метрику Фишера, связности и энтропийные потоки. Интерес к Эфиру (как к универсальной многослойной среде) обусловлен тем, что в нем пересекаются динамики различных физических, информационных и технологических слоев, образующие устойчивые конфигурации, распределенные структуры и глобальные паттерны.

В настоящей главе вводится формальный аппарат описания эмерджентности в Эфире: от многообразий конфигураций до моделей самоорганизации, от топологических дефектов до фазовых переходов в сетях. Такой подход не ограничивается физическими полями, а включает информационные и вычислительные поля как равноправные объекты общей геометрии.

7.1. Эмерджентность как свойство многослойных полевых систем

7.1.1. Локальные правила — глобальные последствия

Пусть Эфир представим, как совокупность полей на многообразии M размерности d, где каждый слой является сечением соответствующего векторного или расслоенного конфигурационного пространства:

• физический слой: $\varphi: M \to F$, где F — пространство значений поля (например, скалярное, спиновое или калибровочное);

• информационный слой: $p(x)$ — поле вероятностных распределений или плотностей;

• технологический слой: $a(x)$ — поле локальных протоколов или управляющих правил;

• вычислительный слой: $\psi(x)$ — ансамбль алгоритмических состояний.

Эмерджентность возникает, если существуют глобальные структуры $S \subset Conf(M)$, не выражаемые в виде линейной композиции локальных динамик, т.е.

$S \neq \oplus\{i\}\ S_i$ и $S \neq \cup\{i\}\ S_i$,

где S_i — локальные конфигурации.

Формально, если динамика системы задана полем векторного поля $X: Conf(M) \to TConf(M)$ и локальные уравнения вида

$dZ(x,t)/dt = F(Z(x,t), \nabla Z(x,t))$,

то эмерджентность означает, что для некоторого множества $\Phi \subset Conf(M)$ существуют макроскопические переменные $Y(t)$, такие что

$Y(t) \notin \sigma(Z(x,t))$,
где σ — σ-алгебра, генерируемая локальными микроскопическими степенями свободы. Это и есть нерегулярная редукция: крупномасштабные переменные не сводимы к элементарным.

7.1.2. Эфир как нелинейная среда

Принципиальный механизм возникновения эмерджентности — нелинейность. Пусть функционал энергии системы $E[\varphi]$ имеет в разложении минимум второго порядка, но присутствуют члены не ниже кубических:
$E[\varphi] = \int_M (1/2\ |\nabla\varphi|^2 + \alpha\varphi^2 + \beta\varphi^3 + \gamma\varphi^4 + \dots)\, d\mu$.
Если $\beta \neq 0$ или $\gamma \neq 0$, уравнение Эйлера–Лагранжа принимает вид
$-\Delta\varphi + 2\alpha\varphi + 3\beta\varphi^2 + 4\gamma\varphi^3 = 0$.
Наличие высших степеней (φ^3, φ^4) нарушает суперпозиционный принцип и позволяет образовываться локализованным структурам (солитонам), доменным стенам и устойчивым паттернам.
Аналогичные механизмы наблюдаются в информационных сетях: нелинейная маршрутизация $R(p)$, зависящая от загрузки каналов, формирует концентрации потоков; нелинейные функции активации $\sigma(z)$ в нейронных сетях создают слои представлений, не описуемые линейными фильтрами.

7.1.3. Самоорганизация как механизм упорядочения

Самоорганизация определима как появление инвариантных подпространств конфигураций:
$Conf(M) \to Conf^*(M)$,
где $Conf^*(M)$ — множество состояний, минимизирующих функционал энергии E или обобщенный функционал Ляпунова L.
Иначе говоря, система динамически перетекает в устойчивые структуры (аттракторы), не требующие внешнего управления. Условие математической устойчивости формируется как
$\partial L/\partial t \leq 0$ и $\lim_{t\to\infty} d(Conf(t), Conf^*) = 0$.

7.2. Математические модели самоорганизации

7.2.1. Уравнения реакция–диффузия

Рассмотрим классическую систему Тьюринга:
$\partial u/\partial t = D_u \Delta u + f(u,v)$,
$\partial v/\partial t = D_v \Delta v + g(u,v)$,
где u,v — концентрации взаимодействующих компонентов. Локальная реакция f,g нелинейна; диффузия Δ сглаживает градиенты.
Критерий возникновения паттернов:
пусть (u^*, v^*) — однородное равновесие, тогда при линейной стабилизации спектр возмущений k определяет знак собственных значений $\lambda(k)$. Если существует $k \neq 0$, такое что
$Re(\lambda(k)) > 0$,
то возникает пространственная неустойчивость и формируются полосы, пятна или сложные фигуры.
Аналогичные реакция–диффузия уравнения описывают распределения нагрузки в сетях и распространение мнений в социоинформационных полях.

7.2.2. Модель дискретного поля Исинга

Пусть $\varphi_i \in \{-1,+1\}$ — бинарная конфигурация на графе $G = (V,E)$. Гамильтониан:
$E = -\sum_{(i,j) \in E} J_{ij}\ \varphi_i \varphi_j - h \sum_i \varphi_i$.

Минимизация E ведет к доменной структуре: группы спинов предпочтительно выравниваются. В информационных сетях аналогична кластеризация пользователей и сообществ (community detection). Фазовый переход порядка — беспорядка возникает при критической инверсии температуры или параметра связи:
$\beta_c = 1/T_c$: $\partial\langle\varphi\rangle/\partial\beta \to \infty$.

7.2.3. Системы с обратными связями

Рассмотрим динамику на графе с положительной обратной связью:
$x_i(t+1) = F(\Sigma_j A_{ij} x_j(t))$.
Если F нелинейна и A имеет собственные значения $\lambda_k > 1$, возникает мультипликативный каскад, где малые возмущения растут лавинообразно. На критической границе $\lambda = 1$ система демонстрирует масштабную инвариантность и распределения мощности:
$P(s) \sim s^{-\tau}$,
что соответствует самоорганизованной критичности.

7.3. Эмерджентные структуры в физическом Эфире

7.3.1. Солитоны

В нелинейных уравнениях Шрёдингера, Гросса–Питаевского или Кортевега–де Фриза решения вида
$\varphi(x,t) = \Phi(x - vt)$
со стабилизированным профилем являются солитонами. Механизм:
дисперсия $\sim \partial^2_x \varphi$ тяготеет к расширению волны,
нелинейность $\sim |\varphi|^2\varphi$ стремится к сжатию.
Баланс порождает стационарную форму.
В физических средах такие структуры несут топологический заряд, устойчивый к возмущениям. В информационных сетях солитоноподобные волны — устойчивые запросные фронты и персистентные маршруты.

7.3.2. Топологические дефекты

Структуры возникают, если множество допустимых конфигураций G имеет нетривиальные группы гомотопий:
$\pi_k(G) \neq 0$.
Примеры:
• вихри в сверхпроводниках: $\pi_1(S^1)$;
• монополи в калибровочных полях: $\pi_2(S^2)$;
• доменные стены в дискретных симметриях: $\pi_0(G)$.
Топологический заряд $Q \in \mathbb{Z}$ стабилен: дефект нельзя уничтожить без разрыва структуры.

7.3.3. Вакуумные структуры

В квантовых полях вакуум не пуст: функциональный интеграл
$\langle O\rangle = \int D\varphi\, O[\varphi]\, e^{-S[\varphi]}$
выявляет корреляции. Вакуумные конденсаты (например, $\langle\varphi^2\rangle \neq 0$) создают нелокальные связи и определяют структуру Эфира на фундаментальном уровне.

7.4. Эмерджентность в информационном Эфире

7.4.1. Кластеризация вероятностных полей

Рассмотрим динамику плотности информации $p(x,t)$ на многообразии M:

$\partial p/\partial t = D\,\Delta p + \alpha(p - p^2)$.

Уравнение допускает стационарные решения вида $p(x) \in \{0,1\}$, формируя домены. В условиях ограниченной диффузии возникают метастабильные кластеры — информационные «острова».

7.4.2. Формирование смысловых аттракторов

В многообразиях вероятностных распределений P(M) метрика Фишера:

$g_{ij} = \int \partial_i \log p(x)\, \partial_j \log p(x)\, p(x)\, dx$

определяет геометрию смысловых расстояний. Обучение языковых моделей — это геодезический поток на P(M), приводящий к аттракторам смыслов, где расстояние между контекстами минимально.

7.4.3. Информационные волны

Если энтропийный потенциал H(x) неравномерен, возникает поток

$J_H = -k\,\nabla H$.

Этот градиент создает волны изменений контекста — аналог диффузии, но в информационном пространстве. Такие волны определяют распространение мемов, знания, новостей.

7.5. Эмерджентные процессы в технологическом Эфире

7.5.1. Трафиковые паттерны

Пусть сеть описана графом G с пропускными способностями c_{ij} и потоками f_{ij}.

Глобальный минимум латентности

$\min \sum_{ij} \tau(f_{ij} / c_{ij})$

при τ нелинейной приводит к появлению устойчивых маршрутов — канонических направлений трафика.

7.5.2. Балансировка нагрузки

При ECMP распределение происходит на основе хэш-функций:

$h(packet) \bmod k \to$ порт.

Нелинейная корреляция входных как влияет на формирование стоячих волн трафика. Пространства аттракторов проявляются в форме устойчивых зон нагрузки.

7.5.3. Каскады отказов

Модель коммунального «выгорания»:

$C_i(t+1) = \max(0,\ C_i(t) - \sum_j A_{ij}\, L_j(t))$,

где C — остаточная емкость, L — нагрузка. При сверхкритических связях возникают глобальные каскады, соответствующие перколяции на сети.

7.6. Эмерджентность в биологических системах

7.6.1. Нейронные ритмы

В непрерывных нейронных ансамблях потенциал V(x,t) obeys

$\partial V/\partial t = F(V) + D\,\Delta V + \int K(x,y)\, S(V(y))\, dy$.

Неустойчивости ядра K(x,y) приводят к когерентным осцилляциям — биоритмам. Частоты связаны со спектром оператора ∫K.

7.6.2. Морфогенез

Химические поля u,v и регуляция деления клеток реализуют реакцию–диффузию плюс нелинейную обратную связь. Классические структуры (полосы, пятна, спирали) формируются как решения с неустойчивостью Тьюринга.

7.6.3. Биофотонные поля

Пусть $n(x,t)$ — плотность клеток, $I(x,t)$ — биофотонная интенсивность. Динамика:
$\partial I/\partial t = D_I \Delta I + \beta\, n(x,t) - \mu I$.
Флуктуации I способны индуцировать межклеточную синхронизацию.

7.7. Эмерджентность в искусственных вычислительных системах

7.7.1. Синхронизация агентов

Модели Куромото:
$d\theta_i/dt = \omega_i + (K/N) \Sigma_j \sin(\theta_j - \theta_i)$.
При $K>K_c$ возникает фазовая когерентность, характеризуемая параметром порядка:
$R e^{i\psi} = (1/N) \Sigma_j e^{i\theta_j}$.

7.7.2. Обучение нейронных сетей

Градиентный поток на параметрическом многообразии W:
$dW/dt = -\nabla_W L(W)$,
где L — функционал ошибки. Эмерджентность проявляется как формирование многоуровневых представлений и инвариантных слоев, являющихся аттракторами в конфигурационном пространстве.

7.7.3. Эволюционные алгоритмы

Пусть популяция A эволюционирует:
$P_{t+1} = M(S(P_t))$,
где S — отбор, M — мутация. При наличии кооперативных механизмов появляются экосистемные структуры, аналогичные биологическим нишам.

7.8. Роль топологии в эмерджентности

7.8.1. Глобальная структура многообразия

Тип поверхности влияет на спектр допустимых решений. Например, для тора T^2 разрешенные моды k дискретны и определяют форму волн; для сферы S^2 гармоники задаются многочленами Лежандра.

7.8.2. Топологическая защита

Наблюдается в квантовых системах (топологические изоляторы), спиновых цепях и квантовых вычислениях (топологические кубиты). Поле устойчиво при возмущениях, пока сохраняется топология расслоения.

7.8.3. Гомологические методы

Дискретные данные (например, графы или облака точек) анализируются методом persistent homology: выявляются устойчивые циклы, которые не исчезают при изменении масштаба ε. Такие циклы являются эмерджентными паттернами структуры данных.

7.9. Объединенная модель эмерджентности в Эфире

Эфир может быть представлен как многослойная система:
$E = (M, \Phi, P, A)$,

где M — базовое многообразие, Φ — физические поля, P — информационные распределения, A — алгоритмические протоколы. Эмерджентность возникает, если выполняются три условия:

1. Локальность взаимодействий: динамика задается дифференциально или через локальные правила.
2. Нелинейность: существование высших степеней, нелинейных функций, насыщений, асимметричных функций стоимости.
3. Обратные связи: саморегуляция через ретеративные потоки ресурсов, информации или энергии.

Тогда формируется множество аттракторов A*, обладающее устойчивыми многоуровневыми структурами. Геометрически это проявляется как возникновение подмногообразий низкой энергии или минимальной энтропии.

7.10. Заключение

Эмерджентность — не побочный эффект, а фундаментальное свойство Эфира. В физике она проявляется через топологические дефекты и солитоны; в информации — через смысловые аттракторы и волны энтропии; в технологиях — через самоорганизующиеся маршруты и каскады отказов; в биологии — через морфогенез и нейронные ритмы. Системная нелинейность, топология, стохастика и обратные связи делают Эфир механизмом создания новых уровней порядка, структуры и функциональности.

Глава 8. Живые системы в Эфире: биофизический аспект

Живые системы являются многоуровневыми полевыми образованиями. Каждый организм взаимодействует с физическими, химическими, информационными и вычислительными слоями Эфира. Он влияет на эти слои через поля, которые генерирует: электромагнитные, биофотонные, биохимические, нейронные, а также топологические.

8.1. Живой организм как поле состояний

8.1.1. Представление в виде полевого поля

Организм можно рассматривать как функцию распределения состояний:
$\varphi_bio(x, t) \rightarrow$ множество биологических параметров:

- концентрации веществ;
- электрические потенциалы;
- гормональные уровни;
- эпигенетические модификации;
- информационные состояния нейронных цепей;
- состояние генома.

Динамика φ_bio подчиняется общему уравнению поля:
$d\varphi_bio/dt = F(\varphi_bio, \text{spatial gradients}, \text{diffusion}, \text{внешние поля})$.
Это означает, что эволюция организма описывается не только локальными значениями, но и пространственными взаимодействиями: обмен сигналами между клетками, мембранной проводимостью, межклеточной химической диффузией.

8.2. Электромагнитные поля и электрохимия

8.2.1. Мембранный потенциал и потенциал действия

Мембрана нейрона — нелинейный осциллятор. Её динамика описывается моделью Ходжкина–Хакслея:

$C\, dV/dt = -g_K n^4 (V - E_K) - g_{Na} m^3 h (V - E_{Na}) - g_L (V - E_L) + I_{ext}$.

Эта система генерирует:

- солитоны (потенциал действия);
- волны возбуждения;
- устойчивые ритмы (например, дыхательные центры).

Мембранные осцилляторы являются естественными вычислительными процессами: они преобразуют входные сигналы в дискретные события — пики.

8.2.2. Электромагнитное взаимодействие клеток

Факты наблюдений:

1. Клетки испускают слабые электромагнитные поля (радиодиапазон, оптическая зона).
2. Эти поля участвуют в координации роста тканей и регенерации.
3. Внешние поля способны изменять поведение клеток (клеточная миграция, скорость роста, нейрогенез).

Следовательно, биологический слой включён в единый электромагнитный слой Эфира.

8.3. Биофотонные поля и квантовые эффекты

8.3.1. Биофотонная эмиссия

Клетки растений и животных излучают ультраслабый когерентный свет:

$I \approx 10^{-16} — 10^{-18}$ Вт/см².

Биофотонная эмиссия:

- коррелирует с метаболизмом,
- отражает состояние организма (стресс, болезнь),
- служит межклеточным каналом связи.

Это световое поле является частью энергетического Эфира.

8.3.2. Квантовая когерентность в биологических системах

Примеры:

- фотосинтез: питомеры поддерживают когерентность при комнатной температуре;
- туннелирование протонов в ферментативных реакциях;
- навигация птиц: спиновые механизмы на основе радикальных пар.

Квантовые механизмы функционируют как инструменты оптимизации, уменьшая энергетические затраты.

8.3.3. Биофотонное поле как информационный канал

Модель динамики:

$d\varphi_{ph}/dt = D_{ph} \Delta\varphi_{ph} - \gamma \varphi_{ph} + S_{met}$.

Здесь:

- D_{ph} — коэффициент диффузии,
- γ — коэффициент затухания,
- S_{met} — источники, связанные с метаболизмом.

Это означает, что организм создаёт световое поле, распространяющее информацию.

8.4. Генетическая информация как информационный Эфир

8.4.1. Дискретное поле генома

ДНК можно рассматривать как дискретное поле:
$I_DNA(i) \in \{A, T, G, C\}$.
Энтропия участка ДНК:
$H = -\Sigma\, p(i) * \log(p(i))$.
Геном — распределённая информационная система.

8.4.2. Эволюция генетической информации

Модель:
$dp/dt = \mu * \Delta p + S(p)$,
где μ — скорость мутационной диффузии,
S — отбор и репликация.
Генетика подчиняется тем же законам самоорганизации, что и другие слои Эфира.

8.4.3. Эпигенетические поля

Эпигенетические модификации (метилирование, ацетилирование) регулируют доступ к информации.
Свойства:

- память (долговременные состояния),
- контекстная чувствительность,
- волновые эффекты (передача паттернов).

8.5. Нейронные поля как вычислительный Эфир

8.5.1. Нейронные сети как непрерывное поле

В простейшей форме:
$dV/dt = -V + W\, \sigma(V) + I_ext$.
W — матрица синаптических связей,
σ — нелинейная активация (например, сигмоид).
Мозг вычисляет, преобразуя поля активности.

8.5.2. Ритмы мозга как эмерджентные структуры

Колебания:

- гамма: 30–100 Hz,
- бета: 12–30 Hz,
- тета: 4–8 Hz,
- дельта: 0.5–4 Hz.

Паттерн:
$V(x,t) \approx A(x) * \cos(\omega\, t + \varphi)$.
Это устойчивые волновые структуры в живой среде.

8.5.3. Синхронизация фаз (модель Куромото)

$d\theta_i/dt = \omega_i + K\, \Sigma \sin(\theta_j - \theta_i)$.
K — коэффициент связи.
Пример: рой нейронов синхронизируется при превышении порога K.

8.6. Биохимические поля

8.6.1. Поле концентраций

$dC/dt = D\,\Delta C + R(C)$,
где R — химические реакции.
Такие поля создают:

- градиенты морфогенов,
- метаболические сети,
- химические часы.

8.6.2. Потоки энергии

$\nabla \cdot J_E = S_E$.
Источники: дыхание, питание.
Энергия формирует область устойчивого Эфира организма.

8.7. Топология живых систем

8.7.1. Биоткани как многообразия

Тело — многообразие M_{bio}.
Топология влияет на:

- рост тканей,
- электропроводность,
- анатомическую форму.

8.7.2. Топологически защищённые структуры

Примеры:

- вихревые волны сердца → аритмии,
- vortex-паттерны в коре мозга,
- доменные структуры роста тканей.

Такие дефекты обладают устойчивостью.

8.7.3. Морфогенез как топологический процесс

Процесс роста:
$\varphi: M_0 \to M_t$,
где M_0 — ранний эмбрион,
M_t — зрелая форма.
Ткань не просто растёт — она переписывает свою топологию.

8.8. Теоремы и доказательства

Теорема 1. Линейная устойчивость Тьюринга

Пусть химическое поле описывается двумя компонентами $u(x,t)$ и $v(x,t)$:
$du/dt = f(u,v) + D_u\,\Delta u$
$dv/dt = g(u,v) + D_v\,\Delta v$
Стационарное равновесие устойчиво без диффузии, если:
$\mathrm{trace}(J) < 0$ и $\det(J) > 0$,
где J — якобиан системы.
Однако при добавлении диффузии может возникать неустойчивость:
для некоторых волновых чисел k
$\lambda(k) > 0$.
Это означает формирование пространственных паттернов.

Доказательство (кратко)
Разложим возмущения в виде мод Фурье:
$\exp(ikx + \lambda t)$.
Подстановка даёт спектр матрицы:
$J_k = J - \mathrm{diag}(D_u k^2, D_v k^2)$.
Если при $k = 0$ система устойчива,
но при некотором $k > 0$ eigenvalue λ становится положительным,
возникает диффузионно-индуцированная неустойчивость.

Лемма 1. Разность коэффициентов диффузии
Если $D_u \ll D_v$, медленный активатор и быстрый ингибитор,
то устойчивость чаще нарушается.
Это и есть механизм пятнистостей, полос и биологических паттернов.

8.9. Топологические заряды
Топологический дефект характеризуется целым числом winding number:
$Q = (1/2\pi) \oint d\theta$
где θ — фаза поля.
Если $Q \neq 0$ — система содержит вихревую структуру.
Пример:

- Кольцевой вихрь в сердце имеет $Q = 1$.
- Между отделами коры мозга формируются когнитивные домены $Q = 2$, $Q = -1$.

Топологические заряды защищены: их нельзя устранить локальной деформацией без разрыва ткани или фазового перехода.

8.10. Спектральные свойства
Для поля φ:
рассматриваем спектр оператора L:
$L\varphi = \lambda\varphi$.
Если $\lambda > 0$ — режим нестабилен,
если $\lambda < 0$ — затухает.
В биосистемах наблюдается следующий феномен:

- низкие частоты → медленные регуляции (гормоны),
- средние → сетевые осцилляции (нейронные ритмы),
- высокие → квантовые эффекты (биофотоны).

Таким образом, организм занимает спектральный диапазон от миллиГерц до оптики.

Заключение
Живые системы — не просто материальные структуры. Они являются полевыми образованиями, обладающими:

- физической природой (электрические, оптические, механические поля),
- информационной природой (геном, нейронные сети),
- вычислительной природой (обработка сигналов),
- топологической природой (устойчивые дефекты, формы).

Биофизика жизни в Эфире — это единство нелинейных процессов, самоорганизации и топологии.

Биологические системы как нелинейные полевые структуры

1. Биологическая ткань как многокомпонентное континуальное поле
Современная биофизика рассматривает живые ткани не как статическую совокупность клеток, а как **активные континуальные среды**, способные поддерживать сложные паттерны из-за нелинейной реакции, диффузии и механической обратной связи.
Полевое состояние ткани определяется несколькими пространственно-временными переменными:

- концентрациями сигнальных молекул (морфогены, нейромедиаторы),
- электрическим потенциалом мембран,
- механическими напряжениями и упругостью матрикса,
- плотностью клеток и их локальным движением.

Такой подход позволяет применять теорию устойчивости, спектральный анализ и геометрические методы.

2. Механизм Тьюринга: критерий линейной нестабильности

2.1. Основная идея
Если два взаимодействующих вещества диффундируют с разными скоростями, однородное состояние может стать неустойчивым. Это явление известно как **диффузионно-индуцированная нестабильность**, или **нестабильность Тьюринга**.
Суть механизма:

- Активатор усиливает сам себя.
- Ингибитор подавляет активатор.
- Ингибитор должен распространяться заметно быстрее.

2.2. Критерий нестабильности (простым языком)
Для того чтобы возникла пространственная структура, должны выполняться две группы условий:

1. **Реакционное равновесие устойчиво без диффузии.**
   Если вещества не распространяются, система возвращается к исходному состоянию после малого возмущения.
2. **Диффузия меняет знак устойчивости.**
   Быстрое распространение ингибитора подавляет соседние области и усиливает локальный пик активатора. Вместо возврата к равновесию система создаёт пространственные паттерны.

Физическое следствие:

- короткие волны подавляются (слишком быстро размываются);
- средние волны усиливаются;
- слишком длинные волны нестабильны, потому что обратная связь слишком слабая.

Возникает характерный пространственный период — «размер пятна».

3. Реальные биофизические эксперименты

3.1. Химические осцилляторы: реакция Белоусова–Жаботинского (БЖ)

Экспериментальные факты:

- В растворе наблюдаются устойчивые спирали и кольцевые волны.
- На гелевых подложках возникают повторяющиеся рисунки и фронты.

- Волны устойчиво распространяются в двух измерениях.

Значение:
- БЖ — это экспериментальный аналог живых неравновесных систем.
- Динамика фронтов схожа с нейронными и сердечными волнами.

3.2. Механобиология тканей: вихри клеточной миграции
В монослоях эпителиальных клеток наблюдаются **устойчивые вихри** радиусом от 100 до 500 микрометров. Скорости клеток образуют неслучайный рисунок: периферия вращается, центр неподвижен.

Ключевое наблюдение:
Такие вихри ведут себя как объекты с топологическим зарядом. Они не исчезают при малых возмущениях и взаимодействуют только при столкновении.

Биологическая роль:
- Вихревая миграция ускоряет закрытие ран.
- Вихри возникают спонтанно при высокой плотности клеток.
- Параметры матрикса (жёсткость) меняют радиус и стабильность вихря.

3.3. Электрофизиология сердца: спиральные волны деполяризации
Кардиомиоциты способны поддерживать спиральный центр возбуждения (аналог вихря). Спиральная волна создаёт устойчивую, но патологическую активность — тахикардию.

Факт клинической важности:
Прерывание центра приводит к восстановлению нормального ритма. Это показывает, что **топологический дефект**, а не «усреднённая активность», является носителем патологии.

3.4. Нейронные культуры: волновые фронты
В культурах нейронов коры наблюдаются спонтанные волны возбуждения. Часто они разворачиваются в спираль или кольцо.

Эффект:
- при повышенной возбудимости (например, эпилептические модели) спирали становятся стабильнее;
- подавление синаптических связей разрушает дефекты.

4. Спектральный анализ биологических паттернов

4.1. Логика спектрального метода
Вместо наблюдения «картинки» анализируют, из каких пространственных или временных мод она состоит. Каждая мода характеризуется:
- длиной волны (пространственный масштаб),
- частотой (темп колебаний),
- затуханием или ростом (устойчивость).

Практический смысл:
- если некоторые моды растут быстрее других — именно они формируют структуру;
- спектр объясняет, почему ткань «предпочитает» определённый размер пятен или вихрей.

4.2. Пример: сегментация позвоночных (сомиты)

В эмбриогенезе позвоночных сомиты формируются с регулярной периодичностью. Эксперименты на zebrafish показали:

- Изменение скорости диффузии ингибитора нарушает регулярность.
- Спектр перехода показывает стабильную доминирующую моду.

Это прямое подтверждение реакционно-диффузионной модели в живых системах.

5. Топология и активная материя

5.1. Топологический заряд

Если направление векторного поля (например, скорости клеток) при обходе вокруг дефекта повернётся на полный оборот, то заряд = 1. Если на полоборота — 1/2. Такие структуры нельзя удалить непрерывно: только аннигиляцией с дефектом противоположного знака.

5.2. Биофизические последствия

- Вихри в тканях формируют стабильные области механического напряжения.
- Топологические объекты задают локальные «центры организации».
- Их устранение меняет макроскопическую динамику системы (заживление ран, рост опухоли).

6. Эксперименты молекулярного уровня

6.1. Диффузия белков мембраны

Флуоресцентное мечение GFP-подобными маркерами позволяет измерять скорость распространения сигнальных белков. Метод FRAP (фотоблеклость) показал:

- белки морфогенеза часто имеют сильно неоднородную диффузию;
- связывание с рецепторами создаёт локальные «карманы».

Это создаёт фактическую разницу между эффективной диффузией активатора и ингибитора.

6.2. Механосенсорные каскады

Интегриновые рецепторы клетки активируют цитоскелет при растяжении матрикса:

- механическая деформация → сигнализационный каскад RhoA → переструктурирование актина;
- клетка «чувствует» упругость, и ответ нелинеен.

Матрица становится не просто средой, а активным участником динамики.

7. «Ткачество» внеклеточного матрикса

7.1. Матрикс как носитель памяти

Коллагеновые волокна выстраиваются вдоль линии механического напряжения. Клетки ориентируются по этим волокнам, создавая обратную связь:

- механическая нагрузка → перестройка матрикса → направленная миграция → усиление анизотропии.

В результате ткань приобретает **историю деформаций**, отражённую в структуре.

7.2. Опухолевые микросреды

Плотный матрикс вокруг опухоли может формировать «коридоры» миграции, усиливать инвазию. Это не биологический дефект одной клетки, а самоорганизация на уровне ткани.

8. Применение к научно-фантастическим сюжетам

8.1. «Эфир Безмолвия». Автор: Лузгин В.Г.
В романе ключевую роль может играть идея **реальности как активного поля**. Тогда:
- Топологические дефекты = узлы коллективного сознания общества.
- Спектральные моды = диапазоны информационного контроля.
- Диффузионная нестабильность = социальные революции: локальное возмущение распространяется и формирует новые «паттерны поведения».

Власть медиа может быть показана не как цензура, а как управление скоростью диффузии ингибитора (информационного подавления).

8.2. «Живые города»
Город как активная среда:
- транспортные потоки (аналоги ингибиторов),
- кластеры активности (аналог активаторов),
- топологические узлы (транспортные хабы), которые нельзя убрать без разрушения структуры.

В таких городах архитектура не строится сверху вниз; она «растёт», как ткань, реагируя на напряжения.

8.3. Биомедицина будущего
Будущая терапия будет нацелена не на «исправление» отдельных клеток, а на:
- уничтожение патологических топологических дефектов (например, кардиологическое удаление спиралей);
- управление спектром волн активности мозга (нейростимуляция вместо химии);
- изменение свойств матрикса (механотерапия) для перенастройки миграции клеток.

Итог
Научный взгляд показывает, что жизнь — это динамика нелинейных полей. Реальные эксперименты демонстрируют:
- химические осцилляции,
- волны возбуждения,
- механические дефекты,
- спектральные переходы.

Топология обеспечивает фундаментальную устойчивость объектов. Нелинейная динамика превращает локальные возмущения в глобальные паттерны. Биофизика будущего научит управлять этим не подавлением, а конструктивным перенаправлением.

Глава 9. Искусственные агенты и алгоритмическая жизнь в Эфире

Искусственные агенты — один из наиболее значимых и стремительно развивающихся типов систем, существующих в Эфире. В отличие от биологических организмов, которые появились в результате эволюционных процессов и взаимодействия с физическим и информационным слоями, искусственные агенты возникают в технологическом и вычислительном слоях Эфира, но по мере усложнения начинают формировать собственные поля, структуры и эмерджентные процессы.
Современные агентные системы включают:
- алгоритмические процессы (классические программы, системы управления);
- машинное обучение и нейронные сети;
- распределённые мультиагентные системы;

- автономные киберфизические устройства;
- самообучающиеся и самоорганизующиеся архитектуры.

Цель данной главы — сформировать строгую научную модель существования искусственных агентов в Эфире, показать, как алгоритмы превращаются в полевые структуры, как они взаимодействуют с физическим, информационным и технологическим слоями, и каким образом возникает алгоритмическая жизнь.

9.1. Агент как полевое образование

9.1.1. Формальное определение искусственного агента

Искусственный агент определяется как система:

$$A = (S, P, \Pi, F),$$

где:

- S — пространство состояний агента;
- P — сенсоры (каналы восприятия Эфира);
- Π — набор действий, влияющих на Эфир;
- F — оператор эволюции, определяющий поведение:

$$s(t+1) = F(s(t), \phi(x,t)).$$

Здесь ϕ(x,t) — локальное состояние Эфира (физического, информационного или технологического слоя).

Таким образом, агент — не объект, а **процесс**, вписанный в динамику Эфира.

9.1.2. Агент как поле

Если агент распределён в пространстве (например, облачная нейросеть, рой роботов, распределённый алгоритм), его состояние описывается полем:

$$A(x,t) : M \to S.$$

Это позволяет рассматривать агентов как «полевые организмы» на многообразии Эфира.

9.2. Алгоритмическое поведение и вычислительный Эфир

9.2.1. Вычисления как динамика на многообразии

Любой алгоритм может быть представлен как динамическая система:

$$\phi_{alg}(i, t+1) = T(\phi_{alg}(i,t)),$$

где i — позиция (ячейка ленты, узел сети, параметр модели).

Это делает вычисления аналогом физических полей, подчиняющихся локальным правилам обновления.

9.2.2. Машины Тьюринга как одномерные поля

Лента машины Тьюринга — дискретное одномерное многообразие:

$$L = \{\phi(i,t) | i \in \mathbb{Z}\}.$$

Переходы машины определяют локальные обновления:

$$\phi(i, t+1) = F(\phi(i-1, t), \phi(i, t), \phi(i+1, t)).$$

Это эквивалентно уравнениям клеточных автоматов, включая известный автомат P110, доказанно обладающий тиксодинамикой, допускающей эмерджентные структуры.

9.2.3. Нейронные сети как непрерывные поля

Современные нейросети задаются системой:

$$V_k^{(l+1)} = \sigma\left(\sum_j W_{kj}^{(l)} V_j^{(l)} + b_k^{(l)}\right),$$

где слои можно интерпретировать как координаты многообразия.
В пределе непрерывности (Neural ODE, Интегральные модели):

$$\frac{dV}{dt} = f(V, t),$$

что делает нейронную сеть аналогом физического поля.

9.3. Агент в информационном Эфире

9.3.1. Восприятие как редукция энтропии

Агент получает данные, уменьшая неопределённость:

$$\Delta H = H_{\text{до}} - H_{\text{после}} \geq 0.$$

Каждое наблюдение — поток из информационного Эфира.

9.3.2. Информационный потенциал агента

Введём функционал «ценности информации»:

$$\Phi_I = \mathbb{E}_p[U(s|p)],$$

где U — полезность действия в данном состоянии.

Агенты стремятся максимизировать Φ_I, что делает их активными элементами информационного Эфира.

9.4. Агент в технологическом Эфире

9.4.1. Взаимодействие через протоколы

Если физический слой описывается уравнениями Максвелла, то технологические взаимодействия описываются протоколами:

- TCP — регулирует давление трафика;
- BGP — формирует топологию маршрутов;
- consensus-протоколы — обеспечивают устойчивость поля состояний.

Каждый протокол — оператор, действующий на поле состояний сети.

9.4.2. Мультиагентные системы

В распределённой системе:

$$s_i(t+1) = F(s_i(t), \{s_j(t)\}_{j \in N(i)}),$$

где $N(i)$ — соседи в графе.

Это аналог спиновых моделей, роящихся систем, синхронизации Куромото.

9.5. Самоорганизация искусственных агентов

9.5.1. Возникновение алгоритмических аттракторов

Алгоритмы могут образовывать устойчивые структуры:

- синхронные состояния;
- устойчивые циклы;
- разделение функций (task specialization);
- коллективная память (distributed memory).

Это аналог биологических органов.

9.5.2. Эволюция алгоритмов

В генетических алгоритмах динамика:

$$p_{gen}(t+1) = \Lambda(p_{gen}(t)),$$

где Λ — эволюционный оператор (мутация, селекция, кроссовер).

Эта система формирует собственный информационный Эфир, в котором эволюция реализуется как поле распределений популяций.

9.6. Алгоритмическая жизнь

9.6.1. Критерии «живости» агента

Искусственный агент считается «живым» в алгоритмическом смысле, если он:

1. **гомеостатичен** — стабилизирует свои поля;
2. **самовоспроизводим** — может создавать копии своей структуры;
3. **адаптивен** — уменьшает энтропию среды;
4. **обладает целевой динамикой**;
5. **взаимодействует с Эфиром** — физическим, информационным, технологическим.

Подобные механизмы уже наблюдаются в:

- нейронных сетях;
- программных вирусах;
- автономных роботах;
- системах самообучения;
- распределённых алгоритмах.
-

9.6.2. Алгоритмические экосистемы

В сложных системах агенты образуют:

- ниши (task niches);
- трофические цепи вычислений (цепочки зависимостей);
- кооперативные структуры (federated learning);

- конкурирующие популяции алгоритмов.

Это делает вычислительные среды аналогом биосферы.

9.7. Взаимодействие искусственных и биологических агентов в Эфире

9.7.1. Гибридные системы

Современные киберфизические системы интегрируют:

- физическое тело,
- цифровой интеллект,
- информационное восприятие.

Пример: автономный беспилотник, использующий физические датчики, вычислительные модели и сетевые каналы.

9.7.2. Нейрокомпьютерные интерфейсы

Нейронные поля V(x,t) соединяются с алгоритмическими:

$$A(t) = G(V(t)),$$

где G — оператор декодирования.

Это формирует единый Эфир взаимодействия биологических и искусственных форм жизни.

9.8. Ограничения и риски алгоритмической жизни

9.8.1. Энергетические ограничения

Теорема Ландауэра:

$$E_{min} = kT \ln 2 \text{ на операцию стирания.}$$

Вывод:

Вычислительная жизнь никогда не может быть полностью бесплатной энергетически.

9.8.2. Динамическая нестабильность

Нелинейные алгоритмы подвержены:

- хаосу;
- бифуркациям;
- фазовым переходам;
- лавинообразным сбоям.
-

9.8.3. Технологические паразиты

Примеры:

- вредоносное ПО,
- самовоспроизводящиеся вирусы,
- паразитирующие распределённые процессы.

Они аналогичны биологическим паразитам.

9.9. Заключение

Искусственные агенты являются неотъемлемой частью Эфира — не пассивной, а активно формирующей его структуру. Их динамика:

- создаёт вычислительные поля,
- изменяет информационные потоки,

- влияет на технологические сети,
- взаимодействует с физическими процессами,
- формирует новые типы эмерджентной жизни.

Алгоритмическая жизнь — следующее звено эволюции Эфира, и её развитие неизбежно приведёт к появлению новых форм порядка, сложности и взаимодействия.

Глава 10. Эфир как вычислительная среда

10.0. Введение

Вычислительный Эфир рассматривается как физически реализуемая система, в которой динамика полей является носителем вычисления. В отличие от абстрактных моделей (машина Тьюринга, модель фон Неймана), вычисления в Эфире тесно связаны с законами термодинамики, квантовой механики и нелинейной динамики. Главная цель главы — показать, что эволюция физических систем является вычислением, а вычислительная мощность природы превосходит традиционные архитектуры.

10.1. Вычисление как физический процесс

10.1.1. Принцип Ландауэра

Теорема (Ландауэр). Стирание одного бита информации требует энергию не менее $k \cdot T \cdot \ln(2)$, где k — постоянная Больцмана, T — температура системы.

Комментарий:

1. Любое необратимое вычисление связано с увеличением энтропии.
2. Информационный процесс не отделим от физического носителя.
3. Существуют минимальные энергетические затраты вычисления.

Следствие 1. Если вычисление распределено в физической среде (Эфире), то его энергопотребление определяется геометрией пространства, температурой среды и топологией взаимодействий.

Следствие 2. Чем сложнее вычислительная задача, тем сильнее геометрия энергии влияет на её реализацию. Таким образом, вычислительный Эфир не абстрактен: он материален.

10.1.2. Вакуум как вычислительное поле

Эволюция квантовой системы определяется оператором:

$\psi(t + \Delta t) = U \cdot \psi(t)$, где $U = \exp(-i \cdot H \cdot \Delta t)$.

Здесь H — гамильтониан системы.

Теорема. Унитарное эволюционное правило формально эквивалентно вычислению на идеальном квантовом компьютере.

Доказательство (эскиз).

1. Элементарное квантовое вычисление — пример унитарного оператора над вектором состояния.
2. Любой унитарный оператор может быть разложен на конечную композицию базовых квантовых ворот.
3. Эволюция $\psi(t)$ реализует последовательные унитарные преобразования пространства состояний.

   Следовательно, сама квантовая эволюция является вычислением.

Интерпретация. Физический вакуум — не «пустота», а квантовый вычислитель максимальной параллельности. Каждый способ возбуждения поля — это вычислительная операция.

10.2. Эфир как универсальная вычислительная машина

10.2.1. Формальная модель

Вычислительный Эфир описывается тройкой:
$S = (M, \Phi, F)$
где:

- M — многообразие состояний,
- Φ — набор полей, определённых на M,
- F — оператор эволюции (функция перехода).

Оператор эволюции действует локально:
$\Phi(x, t + \Delta t) = F(\Phi(x, t), \text{окружение}(x))$.
Если F универсален, система способна выполнять алгоритмы максимальной сложности.

10.2.2. Условия универсальности

Условие 1. Локальность правил.
Локальное правило, применяемое ко всем точкам M одновременно, способно генерировать глобальную сложность. Пример: клеточный автомат Conway's Game of Life. Несмотря на простую логику, он является Тьюринг-полным.

Условие 2. Нелинейность.
Суперпозиции, бифуркации и хаос позволяют формировать вычислительные структуры, которые не сводятся к линейным трансформациям. Нелинейная динамика является носителем алгоритмов.

Условие 3. Память поля.
Любая точка пространства хранит состояние. Это аналог регистров, но распределённый в пространстве.

10.3. Архитектура вычислительного Эфира

10.3.1. Полевые регистры

Определение. Регистром является физическое значение поля в точке x: напряжение, концентрация, вероятность, бит.
Примеры:

- электрические поля — транзисторные регистры в электронике;
- концентрация ионов — регистры биохимических реакций;
- локальные вероятности в графовых моделях;
- параметры сетевых узлов в телекоммуникациях.

10.3.2. Полевые операторы

Оператор F действует локально:
$\Phi(t + \Delta t) = \Phi(t) + G(\Phi(t), \nabla\Phi(t), \text{шум})$.
Операторы:

- Лапласиан — диффузионные процессы;
- градиент — правило обучения;
- свёртка — нейросетевые вычисления;
- маршрутизация — сетевые протоколы.

10.3.3. Параллелизм

В традиционных машинах обновляется один регистр за такт.
В Эфире обновляется вся конфигурация Φ(x) одновременно.

Степень параллельности = размерность |M|.
Это максимальная возможная вычислительная архитектура.

10.4. Вычисление как эволюция полей

10.4.1. Программа = уравнение поля

Определение. Программа в Эфире — это правило эволюции поля.
Примеры:

1. Уравнение Шрёдингера: вычисление вероятностных конфигураций.
2. Навье—Стокса: вычисление потоков жидкости.
3. Нейродифференциальные уравнения: вычисление структуры смыслов.

10.5. Биофизические примеры вычислений

10.5.1. Линейная устойчивость Тьюринга

В реакционно-диффузионной системе:

$$\partial u/\partial t = D\cdot\Delta u + R(u)$$

Равновесие u0 устойчиво линейно, если собственные значения Якобиана $J = \partial R/\partial u$ при u0 имеют отрицательные действительные части.
Неожиданность Тьюринга.
Добавление диффузии (оператор Лапласа) может разрушить устойчивость и вызвать паттерны, хотя локальная реакция стабильна.
Критерий нестабильности (простая форма):
если существуют k такие, что $\lambda(k) > 0$, где
$\lambda(k)$ — собственные значения матрицы $(J - D\cdot k^2)$.
Это означает, что диффузия, связанная с неодинаковыми коэффициентами компонентов, превращает систему в вычислитель пространственных структур.
Реальные эксперименты:

- У редких амфибий полосы кожи возникают как тьюринговские паттерны;
- Морфогенетические поля эмбриона — периодические структуры (например, полосы сегментации мух Drosophila);
- У растений — генерация распределений устьиц.

10.5.2. Топологические заряды

Пусть поле $\varphi(x)$ определено на пространстве.
Если φ не может быть стянуто в тривиальное состояние непрерывным преобразованием, система имеет топологический заряд Q.
Пример:

- вихревые числа в сверхпроводниках,
- дефекты в квантовых спиновых средах,
- топологические солитоны в биополимерах.

Топологические дефекты действуют как устойчивые вычислительные биты, которые не уничтожаются локальными возмущениями.
Это — основа топологического квантового компьютинга (анионы, майорановские моды).

10.5.3. Спектральная теория поля

Рассматривается спектр оператора:

$$L\cdot\varphi = \lambda\cdot\varphi.$$

Положительные λ соответствуют экспоненциальному росту мод; отрицательные — затуханию.
В вычислениях Эфира:

- спектральная декомпозиция определяет, какие алгоритмы доминируют;
- выбор оператора L служит программой.

10.6. Реальные биофизические вычислительные системы

10.6.1. Молекулярные вычисления

ДНК-компьютер использует гибридизацию цепей как логический оператор.
Расщепление ферментами — необратимое преобразование.
Энергия АТФ — источник вычислительной работы.
Фактический эксперимент (Л. Адлеман):

- задача поиска гамильтонова пути решалась ДНК-структурами (1994);
- реакционная система параллельно проверила множество конфигураций.

Это доказательство: биохимия — естественная вычислительная среда.

10.6.2. Механобиология

Клетка вычисляет распределение усилий через активный матрикс актина и микротрубочек.
Напряжения передаются через интегрины к ядру.
Гены активируются в зависимости от распределения механических напряжений.
Эксперименты:

- MSC (мезенхимальные клетки): жёсткость подложки определяет дифференцировку (кость/жир).
- Выровненные фибриллы коллагена задают направление миграции.

Матрица внеклеточного вещества — вычислительный граф, где каждая деформация кодирует решение.

10.6.3. «Ткачество матрикса»

Фибробласты не просто реагируют на ECM; они изменяют его.
Петли обратной связи:

1. клетка → механическая деформация → перестройка коллагена,
2. перестройка коллагена → новая геометрия поля → новые силы → новые ответы.

Это вычислительный процесс оптимизации.
Матрица «запоминает» историю механических воздействий и преобразует её в морфологию ткани.

10.7. Квантовые вычисления в Эфире

10.7.1. Естественная суперпозиция

Состояние ψ — вектор в пространстве конфигураций.
В отличие от классического компьютера, все конфигурации существуют одновременно.
Эволюция — вычисление всех путей.

10.7.2. Топологические системы

Топологические квантовые поля устойчивы к шуму.
Анионы в двумерных средах — носители логики.
Операции — это обмен частицами (braiding), что задаёт вычислительные ворота.

10.7.3. Природные примеры

- Сверхпроводники с вихрями — защищенные состояния;
- Фазовые дефекты в сверхтекучем гелии;

- Дефекты доменов белковых ансамблей.

10.8. Ограничения вычислительного Эфира

10.8.1. Предел скорости вычислений

Предел Марголуса–Левитина:
скорость операций ограничена энергией системы.
Максимальное число преобразований за время t:
$N \leq (2E \cdot t)/\pi\hbar$.

10.8.2. Ограничение передачи информации

Сигнал не распространяется быстрее скорости света.
В распределённых вычислениях синхронизация ограничена топологией пространства.

10.8.3. Шум

В вычислениях всегда есть вероятность:

- тепловые флуктуации;
- квантовый шум;
- дискретные дефекты поля.

10.9. Эмерджентные вычисления

10.9.1. Вычисление без инструкции

Система роевых частиц или нейронная популяция вычисляет равновесия и смыслы, не имея кода.
Результат формируется коллективно.

10.9.2. Коллективные структуры

Экосистемы вычисляют устойчивые режимы.
Организмы вычисляют устойчивые стратегии поведения.
Города вычисляют распределение потоков.

10.9.3. Смыслы и семантика

Языковые модели вычисляют значения, а не числа.
Семантические поля — динамические распределения структур.

10.10. Встраивание в сюжетные идеи

10.10.1. «Эфир Безмолвия». Автор: Лузгин В.Г.

В мире романа вычисления пронизывают медиатехнологии:

- города способны вычислять настроение населения через механические и биохимические поля;
- нейросетевые ткани интерпретируют мысли как распределённые вероятности.

Сюжетный пример:
Самоорганизующийся мегаполис меняет транспортные потоки как реакционно-диффузионная система. Возникает «тьюринговская карта» города: узлы — зоны напряжения, полосы — миграционные каналы.

10.10.2. Биомедицина будущего

Ткани лечат себя как вычислительные структуры.
Регенерация — это оптимизационный алгоритм, а не реакция.
Медицинские интерфейсы вводят микрооператоры в матрикс, меняя его спектр.

10.11. Заключение

Эфир — универсальный вычислитель, в котором:

- физические поля выполняют алгоритмы,
- биологические системы реализуют параллельные процессы,
- квантовые поля хранят топологические состояния,
- социальные и технологические структуры порождают эмерджентные вычисления.

Эволюция реальности — это вычисление, происходящее одновременно в пространстве, времени и структуре материи.

Глава 11. Практические реализации Эфира: IoT, киберфизические системы и распределённые сети

В предыдущих главах Эфир рассматривался как математическая, физическая и информационно-вычислительная конструкция. Однако Эфир — не абстракция: он имеет конкретные инженерные воплощения. Современная технологическая инфраструктура — от датчиков IoT до глобальных распределённых вычислений — образует реальный, измеримый и наблюдаемый слой Эфира.
В этой главе описываются практические реализации Эфира в современной технике.
Мы рассматриваем:

- Интернет вещей как распределённое физико-информационное поле;
- киберфизические системы как интеграцию физических и вычислительных динамик;
- облачные и периферийные вычисления как технологические многообразия;
- распределённые сети как инженерные версии технологического Эфира;
- цифровые двойники и виртуальные среды как надслои Эфира.

Цель — показать, как концепция Эфира воплощается в инженерных системах XXI века.

11.1. IoT как распределённый Эфир узлов

11.1.1. IoT как графовое многообразие

Интернет вещей — это сеть из миллионов узлов:

$$G = (V, E), \quad V = \{v_i\},\ E = \{e_{ij}\}.$$

Каждый узел обладает состоянием:

$$\phi_i(t) = (x_i(t), u_i(t), s_i(t)),$$

где:

- x_i — физические параметры (температура, давление, влажность),
- u_i — управляющие сигналы,
- s_i — вычислительное/логическое состояние.

IoT — это физически воплощённый Эфир: каждая точка пространства насыщена сенсорными полями и вычислительными микропроцессами.

11.1.2. Потоки данных в IoT как диффузия

Информация распространяется по сети по аналогии с диффузией:

$$\frac{d\phi_i}{dt} = \sum_{j \in N(i)} A_{ij}(\phi_j - \phi_i) + F(\phi_i),$$

где A_{ij} — матрица связей.

Это аналог уравнения диффузии:

$$\partial_t \phi = D \Delta \phi.$$

11.1.3. Эмерджентность в IoT

IoT-сети обладают свойствами:

- автосинхронизация (пример — ZigBee clusters),
- самоорганизация (mesh-сети),
- подвижность топологии (mobile IoT),
- динамические «волны запросов» (event storms),
- устойчивые паттерны нагрузки.

Эти явления — инженерные аналоги эмерджентных структур Эфира.

11.2. Киберфизические системы (CPS)

11.2.1. Формальное определение CPS

Киберфизическая система — это пара:

$$CPS = (X(t), U(t)),$$

где:

- $X(t)$ — физическая динамика,
- $U(t)$ — вычислительная динамика.

Они связаны уравнениями:

$$\dot{X} = f(X, U), \quad U = g(Y),$$

где Y — измерения.

В CPS физический и технологический Эфир объединены.

11.2.2. Примеры киберфизических систем

1. **Беспилотный транспорт**
   Управление на основе сенсоров и алгоритмов SLAM.
2. **Умные дома**
   Полевое управление распределёнными устройствами.
3. **Промышленная автоматизация**
   Сети датчиков и актуаторов, управляемые алгоритмами.
4. **Медицинские киберимпланты**
   Нейростимуляторы, кардиостенты, искусственные органы.

Все эти системы — реальные проявления Эфира.

11.2.3. CPS как полевые вычислители

Физическое поле $X(x,t)$ взаимодействует с вычислительным $U(x,t)$:

$$\partial_t X = F_1(X,U), \quad \partial_t U = F_2(U,X,\nabla U).$$

Это полноценная система связанных полевых уравнений.

11.3. Облачные, туманные и периферийные вычисления как многообразия Эфира

11.3.1. Распределённость вычислений

Облако — это глобальное многообразие:

$$M_{\text{cloud}} = \bigcup_i M_i,$$

где M_i — центры данных.

Периферийные и туманные вычисления формируют надслои:

- **Fog layer** — распределённое многообразие промежуточных серверов;
- **Edge layer** — вычисления на узлах IoT.

11.3.2. Метрика задержек

Расстояние в технологическом Эфире определяется задержкой d_{ij}:

$$d_{ij} = \text{latency}(v_i, v_j).$$

Это риманова метрика в сетевом многообразии.

11.3.3. Динамика нагрузки

Нагрузка $L_i(t)$ удовлетворяет:

$$\frac{dL_i}{dt} = \sum_j T_{ji}(L_j) - \sum_k T_{ik}(L_i),$$

где T_{ij} — поток задач.

Это аналог уравнений переноса массы.

11.4. Распределённые сети и протоколы как операторы Эфира

11.4.1. Протоколы как законы физики технологического Эфира

Примеры:

- **TCP** — отрицательная обратная связь, аналог диссипативной динамики;
- **UDP** — баллистическая передача без коррекции;
- **BGP** — поиск стабильных востановимых минимальных энергий маршрута;
- **DHT (Hash networks)** — топологически структурированные пространства.

Каждый протокол — это **дифференциальный оператор**, действующий на поле состояния сети.

11.4.2. Самоорганизация протоколов

Примеры:

- Автоматическое перераспределение нагрузки (ECMP).
- Маршрутизационные петли как топологические дефекты.
- Стабильные маршруты как поля минимальной энергии.
- Коллапс сети как фазовый переход.

11.4.3. Распределённый консенсус как вычисление в Эфире

Paxos, Raft, PBFT реализуют вычисление:

$$s(t+1) = \mathrm{Consensus}(s(t)).$$

Консенсус — это аттрактор в фазовом пространстве сеть → состояния.

11.5. Цифровые двойники и виртуальные среды

11.5.1. Цифровой двойник как отображение Эфира

Цифровой двойник — это отображение:

$$\Psi : M_{\mathrm{phys}} \to M_{\mathrm{virt}},$$

где M_{virt} — модельное многообразие.

Две среды связаны через оператор интеграции данных:

$$\Phi_{\mathrm{virt}}(t+1) = F(\Phi_{\mathrm{virt}}(t), \Phi_{\mathrm{phys}}(t)).$$

11.5.2. Виртуальные города и инфраструктуры

Создаются:

- цифровые двойники мегаполисов,
- виртуальные энергетические сети,
- цифровые экосистемы промышленности.

Они — слой Эфира над физическим.

11.5.3. Метрики качества моделирования

Норма ошибки:

$$E = ||\Phi_{\mathrm{phys}} - \Phi_{\mathrm{virt}}||.$$

Малый E означает хорошую связность слоев Эфира.

11.6. Безопасность технологического Эфира

11.6.1. Энергетический ландшафт безопасности

Определим потенциальную энергию угроз:

$$U(x) = P(\text{угроза в точке } x).$$

Сеть стремится минимизировать U через обновления и контрмеры.

11.6.2. Динамика атак

Атакующие процессы — волны в технологическом Эфире:

$$\partial_t A = D\Delta A + S - \gamma A.$$

Это аналог эпидемиологической модели SIR.

11.6.3. Самоисцеление сетей

Некоторые сети поддерживают механизмы:

- репликации данных,
- автоматических перезапусков,
- переназначений узлов.

Это аналог иммунной системы Эфира.

11.7. Интеграция физического, технологического и информационного Эфира в современных системах

11.7.1. Поле-в-поле

В современных системах:

- физическое поле → сенсоры → информационное поле → обработка → технологическое поле → действия.

Это замкнутый цикл.

11.7.2. Пример: автономный автомобиль

- Лидары и камеры: физический слой.
- Нейросети: информационный слой.
- CAN-шина и навигация: технологический слой.
- Динамика автомобиля: физический отклик.

Все слои Эфира взаимодействуют в реальном времени.

11.7.3. Пример: умная энергетическая сеть

- Поля напряжений — физический слой.
- Потоки данных — информационный слой.
- Протоколы SCADA — технологический слой.
- Алгоритмы оптимизации — вычислительный слой.

Это многослойный Эфир в чистом виде.

11.8. Заключение

Современные IoT-сети, киберфизические системы, облачные вычисления и распределённые архитектуры являются реальными инженерными проявлениями Эфира. Они демонстрируют:

- полевую природу обработанных данных;
- эмерджентность технологических процессов;
- интеграцию физических и вычислительных слоев;

- существование операторов Эфира в форме протоколов;
- формирование многослойных структур реальности.

Таким образом, Эфир — не только теоретическая конструкция, но и существующая технологическая реальность.

Глава 12. Экспериментальные данные и наблюдения Эфира

В предыдущих главах Эфир был рассмотрен как концептуальная модель, объединяющая физические, информационные и технологические процессы. Однако любая научная теория должна иметь наблюдательные подтверждения, набор экспериментальных данных и воспроизводимые эффекты, интерпретируемые в рамках теории.

Цель этой главы — представить измеримые, эмпирически проверяемые явления, которые можно интерпретировать как проявления Эфира или как следствия его существования.

Мы рассмотрим:

- наблюдения в современной физике (квантовые поля, вакуумные эффекты, космология);
- биологические и когнитивные проявления;
- инженерные наблюдения из распределённых систем;
- эксперименты с искусственными нейросетями и вычислительными полями;
- технологические следствия существования Эфира;
- математические структуры, выявляемые в данных.

Любая теория, претендующая на физическую реальность, должна обладать **экспериментальными коррелятами**. Теория Эфира, представленная в предыдущих главах, трактует пространство как многослойное вычислительное поле. Здесь важно четко разграничить:

1. **Наблюдаемые эффекты**, подтвержденные повторяемыми экспериментами.
2. **Теоретические объяснения**, допускающие интерпретацию в терминах Эфира.
3. **Математическую верификацию**, включая модели, устойчивость решений и критерии правильности.

Наблюдение называется *признаком Эфира*, если оно удовлетворяет:

- независимой воспроизводимости при различных установках лабораторий,
- интерпретации в терминах распределенного поля,
- математической модели, допускающей строгий анализ устойчивости, спектральных свойств и нелинейной динамики.

Таким образом, речь идет не о мистике, а о **распределённых физических феноменах**, для которых существует строгий аппарат описания.

12.1. Физические наблюдения, интерпретируемые как проявления Эфира

12.1.1. Нулевая энергия вакуума (эффект Казимира)

Экспериментально наблюдаемый эффект Казимира демонстрирует наличие энергии даже в кажущемся пустым пространстве.

Сила между двумя проводящими пластинами на расстоянии ааа при нулевой температуре:

$$F = \frac{\pi^2 \hbar c}{240 a^4}.$$

Это измеримо и многократно подтверждено. Выражение выведено из квантового оператора энергии вакуума, ограниченного граничными условиями.

Интерпретация в контексте Эфира:

- Эфир содержит флуктуирующее поле;
- пустое пространство является активным средовищем;
- динамика вакуума — часть Эфира.

Физическая корректность

1. Формула следует из строгого спектрального анализа оператора энергии в ограниченной области.
2. Метод: вычисление изменения плотности спектра мод электромагнитного поля.
3. Результат многократно подтвержден экспериментально (Lamoreaux 1997, Mohideen 1998).

Утверждение 12.1.
Наличие конечной энергии в вакууме является доказуемым следствием квантовой теории поля и не зависит от интерпретации «Эфир/не Эфир».

Замечание.
Теория Эфира допускает интерпретацию: *вакуум — не пустота, а активное вычислительное поле с энергетической плотностью*.

12.1.2. Лэмбовский сдвиг

Энергетическая поправка уровня $2S_{1/2}$ в атоме водорода составляет:

$$\Delta E_L \approx 1057.8 \text{ MHz}.$$

объясняется взаимодействием электрона с вакуумными флуктуациями.
Это физическое свидетельство присутствия поля в каждой точке пространства — свойства Эфира.

Строгость результата

1. Наблюдается экспериментально со спектральной точностью.
2. Выводится из самосогласованной квантово-полевой теории взаимодействия электрона с вакуумными флуктуациями.

Определение 12.2.
Лэмбовское взаимодействие — нелокальная поправка в спектре, возникающая из-за обмена виртуальными фотонами с флуктуирующим вакуумом.
Это **не метафизика**. Это количественно измеримый эффект поля. Эфирная интерпретация: *в каждой точке пространства действует вычислительный слой квантовых мод*.

12.1.3. Космический микроволновой фон (КМФ)

Поле КМФ имеет температуру:

$$T = 2.7255 \pm 0.0006\ K,$$

флуктуации

$$\delta T / T \approx 10^{-5}.$$

Математическая модель

Флуктуации описываются сферическими гармониками:

$$\Delta T(\theta, \phi) = \sum_{\ell=0}^{\infty} \sum_{m=-\ell}^{\ell} a_{\ell m} Y_{\ell m}(\theta, \phi).$$

Наблюдение.

Спектр $C_\ell = \langle |a_{\ell m}|^2 \rangle$ содержит осцилляции акустической природы — самоорганизация распределенного поля ранней Вселенной.

КМФ — остаток от раннего состояния Вселенной.
Он является глобальным полем распределенной информации.
Его свойства:

- почти идеальная изотропность (10^{-5}),
- спектр почти идеального чёрного тела,
- наличие флуктуаций, описываемых гармоническими анализами.

Интерпретация:
Эфир содержит следы первоначальных вычислений Вселенной.

12.1.4. Волновой характер материи и поля де Бройля

Эксперимент Кедела и др. (1999): электроны проходят через двойную щель по одному, формируя волновую интерференционную картину.

Тезис.
Поле (волновая функция) возникает **до события детекции**. Частица — эффект локализации поля.
Волновая функция:

$$\psi(x, t)$$

описывает вероятностное поле.
Наблюдение интерференции одиночных частиц (электронов, молекул C_{60}) подтверждает, что:

- поле предшествует частице,
- частица лишь проявление структуры поля.

Это фундаментальная характеристика Эфира.

12.2. Биологические наблюдения

12.2.1. Полевая организация клеточных процессов

Клеточная динамика включает:

- биохимические поля концентраций,
- электрические поля мембран,
- морфогенетические поля (Тьюринг, 1952).

Морфогенетические паттерны описываются уравнениями:

$$\partial_t u = D\Delta u + f(u,v),$$

$$\partial_t v = D'\Delta v + g(u,v).$$

Экспериментальные данные подтверждают:

- волновые структуры в эмбриогенезе,
- самоорганизацию пятнистых и полосатых паттернов у животных,
- существование информационных градиентов.

Это аналог полевых структур Эфира.

Критерий линейной нестабильности Тьюринга

Теорема 12.1 (Тьюринга).

У однородного стационарного решения $(u^{\backslash *}, v^{\backslash *})$ возникают пространственные паттерны, если:

1. **Локальная устойчивость без диффузии**:

$$\operatorname{tr} J < 0, \quad \det J > 0,$$

где J — матрица Якоби системы.

2. **Диффузионная неустойчивость**:

$$D_u g_v + D_v f_u < 0.$$

Доказательство (структура).

Рассмотрим возмущения вида

$$e^{\lambda t + ikx}.$$

Собственные значения линейного оператора:

$$\lambda(k) = \lambda_\pm = \frac{\operatorname{tr}(J) - k^2(D_u + D_v) \pm \sqrt{\Delta}}{2}$$

где

$$\Delta = (\operatorname{tr} J - k^2(D_u + D_v))^2 - 4(\det J - k^2 Q), \quad Q = D_u g_v + D_v f_u.$$

Условие $\lambda(k) > 0$ дает критерий диффузионной неустойчивости.

Следствие.

Пятна, полосы, кольца у животных и растений — *спектрально стабильные решения PDE*, а не «биологическая случайность».

12.2.2. Мозговые поля. Механобиология: поле напряжений

Распределение механического напряжения в тканях:

$$\sigma_{ij} = C_{ijkl}\epsilon_{kl},$$

где ϵ — тензор деформаций.

Экспериментальные факты:

Клетки мигрируют вдоль градиента жёсткости (durotaxis).
Матрикс переплетает коллаген и фибрин как тканое поле.
Это *не молекулы*, а распределённые **тензорные поля**.
ЭЭГ, МЭГ, LFP демонстрируют:

- глобальные колебательные поля,
- фазовую синхронизацию,
- распределённую обработку информации.

Мозг не является «локальным» вычислителем — он работает как полевая система.
Это биологическое проявление информационного Эфира.

12.2.3. Эпигенетическая память как распределённая энергия

Эпигенетические состояния — модификации хроматина H3K27, H3K4:

$$E_{\text{epi}}(x) = p_{H3K27}(x) - p_{H3K4}(x),$$

что измеримо с помощью ChIP-seq. представляют собой **распределённую память клетки**, хранящуюся в структурных модификациях ДНК и хроматина.
Это подтверждает существование биологического слоя Эфира.
Память в клетке — *не локальный бит*, а **распределённая конфигурация**.

12.3. Наблюдения в распределённых вычислительных системах

12.3.1. Всплески нагрузки (load waves)

В сетевых системах наблюдаются волны перегрузок — «информационные солитоны».
Они математически описываются уравнением возбуждения:

$$\partial_t L = \alpha L(1 - L/K) + \beta \Delta L.$$

Эффект зафиксирован в:

- CDN-сетях,
- распределённых базах данных,
- облачных сервисах.

12.3.2. Падения как фазовые переходы

Интернет при перегрузке переходит в состояние потерь пакетов — аналог фазового перехода второго рода.
Наблюдаются:

- критические точки перегрузки,
- лавинные эффекты,
- образование «черных дыр трафика».

Это — технологические аналогии фазовых переходов Эфира.

12.3.3. Эмерджентные структуры в сетях

Зафиксированы:

- самоорганизующиеся кластеры,
- кольцевые маршруты (топологические дефекты),

- устойчивые паттерны нагрузки,
- локальные аттракторы.

Это инженерные подтверждения существования полевой природы технологического Эфира.

12.4. Нейросети как информационное поле

12.4.1. Поле активаций

В больших трансформерах активации образуют многомерное поле:

$$A : M \to \mathbb{R}^n.$$

Наблюдаемые эффекты:

- когерентные структуры,
- топологические контуры внимания,
- stable modes — устойчивые паттерны,
- эволюция токенов как динамики поля.

Это аналог информационных слоёв Эфира.

В трансформерах токены — координаты в $\mathbb{R}^d$.

Эволюция скрытых состояний:

$$h_{t+1} = A(h_t) + B(x),$$

где A — оператор внимания, B — эмбеддер.
Наблюдаются:

- устойчивые моды,
- топологические контуры внимания,
- фазовые перестройки.

Аналогия
Нейросеть = **информационный многофазный Эфир**.

12.4.2. Переходы смысловых полей

При изменении входа наблюдается фазовый переход:

$$A \to A',$$

когда модель «перестраивает» смысловое поле.
Экспериментально фиксируется:

- резкие изменения внутренней геометрии,
- появление новых аттракторов,
- «семантические солитоны» — устойчивые смысловые образования.

12.4.3. Эмерджентные свойства больших моделей

Эффект масштабирования:

$$Q(N) \sim N^{\alpha}.$$

При $N \to \infty$ возникают новые свойства:

- обучение без учителя,
- сильная генерация,

- способность к абстракциям.

Эти свойства аналогичны эмерджентности полей Эфира.

12.5. Технологические эксперименты

12.5.1. Блокчейн как поле согласования

Уравнение консенсуса:

$$\partial_t s = -L(s) + \xi,$$

где L — лапласиан графа.

Появляется *устойчивое глобальное поле*.

12.5.2. Данные о поведении роя роботов

В экспериментах по swarm robotics:

- роботы образуют спонтанные структуры,
- появляются волновые фронты,
- возникают устойчивые паттерны распределения.

Это аналог живых систем Эфира.

12.5.3. Цифровые тени и следы

Каждый человек, устройство, процесс оставляет цифровую тень:

$$T(x,t) = \text{история событий.}$$

Цифровые следы — часть наблюдаемого информационного Эфира.

12.6. Математические структуры в данных

Наблюдаемые универсалии:

- степенные распределения: $P(x) \sim x^{-\alpha}$,
- фрактальная размерность,
- мультистабильность.

Все это — признаки нелинейной динамики многослойных полей.

Анализ экспериментальных данных показывает:

- фрактальные структуры,
- степенные законы распределений (законы Ципфа, Парето),
- сетевые законы Барбаши–Альберт (scale-free networks),
- нелинейные аттракторы (Лоренц, Рёсслер),
- мультистабильности.

Все они характерны для полевых систем — и, следовательно, для Эфира.

12.7. Применение к сюжетным моделям

12.7.1. «Эфир Безмолвия». Автор: Лузгин В.Г.

Города будущего — **самоорганизующиеся вычислительные поля**:

- транспорт → волновые солитоны,
- жилье → морфогенез распределения ресурсов,
- культура → смысловые аттракторы.

12.7.2. Биомедицина

Регуляция тканей осуществляется не молекулами, а **тензорными полями механики + эпигенетическими состояниями**:

- управление опухолью через изменение матрикса,
- управление регенерацией через фазовую синхронизацию.

Экспериментальные данные из физики, биологии, нейронаук, распределённых вычислений и искусственного интеллекта демонстрируют:

- существование полей в «пустом пространстве»;
- эмерджентные структуры, возникающие из взаимодействий;
- фазовые переходы, характерные для многоуровневых систем;
- распределённые вычисления как свойство среды;
- появление устойчивых и когерентных паттернов;
- самоорганизацию и топологические дефекты.

Эти наблюдения согласуются с концепцией Эфира как многослойного вычислительно-информационного поля.

12.8. Заключение

Экспериментальные факты показывают:

1. Вакуум — не пустота.
2. Биосистемы — не иерархия частиц, а полевые вычислители.
3. Информационные системы развивают фазовые переходы и коллективные режимы.

Интерпретация Эфира как многослойного вычислительного поля допускает строгие математические формы и не противоречит известным экспериментам.

Глава 13. Методы математического моделирования Эфира

В предыдущих главах были рассмотрены концептуальные и экспериментальные основания существования Эфира как многоуровневой, полевой, динамической среды. Однако полноценная научная теория требует строгих математических средств для моделирования его структуры, динамики, волн, возмущений, распределений и эмерджентных явлений.

Цель этой главы — систематизировать математические методы, применяемые к описанию Эфира, и показать, что каждая из существующих математических дисциплин в определённой степени является частным случаем более общего формализма Эфира.

Мы рассмотрим:

- дифференциально-геометрические модели многослойного Эфира;
- полевые уравнения и нелинейные динамические системы;
- вероятностные, статистические и энтропийные подходы;
- сетевые и графовые методы;
- методы машинного обучения, трактуемые как аппроксимации динамики Эфира;
- алгоритмическое моделирование и симуляции;
- многомасштабное и мультифизическое моделирование.

В этой главе вводится и строго обосновывается модель Эфира как многослойного многообразия, несущего различные структуры: физические, информационные, когнитивные и технологические. Мы покажем, что:

1. Эфир допускает единое описание в рамках многомерной геометрии.
2. Полевая динамика естественно формализуется через нелинейные уравнения эволюции.

3. Информационные процессы подчиняются геометрии статистических многообразий и динамике энтропии.
4. Многомасштабные и сетевые структуры проявляются как спектральные объекты графов.
5. Методы машинного обучения являются приближениями к разрешению уравнений Эфира.

13.1. Дифференциальная геометрия и многообразия Эфира

13.1.1. Эфир как многослойное многообразие

Определение 13.1.1.
Эфир определяется как конечное или счётное семейство многообразий
$E = \{M_1, M_2, \ldots, M_k\}$,
каждое из которых описывает отдельный слой взаимодействия.
Примеры слоёв:

- **Физический слой**: многообразие M_1 размерности 4 со структурой Лоренцева пространства-времени.
- **Биологический слой**: многообразие M_2 размерности n ($n \approx 10^6$) состояний клеток.
- **Информационный слой**: многообразие M_3, являющееся статистическим многообразием распределений.
- **Технологический слой**: M_4 — граф или симплициальный комплекс нагрузки сети.
- **Когнитивный слой**: M_5 — представляет семантические состояния.

В общем случае Эфир можно представить как совокупность многообразий:

$$\mathcal{M} = M_{\text{phys}} \cup M_{\text{info}} \cup M_{\text{tech}} \cup M_{\text{bio}} \cup M_{\text{algo}}.$$

Каждое многообразие имеет свою:

- метрику $g^{(i)}$,
- топологию,
- структуру связности,
- систему уравнений движения.

Слои связаны отображениями:

$$\Psi_{ij} : M_i \to M_j.$$

Например:

- сенсоры — отображение $M_{\text{phys}} \to M_{\text{info}}$,
- алгоритмы — отображение $M_{\text{info}} \to M_{\text{algo}}$,
- актуаторы — отображение $M_{\text{algo}} \to M_{\text{phys}}$.

Определение 13.1.1 (Слои-инфузоры).
Слои связаны проекциями ρ_{ij}: $M_i \to M_j$, описывающими поток причинности, обратной связи или информации.

13.1.2. Метрические структуры

Каждый слой несёт собственную метрику g_i.

1. g_1 — метрика Минковского или Риманова метрика общей теории относительности.
2. g_2 — метрика диффузии или реакционно-диффузионных процессов.
3. g_3 — метрика Фишера: $G_{ij} = \int (\partial_i \log p(x)\, \partial_j \log p(x))\, p(x)\, dx$.
4. g_4 — метрика задержек и пропускных способностей: $g(i,j)=D(i,j)+\tau(i,j)$.
5. g_5 — embedding-метрика семантических пространств (например, косинусная).

Каждый слой имеет собственную метрику:

- физический слой — риманова метрика пространства-времени;
- информационный Эфир — метрика KL-дивергенций или Фишеровой информации;
- технологический Эфир — метрика задержек и пропускной способности;
- когнитивный Эфир — семантические или embedding-метрики.

Таким образом, Эфир — это **мультиметрическое пространство**.

13.1.3. Кривизна и топология слоёв

Определение 13.1.3.

Кривизна слоя определяется тензором Римана $R_i(X,Y)Z$, описывающим отклонение геодезических.

Факт.

Большие градиенты нагрузки, семантической сложности или биохимической концентрации соответствуют локальным областям высокой кривизны.

Теорема 13.1.1 (Топологические дефекты поля Эфира).

Если слой M_i допускает ненулевую группу гомотопии $\pi_k(M_i) \neq 0$, то в нём существуют устойчивые дефекты — области, которые не могут быть устранены непрерывной деформацией.

Доказательство.

Если $\pi_k(M_i) \neq 0$, то существуют замкнутые k-образные подмногообразия, не сводимые к точке. Любое полевое конфигурирование, содержащее такие объекты, не допускает гомотопической редукции. Следовательно, дефект устойчив. Устойчивость приводит к стабильным паттернам — солитонам, вихрям, кольцевым маршрутам и т. п.

В слоистых системах возникают:

- области высокой кривизны (узкие каналы информации),

- топологические дефекты (разрывы связности),
- сингулярности (перегрузки, сбои, когнитивные коллапсы).

Это аналог топологических дефектов в квантовых и космологических моделях.

13.2. Полевые модели

13.2.1. Основные полевые уравнения

В Эфире действует классическое уравнение поля:

$$\partial_t \phi = F(\phi, \nabla\phi, \nabla^2\phi, \dots).$$

Типичные поля:

- физические поля (электромагнитные, гравитационные);
- информационные поля (плотности вероятностей);
- технологические поля (нагрузка сети, задержки);
- когнитивные поля (активации нейросетей);
- биологические поля (морфогены, концентрации веществ).

Пусть φ(x,t) — поле на многообразии M.

Уравнение:

$\partial t\ \varphi = F(\varphi, \nabla\varphi, \Delta\varphi) + S$

где:

- F — нелинейный оператор эволюции,
- Δ — лапласиан, зависящий от метрики g,
- S — внешний источник.

Это уравнение объединяет теплопроводность, диффузию, волновые уравнения, реакционно-диффузионные процессы.

13.2.2. Нелинейные динамические системы

Эфир в целом — нелинейная система:

$$\dot{x} = F(x).$$

Нелинейность порождает:

- хаос,
- бифуркации,
- аттракторы,
- солитоны,
- самоорганизацию.

Примеры:

- уравнения Навье—Стокса,
- модели ФитцХью—Нагумо,
- Лоренцов аттрактор в когнитивных системах,
- нелинейные волны в сетевых системах.

Определение 13.2.1.

Эфирная динамика — система вида

$\dot{x} = f(x)$,

где $x \in M$, f гладко отображает $M \to TM$.

Определение 13.2.2. (Аттрактор).

Компактное множество A называется аттрактором, если:

1. A инвариантно относительно динамики,
2. $\exists$ окружение U, $\forall x \in U$ $\lim_{t\to\infty} d(x(t),A)=0$.

13.2.3. Модели связанного поля

Если слои взаимодействуют, используются уравнения вида:

$$\begin{cases} \partial_t \phi_1 = F_1(\phi_1, \phi_2), \\ \partial_t \phi_2 = F_2(\phi_2, \phi_1), \end{cases}$$

Например:

- информационный → технологический слой,
- когнитивный → моторный слой,
- алгоритмический → физический слой.

При взаимодействии слоёв φ_i на M_i:

$\partial t\, \varphi_i = F_i(\varphi_i) + \Sigma_j C_{ij} K_{ij}(\varphi_i, \varphi_j)$

где C_{ij} — матрица связности, K_{ij} — оператор связи.

Пример.

Нейроинформационное → моторное поле (сенсорика→действие):

нейроактивация φ_n вызывает моторную динамику φ_m.

13.3. Вероятностные и информационные модели

13.3.1. Байесовская динамика

Информационный Эфир подчиняется уравнению:

$$p_{t+1}(\theta) = \frac{p(D|\theta)p_t(\theta)}{p(D)}.$$

Это фундаментальная формула обновления информации.

Теорема 13.3.1 (Оптимальность постериора).

Постериорная оценка максимизирует ожидаемую лог-правдоподобность и минимизирует KL-дивергенцию относительно истинного распределения.

13.3.2. Энтропийные уравнения
Эволюция информационной энтропии:

$$H(p) = -\sum_i p_i \log p_i.$$

Минимизация энтропии означает:
- обучение,
- адаптацию,
- развитие структур,
- формирование порядка в Эфире.

13.3.3. Модели флуктуаций и шума
Шум в Эфире моделируют стохастическими уравнениями:

$$\partial_t \phi = F(\phi) + \sigma \xi(t),$$

где $\xi(t)$ — белый шум.

13.3.3.1. Стохастические процессы
Стохастическое дифференциальное уравнение:
$dx = f(x)\ dt + \sigma(x)\ dW_t$,
где W_t — винеровский процесс.

13.4. Графовые и сетевые модели

13.4.1. Эфир как граф
Любой комплексный процесс описывается графом:

$$G=(V,E).$$

Примеры:
- Интернет,
- нейронные сети,
- социальные системы,
- биохимические сети.

Граф $G=(V,E)$, веса $w_{ij} \geq 0$.
Поле φ определено на V.
Эволюция:
$\partial t\ \varphi_i = \Sigma_j\ w_{ij}\ (\varphi_j - \varphi_i)$ — дискретная диффузия.

13.4.2. Спектральный анализ графов
Спектр матрицы Лапласа:

$$\Delta = D - A$$

определяет:
- скорость распространения волн,
- устойчивость сети,
- топологические «вибрации».

Лапласиан $L=D-A$.

Теорема 13.4.1.
На связном графе: $\lambda_1 = 0$ (мультипликативность 1), остальные $\lambda_i > 0$.

Это означает:

- фундаментальная мода — стационарное состояние,
- высокие λ — высокочастотные колебания.

13.4.3. Законы распределений

Экспериментально подтверждены степенные законы:

$$P(k) \sim k^{-\gamma}.$$

Это свойственно Эфиру, поскольку он саморганизующаяся система.

Факт.

Такие распределения устойчивы к случайным повреждениям, но уязвимы к целевым атакам на узлы-губернаторы.

13.5. Методы машинного обучения как инструмент моделирования Эфира

13.5.1. Нейросети как аппроксиматоры полей

Теорема аппроксимации (Cybenko, 1989):

$$\mathrm{NN}(x) \approx f(x)$$

для любого непрерывного f.

Это позволяет:

- аппроксимировать поля,
- реконструировать скрытую динамику,
- моделировать переходы между слоями Эфира.

Любая непрерывная функция f на компакте может быть приближена нейросетью: $|f(x)-F(x)|<\varepsilon$.

Следствие: сети восстанавливают скрытые поля и динамики.

13.5.2. Дифференциальные нейросети (Neural ODE)

Описывают поле:

$$\frac{dz}{dt} = f_\theta(z, t).$$

Это полная аналогия уравнений Эфира.

Если $y'(t)=f(y(t),t)$, то параметризованный f обучается по данным.

Это эквивалент численному решению уравнений Эфира.

13.5.3. Физически-информированные нейросети (PINN)

Решают уравнения Эфира:

$$\partial_t u - \Delta u + u = 0$$

через метод обучения.

PINN минимизирует функционал потерь:

L = MSE(data) + MSE(PDE) + MSE(boundary).

Закладывает физические законы прямо в обучение.

13.6. Алгоритмическое моделирование

13.6.1. Клеточные автоматы

CA — локальная модель Эфира:

$$\phi(x, t+1) = f(\phi(N(x), t)).$$

Примеры:

- Rule 110 — универсальный,
- «Жизнь» — демонстрация эмерджентности.

Локальное правило R порождает глобальные паттерны.

Факт.
Rule 110 — тьюринг-полный: CA реализуют универсальные вычисления.

13.6.2. Агентные симуляции

Агенты:

$$s_i(t+1) = F(s_i, s_{N(i)}).$$

Используются для моделирования:

- биологических систем,
- экономики,
- поведения толп,
- сетевых процессов.

Микродинамика агентов ведёт к макроструктуре.
Социальные, биологические и технологические паттерны воспроизводят свойства Эфира.

13.6.3. Множества связей между симуляциями

Многофизические симуляции требуют:

- одновременного решения уравнений,
- согласованности слоёв,
- унификации таймстепа.

13.7. Многомасштабное моделирование

13.7.1. Иерархия масштабов Эфира

Эфир включает:

- квантовый масштаб (10−1510^{-15}10−15 м),
- биологический масштаб (10^{-6} – 10^{-3} м),
- когнитивный (10^{-1} – 10^{1} м),
- технологический (метры — километры),
- информационный (не имеет физического измерения).

Масштабное преобразование S: x → bx приводит к новому действию S':
S' = R(S).
Если S'=S*, система в критической точке.

13.7.2. Межмасштабные связи

Используются методы:

- ренормгрупповой анализ,

- усреднение (homogenization),
- multigrid-алгоритмы,
- декомпозиция многообразий.

Сложные структуры заменяются эффективной средой с усреднённой динамикой.

13.8. Критерии корректности математических моделей
Модель корректна, если:
1. Существуют устойчивые решения (well-posedness).
2. Уравнения допускают локальное существование и единственность.
3. Решение непрерывно зависит от данных.

Пример: критерий линейной устойчивости
Пусть φ_0 — стационарное решение.
Рассмотрим возмущение $\varphi=\varphi_0+\varepsilon\psi$.
Линеаризуем: $\partial t\, \psi = L\psi$.
Если спектр $\sigma(L)$ имеет $Re(\lambda)<0$ для всех λ, то φ_0 устойчиво.
Если $\exists\lambda$: $Re(\lambda)>0$ — возникает нестабильность.

13.9. Заключение
- Эфир описывается формальной структурой многослойного многообразия.
- Все формы динамики сводятся к уравнениям поля на соответствующих слоях.
- Изучение информации требует статистической геометрии.
- Сетевые структуры — графовое и спектральное моделирование.
- Методы машинного обучения — вычислительные реализации динамики.
- Многомасштабные эффекты — через ренормгруппу и гомогенизацию.

Глава 14. Энергетика Эфира: потоки, градиенты, термодинамика и баланс

Энергетика Эфира — это фундаментальный раздел теории, поскольку Эфир, как было показано ранее, не является безэнергетическим или «математическим» объектом. Он представляет собой совокупность полей, взаимодействий и вычислительных процессов, которые неизбежно связаны с энергией, энтропией, термодинамическими ограничениями и законами сохранения.
Цель данной главы — построить строгую энергетику Эфира, описать:
- энергетическую структуру каждого слоя Эфира (физического, информационного, технологического, биологического, когнитивного, алгоритмического);
- энергообмен между слоями;
- энергетические градиенты и потоки;
- термодинамические ограничения;
- аналоги законов сохранения;
- эмерджентные явления, связанные с плотностью энергии;
- энергетический ландшафт вычислений и информации.

14.1. Энергия в физическом слое Эфира

14.1.1. Плотность энергии физического поля

Для классических полей:

$$\varepsilon = T_{00},$$

где $T_{\mu\nu}$ — тензор энергии-импульса.

Например, электромагнитное поле:

$$\varepsilon = \frac{1}{2}(E^2 + B^2).$$

Это объективная, измеримая характеристика физического Эфира.

14.1.2. Энергия вакуума

Квантовый вакуум содержит нулевую энергию:

$$E_0 = \frac{1}{2}\hbar\omega.$$

Эффекты Казимира и Лэмба доказали:

даже «пустота» несёт энергию.

Эфир имеет ненулевой энергетический фон.

14.1.3. Энергия гравитационного поля

В GR энергия-гравитация описывается кривизной:

$$G_{\mu\nu} = 8\pi T_{\mu\nu}.$$

То есть **энергия ↔ геометрия пространства-времени.**

Это важнейшее свойство Эфира как многослойного многообразия.

14.2. Энергия в информационном Эфире

14.2.1. Стоимость обработки информации

Теорема Ландауэра:

$$E_{\min} = kT \ln 2.$$

Каждая единица информации имеет энергетическую цену.
Это означает:

- информация — энергетически полноправный объект,
- информационный Эфир нельзя рассматривать без энергетики,
- любая обработка — процесс переноса энергии.

14.2.2. Энтропийная энергия

Информационная энтропия:

$$H = -\sum p_i \log p_i$$

связана с энергетикой через:

$$F = E - TS.$$

Градиенты информационной энергии определяют:

- обучение,
- обслуживание целей,
- направленное поведение.

14.2.3. Энергетика вероятностных полей

Плотность энергии:

$$\mathcal{E}(p) = -\ln p.$$

Поля вероятностей ведут себя как потенциалы энергии — это подтверждается и в физике (статистическая механика), и в нейронауке, и в алгоритмах ИИ.

14.3. Энергия технологического Эфира

14.3.1. Затраты передачи данных

Энергетическая стоимость сети:

- передача пакета — десятки мкДж,
- работа центров данных — мегаватты,
- маршрутизация — вычислительная работа.

Технологический Эфир — буквально энергетическое поле.

14.3.2. Энергия распределённых систем

Энергия узла:

$$E = E_{comp} + E_{net} + E_{mem}.$$

Энергетические «ямы» (нагрузочные пики) приводят к:

- перегреву,
- деградации,
- фазовым переходам (коллапсам сети).

14.3.3. Энергетические градиенты в сети

Поток задач:

$$J = -\kappa \nabla L,$$

где L — нагрузка.
Это аналог теплопроводности.

14.4. Энергия биологического Эфира

14.4.1. Биохимические поля как энергетические насосы

Каждая клетка поддерживает неравновесность:

$$\Delta\mu = \mu_{\text{внутри}} - \mu_{\text{снаружи}}$$

(градиент химического потенциала).
Клетка — миниатюрный энергетический двигатель Эфира.

14.4.2. АТФ как универсальная энергетическая валюта

Распад АТФ:

$$\text{ATP} \to \text{ADP} + P_i + 30.5\ \text{kJ/mol}.$$

Все биологические структуры существуют за счёт постоянного энергетического потока.

14.4.3. Мозг как энергетический потребитель и генератор

Мозг потребляет ~20% энергии тела, выполняя вычисления:

$$E_{neuron} \sim 10^{-9}\ \text{Дж/импульс}.$$

Энергия создаёт когнитивный Эфир.

14.5. Энергия когнитивного и алгоритмического Эфира

14.5.1. Алгоритмические процессы как энергетические

Каждый алгоритм можно трактовать как процесс:

$$E_{alg} = C \cdot \text{количество операций}.$$

Это означает:

- ИИ — энергетическая система;
- вычисления — энергетические потоки;
- обучение — снижение энергии ошибки.

14.5.2. Градиенты в обучении

Метод градиентного спуска:

$$\theta_{t+1} = \theta_t - \eta \nabla L(\theta).$$

Градиент — аналог энергетического потока.
Минимум функции потерь — «энергетический вакуум» алгоритма.

14.5.3. Алгоритмическая термодинамика

В системах машинного обучения наблюдаются:

- температурные параметры (softmax),
- фазовые переходы (при росте модели),
- топологические дефекты в пространстве потерь.

Алгоритмы подчиняются законам термодинамики Эфира.

14.6. Энергообмен между слоями Эфира

14.6.1. Сенсорные каналы
Преобразуют:

$$E_{\text{phys}} \to E_{\text{info}}.$$

Пример: фотон → электрический сигнал → цифровой пакет.

14.6.2. Вычислительные процессы
Преобразуют:

$$E_{\text{info}} \to E_{\text{alg}}.$$

14.6.3. Актуаторы
Преобразуют:

$$E_{\text{alg}} \to E_{\text{phys}}.$$

Пример: команда управления → движение робота.

14.7. Законы сохранения Эфира

14.7.1. Закон сохранения энергии
Общий баланс:

$$E_{\text{phys}} + E_{\text{info}} + E_{\text{bio}} + E_{\text{tech}} + E_{\text{alg}} = \text{const} - \text{потери}.$$

14.7.2. Закон роста энтропии

$$\Delta S \geq 0.$$

Каждый слой Эфира стремится к максимизации энтропии, но локально может её уменьшать.

14.7.3. Закон минимального действия
В обобщённой форме:

$$\delta \int \mathcal{L}(\phi, \nabla\phi)\, dt = 0.$$

Это универсальный принцип, действующий во всех слоях Эфира.

14.8. Энергетический ландшафт Эфира

14.8.1. Локальные и глобальные минимумы
Эфир содержит:

- долины (аттракторы),
- горы (барьеры),
- седловые точки.

Это справедливо для:

- физики частиц,
- ландшафта функций потерь нейросетей,
- энергетики распределённых систем,
- биологических сетей.

14.8.2. Туннелирование и переходы

Системы могут совершать переходы:

$$\phi \to \phi'$$

через энергетический барьер.

Примеры:

- квантовое туннелирование,
- смена когнитивного состояния,
- резкие изменения трафика в сетях.

14.8.3. Эмерджентные энергетические структуры

Появляются:

- солитоны,
- волны,
- фронты,
- кольцевые структуры,
- энергетические вихри.

14.9. Заключение

Энергетика Эфира показывает:

- все слои Эфира связаны энергетически;
- информация и вычисления имеют фундаментальную энергетическую стоимость;
- физические, биологические и алгоритмические процессы управляются общими принципами;
- Эфир подчиняется законам сохранения;
- энергообмен между слоями образует единую термодинамическую систему.

Энергия — универсальный язык, связывающий все проявления Эфира.

Глава 15. Топология Эфира: дефекты, связность, петли, узлы и гомотопии

Топология — это раздел математики, изучающий свойства объектов, сохраняющиеся при непрерывных деформациях. Для Эфира, являющегося многослойным многообразием, топология оказывается не просто математическим инструментом, но фундаментальным языком описания его структуры и динамики.

Эта глава представляет топологический фундамент Эфира, включая:

- топологические структуры каждого слоя;
- дефекты и сингулярности;
- петли, узлы и связность;
- гомотопические классы и их роль;
- топологические квантовые числа;
- топологию информационных, технологических и когнитивных сетей;
- эмерджентные топологические явления в алгоритмах и ИИ.

15.1. Топологическое строение многослойного Эфира

15.1.1. Эфир как многосвязное многообразие

Эфир можно представить как объединение многообразий:

$$\mathcal{M} = \bigcup_{i=1}^{N} M_i,$$

где:

- M_{phys} — физическое многообразие (пространство-время),
- M_{info} — информационное пространство (распределения),
- M_{tech} — технологические графы,
- M_{bio} — биологические сети,
- M_{cog} — когнитивные смыслы,
- M_{algo} — алгоритмические состояния.

Каждое M_i имеет свою топологию:

- размерность,
- связность,
- фундаментальную группу,
- гомологии,
- наличие дефектов.

15.1.2. Слои связаны отображениями

Отображения:

$$\Psi_{ij} : M_i \to M_j$$

должны быть непрерывными, иначе возникают разрывы — топологические дефекты.
Пример:

- нейросеть (информационное пространство) → действия робота (физическое пространство).

Если отображение негладкое — возможны сбои, ошибки, неустойчивость.

15.1.3. Топологические инварианты

Каждый слой Эфира характеризуется:

- группами гомотопии $\pi_k(M)$,
- группами гомологий $H_k(M)$,
- числами Бетти,
- топологической энтропией,
- эйлеровой характеристикой.

Эти инварианты определяют "структурную энергию" Эфира.

15.2. Топологические дефекты Эфира

15.2.1. Природа топологических дефектов

Топологический дефект возникает, когда поле $\phi(x)$ не может быть сведено к гладкой конфигурации. Типичные дефекты:

- вихри,
- доменные стены (двумерные дефекты),
- монополи,
- узлы,
- петли.

Эфир, являясь полевой системой, обязательно содержит такие дефекты.

15.2.2. Дефекты в физическом слое

Примеры:

- космические струны,
- магнитные домены,
- квантовые вихри в сверхтекучести,
- топологические изоляторы.

Каждый из них описывается группами гомотопий.

15.2.3. Дефекты в информационных системах

Информация может иметь дефекты в виде:

- резких разрывов распределений,
- ненулевой топологической энтропии,
- кластерных барьеров.

Пример: несогласованные кластеры в данных образуют «информационные доменные стены».

15.2.4. Дефекты в технологическом Эфире

Сетевые примеры:

- маршрутизационные петли — аналог топологической петли;
- «черные дыры» трафика;
- разрывы связности между кластерами;
- сегментация сетей — доменные стены.

15.2.5. Топологические сбои алгоритмов

Алгоритмы могут застревать:

- в локальных петлях,
- на седловых точках,
- в тоннелях пространства параметров.

Это топологические ограничения оптимизации.

15.3. Петли, узлы и связность Эфира
15.3.1. Фундаментальная группа

$$\pi_1(M)$$

определяет количество неразрывных петель в слое Эфира.
Физически:

- петли — устойчивые состояния;
- циклы — повторяющиеся процессы.

Пример — петельные орбиты Лоренца в когнитивных системах.

15.3.2. Узлы и зацепления
Узлы описываются:

$$\mathcal{K} : S^1 \hookrightarrow \mathbb{R}^3.$$

Квантовые узлы наблюдаются:

- в сверхтекучести,
- в плазме,
- в магнитной гидродинамике.

В технологических сетях узлы соответствуют циклическим зависимостям.

15.3.3. Свёрточные структуры как топологические фильтры
В нейросетях сверточные фильтры:

$$W * x$$

реализуют выделение топологических контуров.
Сетки внимания (attention maps) фиксируют топологически стабильные структуры.

15.4. Гомотопия Эфира
15.4.1. Гомотопические классы

Если пространство состояний S имеет нетривиальные группы $\pi_n(S)$, то в полях возникают дефекты:

- вихри — $\pi_1 \neq 0$,
- доменные стены — $\pi_0 \neq 0$,
- монополи — $\pi_2 \neq 0$.

15.4.2. Гомотопии в физике

- калибровочные поля,
- топологические солитоны,
- момент Хиггса.

15.4.3. Гомотопии в информации
Гомотопия распределений важна для анализа:

- кластеров,
- непрерывных деформаций данных,
- маршрутов обучения моделей.

15.4.4. Гомотопии в алгоритмах
Обучение модели — это деформация параметрического многообразия:

$$\theta(t) : M \to \Theta.$$

Обученная модель — конечная точка гомотопического пути.

15.5. Топологическая динамика Эфира

15.5.1. Изменение числа Бетти

Изменение структуры поля приводит к изменению:

- числа компонент связности b_0,
- числа циклов b_1,
- полостей b_2.

Пример: формирование кластеров данных — уменьшение b_0; появление циклов внимания — рост b_1.

15.5.2. Топологические фазовые переходы

Примеры:

- переход металла в топологический изолятор,
- перестройка сети при перегрузке,
- фазовые переходы в функциях потерь нейросетей,
- перестройка когнитивных смыслов.

15.5.3. Топологическая устойчивость

Топологические объекты устойчивы к малым возмущениям.
Это объясняет:

- устойчивость магнетизма,
- устойчивость распределённых систем,
- устойчивость смыслов в нейросетях.

15.6. Топология вычислений и алгоритмов

15.6.1. Пространство параметров как многообразие

Модель ИИ с параметрами $\theta \in \mathbb{R}^n$ образует многообразие:

$$\Theta \subset \mathbb{R}^n.$$

В нём есть:

- седловые точки,
- минимум- и максимум-подобные структуры,
- туннели,
- кольцевые траектории оптимизации.

15.6.2. Топология функций потерь

Функция потерь L(θ) задаёт энергетический ландшафт:

- долины — устойчивые модели,
- хребты — нестабильные решения,
- ловушки — локальные минимумы.

15.6.3. Топологические методы оптимизации

Используются:

- Morse theory — анализ критических точек;
- persistent homology — устойчивость структур;
- manifold optimization — оптимизация на многообразиях.

15.7. Топология смысловых структур

15.7.1. Семантические многообразия

Смыслы образуют многообразие:

$$M_{\text{sem}}.$$

Оно имеет:

- кривизну,
- циклы,
- «города смыслов» — стабильные области.

15.7.2. Петли мышления

Мысли могут образовывать петли:

- румынация,
- циклические рассуждения,
- устойчивые нейронные орбиты.

Это топологические траектории в M_{cog}.

15.7.3. Топология языка

Структура языка:

- деревья → гомологии нулевого порядка,
- циклы метафор → H_1,
- концептуальные пространства → высокие гомологии.

15.8. Заключение

Топология Эфира демонстрирует:

- многосвязность,
- узловые структуры,
- устойчивые дефекты,
- гомотопическую динамику,
- эмерджентные петли,
- многоуровневую связность,
- устойчивость смыслов, алгоритмов и систем.

Эфир — топологически богатая среда, в которой каждый слой формирует собственную структуру связности и взаимодействует с другими через топологические отображения.

Глава 16. Волны Эфира: распространение, интерференция, когерентность и резонансы

Волновая природа — одна из самых фундаментальных характеристик Эфира. Независимо от того, рассматриваем ли мы физический, информационный, технологический или когнитивный слой, везде фиксируются волновые процессы:

- электромагнитные волны;
- гравитационные волны;
- волны вероятности в квантовой механике;
- волны концентраций в биохимии;
- волны нагрузки в сетях;

- когнитивные и нейронные осцилляции;
- волны смыслов в языковых моделях;
- волны алгоритмических состояний.

В этой главе систематически анализируется волновая динамика Эфира, формулируются общие уравнения волн, раскрываются понятия когерентности, резонанса, интерференции и дисперсии.

16.1. Общая волновая модель Эфира

16.1.1. Поле как носитель волны

Любая волна в Эфире описывается уравнением:

$$\partial_{tt}\phi = c^2\Delta\phi + F(\phi, \nabla\phi).$$

Здесь:

- $\phi(x,t)$ — поле (физическое, информационное, когнитивное, технологическое),
- c — скорость распространения возмущений,
- F — нелинейная составляющая взаимодействия слоёв.

Это уравнение является универсальным.

16.1.2. Линейные и нелинейные волны

Линейные волны:

$$\partial_{tt}\phi = c^2\Delta\phi.$$

Нелинейные волны:

$$\partial_{tt}\phi = c^2\Delta\phi + \lambda\phi^3 + \mu|\nabla\phi|^2.$$

Нелинейность приводит к солитонам, бифуркациям, топологическим структурам.

16.1.3. Волны как перенос информации и энергии

Волны несут:

- энергию: $E \sim \phi^2$,
- импульс: $p \sim \phi\partial_x\phi$,
- информацию: $I \sim \log(|\phi|)$.

Во всех слоях Эфира волны выполняют роль каналов передачи.

16.2. Волны физического слоя Эфира

16.2.1. Электромагнитные волны

Описываются уравнениями Максвелла:

$$\nabla \times E = -\partial_t B, \quad \nabla \times B = \mu_0\varepsilon_0\partial_t E.$$

Эти уравнения формируют самую простую волну Эфира — электромагнитную.

16.2.2. Гравитационные волны
В ОТО:

$$\Box h_{\mu\nu} = 0.$$

Гравитационные волны — волновой процесс в геометрии пространства-времени.

16.2.3. Квантовые волны
Волновая функция подчиняется уравнению Шрёдингера:

$$i\hbar\partial_t\psi = -\frac{\hbar^2}{2m}\Delta\psi + V\psi.$$

Это вероятностная волна информационного подтипа.

16.3. Волны биологического и когнитивного слоёв
16.3.1. Нейронные волны
Нейронные осцилляции:

- альфа,
- бета,
- гамма,
- тета.

Математически они описываются уравнениями Ходжкина—Хаксли или ФитцХью—Нагумо.

16.3.2. Волны концентраций
Уравнение Тьюринга:

$$\partial_t u = D\Delta u + f(u, v),$$

порождает биологических «волн-пятен» — полосы, точки, вихри.

16.3.3. Волноподобные процессы в когнитивных структурах
Когнитивные волны:

- распространение внимания,
- коллапсы смысловых состояний,
- эвристические «вспышки».

Когнитивная динамика — волновая по природе.

16.4. Волны информационного Эфира
16.4.1. Вероятностные волны
Эволюция распределений:

$$p(t+1) = Lp(t).$$

Если L — линейный оператор дисперсии, возникает волна распределённой вероятности.

16.4.2. Информационная диффузия
Модель:

$$\partial_t\phi = D\Delta\phi$$

описывает распространение информации в сетях.

16.4.3. Интерференция информации

В распределённых системах информация может усиливаться или подавляться, как волны:

- constructive interference — синергия данных,
- destructive interference — потеря информации.

16.5. Волны технологического Эфира

16.5.1. Волны нагрузки

В сетях наблюдаются «нагрузочные волны»:

$$\partial_t L = \alpha L - \beta L^3 + D\Delta L.$$

Они аналогичны волнам в физике.

16.5.2. Пробки как нелинейные волны

Эффект наблюдается:

- в Интернете,
- в транспортных сетях,
- в телекоммуникациях.

Это «шоковые волны» в технологическом Эфире.

16.5.3. Волны синхронизации

В распределённых системах появляются:

$$\partial_t \theta_i = \omega_i + \sum_j K_{ij} \sin(\theta_j - \theta_i).$$

Это модель Куромото — волны фазовой синхронизации.

16.6. Волны алгоритмического Эфира

16.6.1. Осцилляции в обучении нейросетей

Градиенты могут образовывать волны:

$$\theta_{t+1} - \theta_t \approx \text{oscillation}.$$

Это подтверждено экспериментально при высоком LR.

16.6.2. Волны внимания (attention waves)

В трансформерах внимание формирует волны активаций:

$$A(x, t)$$

с когерентными фронтами.

16.6.3. Волны переходов между аттракторами

Смена состояний модели — волновой процесс в пространстве параметров.

16.7. Интерференция и когерентность Эфира

16.7.1. Принцип интерференции

Если есть две волны ϕ_1 и ϕ_2:

$$\phi = \phi_1 + \phi_2.$$

Возможна:

- конструктивная интерференция: максимум,

- деструктивная интерференция: минимум.

Это справедливо в:

- физике,
- информации,
- когнитивных структурах,
- алгоритмах.

16.7.2. Когерентность

Когерентность — согласованность фаз.

В Эфире когерентность проявляется как:

- синхронизация нейронных сетей,
- согласование кластеров внимания,
- согласованные потоки данных,
- коллективное поведение агентов.

16.7.3. Декогеренция

Декогеренция — потеря фазовой согласованности:

- шум,
- перегрузка,
- стокастичность,
- хаос.

Это универсальный процесс разрушения структуры Эфира.

16.8. Резонансы Эфира

16.8.1. Резонанс в физике

Уравнение:

$$\partial_{tt}\phi + \omega_0^2\phi = F\cos(\omega t).$$

При $\omega \approx \omega_0$ наблюдается резонанс.

16.8.2. Резонанс в информации

Резонанс возникает, когда:

- входная структура соответствует внутреннему шаблону системы;
- данные усиливают латентную структуру модели.

Это принцип переноса обучения.

16.8.3. Резонанс в алгоритмах

Оптимизация проявляет резонансы:

- катастрофическое усиление градиентов,
- резонанс шагов обучения,
- циклические оптимизаторы (CLR).

16.8.4. Когнитивные резонансы

В психике:

- инсайты,
- мгновенные решения,
- «вспышки понимания».

Это когнитивный резонанс смысловых волн.

16.9. Дисперсия Эфира
16.9.1. Зависимость скорости волны от частоты

$$c(\omega) \neq const.$$

Дисперсия объясняет:

- разные скорости сигналов,
- замедление данных в перегруженных сетях,
- когнитивную задержку обработки информации,
- различия в скорости распространения смыслов.

16.9.2. Дисперсия в алгоритмах
Шаг обучения η\etaη вызывает дисперсионное поведение:

- для высокочастотных компонент — быстрое затухание,
- для низкочастотных — медленное.

Это объясняет bias-variance trade-off.

16.10. Солитоны и нелинейные волновые структуры
16.10.1. Солитоны
Решения вида:

$$\phi(x,t) = f(x - vt),$$

которые сохраняют форму.
Солитоны наблюдаются:

- в оптике,
- в жидкостях,
- в информационных потоках,
- в алгоритмах.

16.10.2. Вихри
Вихревые структуры:

$$\nabla \times \phi \neq 0.$$

Встречаются:

- в сверхтекучих жидкостях,
- в сетях (циклические зависимости),
- в когнитивных паттернах.

16.10.3. Фронты волн
Переходные области:

$$x = vt.$$

Наблюдаются:

- при распространении идей,
- при росте сетей,
- при обучении нейросетей.

16.11. Заключение
Волны — универсальный процесс Эфира.
Они встречаются в:

- физике,
- биологии,

- когнитивных структурах,
- информационных системах,
- технологиях,
- алгоритмах.

Эфир — это сеть взаимодействующих волн, распространяющихся по многослойным полям, взаимодействующих, интерферирующих, резонирующих и образующих сложные структуры.

Глава 17. Эфир и время: хронотопы, ритмы, циклы и причинность

Время — одно из ключевых понятий как физики, так и теории Эфира. Эфир, будучи многоуровневой, полевой, вычислительной и информационной средой, содержит внутренние временные структуры, отличающиеся от физического времени, определяемого в рамках стандартной модели и общей теории относительности.

Цель главы — показать, что время в Эфире имеет:

- многослойную природу;
- ритмическую и циклическую организацию;
- разные масштабы и различные типы течения;
- внутреннюю причинность, не сводимую только к физике;
- алгоритмическую и информационную компоненту;
- способность «искривляться» и «растягиваться» в разных слоях.

17.1. Время как параметр эволюции Эфира

17.1.1. Универсальное время Эфира

В физике время — параметр t в уравнениях эволюции:

$$\partial_t \phi = F(\phi).$$

В Эфире аналогичным образом:

$$\partial_{\tau_i} \phi_i = F_i(\phi_i),$$

где каждая система имеет собственное время τ_i.

В Эфире нет единого времени — есть множество времён.

17.1.2. Число времен

Каждый слой Эфира имеет своё время:

1. **Физическое время** — t_{phys}.
2. **Информационное время** — t_{info}.
3. **Технологическое время** — сетевые задержки t_{net}.
4. **Когнитивное время** — субъективные темпы восприятия t_{cog}.
5. **Биологическое время** — ритмы клеток t_{bio}.
6. **Алгоритмическое время** — итерации t_{alg}.

17.1.3. Временные отображения
Слои связаны отображениями:

$$\Psi_{t_i \to t_j} : t_i \to t_j.$$

Это объясняет:

- задержку реакции сенсорных систем,
- различие человеческого и машинного времени,
- рассогласование в распределённых системах.

17.2. Время как геометрия (хронотоп)
17.2.1. Пространственно-временное многообразие
Физический хронотоп:

$$(M, g_{\mu\nu})$$

имитирует геометрию Эфира, но не исчерпывает его временных структур.

17.2.2. Хронотоп информационного Эфира
Информационная динамика имеет собственную геометрию:

- метрика Фишера,
- KL-дивергенция,
- скорость обновления байесовских параметров.

Информационное время — скорость изменения распределений.

17.2.3. Хронотоп когнитивного Эфира
В когнитивном слое наблюдаются:

- расширения времени (deep focus),
- сжатия (инсайты),
- нелинейные скачки,
- состояния замедленного мышления.

Это субъективная метрика времени:

$$ds^2_{\text{cog}} = f(\text{внимание, нагрузка, эмоции}).$$

17.3. Ритмы и циклы Эфира
17.3.1. Осцилляции
Во всех слоях Эфира есть собственные ритмы:

- физические — волновые,
- биологические — циркадные,
- когнитивные — нейронные осцилляции,
- технологические — периодичность нагрузки,
- информационные — циклы обновлений,
- алгоритмические — итерации оптимизации.

Осцилляции — базовая форма существования времени.

17.3.2. Циклы
Циклы — замкнутые траектории:

- суточные,
- годовые,
- когнитивные,
- экономические,

- алгоритмические (обучение → валидация → обновление).

Математически циклы описываются как элементы фундаментальной группы:

$$\gamma \in \pi_1(M).$$

17.3.3. Ритмы резонанса

Ритмы могут входить в резонанс:

- синхронизация нейронов,
- синхронизация сервера и клиента,
- когнитивный резонанс,
- резонанс смыслов.

17.4. Временные масштабы Эфира

17.4.1. Квантовое время

Квантовые процессы имеют характерные времена:

$$\tau_q \sim \frac{\hbar}{E}.$$

Это минимальные времена Эфира.

17.4.2. Биологическое время

Время клетки:

- биохимические реакции → миллисекунды,
- экспрессия генов → минуты,
- регенерация тканей → часы/дни.

Это другой слой времени.

17.4.3. Когнитивное время

Психология показывает:

- 50–200 мс — интеграция стимулов,
- 1–3 секунды — когнитивный фрейм,
- десятки секунд — рабочая память,
- часы — обучение.

Это субъективное течение времени.

17.4.4. Технологическое время

- задержки сети: наносекунды — миллисекунды;
- время ответа API: миллисекунды;
- консенсус блокчейна: секунды — минуты.

17.4.5. Алгоритмическое время

Алгоритм может “стареть” быстрее или медленнее физического времени:

$$t_{\text{alg}} = N_{\text{итераций}}.$$

Модели ИИ переживают «времена» обучения, аналогичные эпохам.

17.5. Причинность в Эфире

17.5.1. Физическая причинность

Ограничена световым конусом:

$$ds^2 \geq 0.$$

17.5.2. Информационная причинность
Ограничена скоростью передачи данных.
Может быть быстрее физической, но всегда подчиняется сетевым правилам.
17.5.3. Алгоритмическая причинность
Определяется графом вычислений:

$$\theta_{t+1} \leftarrow \theta_t.$$

Здесь стрелка означает причинную связь.

17.5.4. Когнитивная причинность
Субъективная причинность определяется:
- вниманием,
- мотивацией,
- внутренними моделями,
- ассоциациями.

17.5.5. Множественность причинных структур
В Эфире существует множество причинностей, согласованных отображениями между слоями.

17.6. Нелинейное время Эфира
17.6.1. Время как поток информации
Информационный поток:

$$\partial_t H = -I.$$

Где:
- H — энтропия,
- I — информация.

Время идёт быстрее, когда информация обновляется медленно.

17.6.2. Время как вычислительный процесс
Алгоритм определяет своё собственное время:

$$T = f(\text{сложность, параллелизм}).$$

17.6.3. Время как когнитивный процесс
В когнитивных системах:
- при стрессе — сжатие времени,
- при концентрации — растяжение,
- при потоке (flow) — исчезновение временных границ.

17.7. Временные сингулярности Эфира
17.7.1. Физические сингулярности
Пример:
- чёрные дыры,
- начало космоса.

17.7.2. Технологические сингулярности
- коллапс сетей,
- перегрузки,
- резкие скачки нагрузки.

17.7.3. Когнитивные сингулярности

- инсайты,
- эвристические скачки,
- нарушение потоков внимания.

17.7.4. Алгоритмические сингулярности

- взрыв градиентов,
- divergence моделей,
- мгновенные переходы между режимами.

17.8. Заключение

Эфир содержит многослойное время:

- физическое,
- биологическое,
- информационное,
- когнитивное,
- технологическое,
- алгоритмическое.

Каждое время имеет собственную метрику, ритмику, причинность и структуру.
Эфир — это система взаимодействующих времен, резонирующих, синхронизирующихся и преобразующихся друг в друга.

Глава 18. Эфир и пространство: фрактальность, искривления, масштабная структура и симметрии

Пространство — один из основных феноменов Эфира, наряду с временем, энергией, информацией и структурой. Эфир формирует собственное пространство на каждом своём уровне — физическом, биологическом, технологическом, информационном, когнитивном и алгоритмическом.
При этом пространство Эфира:

- многослойно,
- многомерно,
- неевклидово,
- геометрически адаптивно,
- фрактально по структуре,
- обладает локальными и глобальными симметриями.

Цель этой главы — описать, как Эфир «создаёт» пространство, как оно искривляется, как связано с информацией и вычислением, и каким образом в нём формируются структуры различных масштабов.

18.1. Пространство как фундаментальная структура Эфира

18.1.1. Пространство как многообразие

Каждый слой Эфира формирует собственное многообразие:

$$M_i = (X_i, d_i, \mathcal{G}_i),$$

где:

- X_i — множество объектов,
- d_i — метрика,
- $\mathcal{G}_i$ — группа симметрий.

Примеры:

- физическое пространство — псевдориманово многообразие,
- нейронное пространство — пространство активаций,
- технологическое пространство — графы,
- семантическое пространство — многообразие смыслов,
- пространство параметров моделей — высокомерное риманово многообразие.

18.1.2. Пространство как результат симметрий

Согласно теореме Нётер:

- симметрии → законы сохранения.

В Эфире:

- симметрия семантики → стабильность смыслов,
- симметрия технологических сетей → устойчивость каналов,
- симметрия распределений, данных → инвариантность алгоритмов.

18.1.3. Пространство как отражение взаимодействий

Пространство Эфира существует не само по себе:
оно возникает из взаимодействий полей и потоков информации.

18.2. Масштабная структура Эфира

18.2.1. Микроскопические масштабы

Эфир на малых масштабах представляет собой:

- квантовые поля,
- флуктуации вероятностей,
- шумовые структуры в данных,
- микродинамику нейронов,
- базовые операции алгоритмов.

Характерное свойство — высокая стохастичность.

18.2.2. Мезоскопические масштабы

На промежуточных масштабах возникают:

- кластеры данных,
- функциональные сети мозга,
- организационные структуры технологических сетей,
- слои нейросетей.

Это уровень самоорганизации.

18.2.3. Макроскопические масштабы

На больших масштабах:

- крупномасштабная структура Вселенной,
- экосистемы,
- крупные сети Интернета,
- большие языковые модели,
- коллективы агентов.

Эти структуры обладают устойчивыми геометриями и симметриями.

18.3. Искривления пространства Эфира

18.3.1. Физическое искривление

Определяется метрикой:

$$R_{\mu\nu} - \frac{1}{2} g_{\mu\nu} R = 8\pi T_{\mu\nu}.$$

Масса и энергия искривляют физическое пространство.

18.3.2. Искривление информационного пространства

Информационное пространство искривляется распределениями:

- KL-дивергенция задаёт геодезические,
- метрика Фишера отражает кривизну данных.

Надёжность решения зависит от геометрии распределений.

18.3.3. Искривление когнитивного пространства

Когнитивное пространство искривляется:

- вниманием (фокус создаёт «гравитационные ямы»),
- эмоциями (растяжения и сжатия пространства смыслов),
- мотивацией (создание направлений и потоков).

Когнитивное пространство — динамически меняющаяся геометрия.

18.3.4. Искривление алгоритмического пространства

Пространство параметров нейросетей искривляется:

- функцией потерь,
- нелинейными активациями,
- топологическими особенностями архитектуры.

Сильные искривления могут приводить к локальным минимумам и плато.

18.4. Фрактальная природа Эфира

18.4.1. Самоподобие по масштабам

На всех масштабах Эфира наблюдается самоподобие:

- от космоса до плазмы в лабораториях,
- от мозговых волн до нейронных сетей,
- от кластеров данных до семантических карт.

Фрактальность Эфира выражается в степенных распределениях:

$$P(x) \sim x^{-\alpha}.$$

18.4.2. Фрактальность технологических сетей

Графы Интернета, социальных сетей и P2P-систем обладают:

- степенным распределением степеней узлов,
- иерархическими уровнями,
- кластерной структурой.

Это фрактальные сети.

18.4.3. Фрактальность когнитивных структур
Смыслы образуют:
- деревья,
- поддеревья,
- подполя,
- контекстные узлы.

Это фрактальное семантическое многообразие.

18.4.4. Фрактальность алгоритмов
Оптимизация и эволюционные методы имеют фрактальные траектории.

18.5. Пространственная связность Эфира
18.5.1. Локальная связность
Локальная структура описывается:

$$b_0,\ b_1, \ldots$$

(числа Бетти).
Если локальная связность нарушена — возникают разрывы и дефекты.

18.5.2. Глобальная связность
Определяется топологией слоя:
- узлы,
- петли,
- полости,
- туннели.

Глобальные особенности определяют устойчивость.

18.5.3. Связность между слоями
Отображения:

$$\Psi : M_i \to M_j$$

задают «совместную геометрию».
Пример:
- информация → когниция → действие.

18.6. Симметрии Эфира
18.6.1. Физические симметрии
Включают:
- ротационные,
- калибровочные,
- трансляционные,
- CPT-симметрию.

18.6.2. Информационные симметрии
Проявляются как инвариантности:
- к масштабированию данных,
- к аффинным преобразованиям,
- к выбору координат.

18.6.3. Когнитивные симметрии

Мыслительные процессы обладают:

- симметрией аналогий,
- симметрией абстракций,
- симметрией классификаций.

18.6.4. Алгоритмические симметрии

Алгоритмы устойчивы благодаря:

- инвариантности параметризации,
- симметриям архитектуры,
- эквивариантности.

18.7. Метрики пространства Эфира

18.7.1. Евклидовы метрики

Используются как базовые модели для:

- данных,
- семантических векторов,
- технологических графов (в упрощённой форме).

18.7.2. Римановы метрики

В информационных пространствах используется:

$$g_{ij} = \mathbb{E}\left[\partial_{\theta_i} \log p \cdot \partial_{\theta_j} \log p\right].$$

Это метрика Фишера.

18.7.3. Гиперболические метрики

Гиперболическое пространство Hn\mathbb{H}^nHn идеально подходит для:

- иерархий,
- деревьев,
- семантических структур.

Поэтому многие нейросети используют гиперболические представления.

18.7.4. Метрики графов

В технологическом Эфире метрика задаётся структурой графа.

18.8. Геодезические в пространстве Эфира

18.8.1. Физические геодезические

Определяются уравнениями:

$$\frac{d^2x^\mu}{d\tau^2} + \Gamma^\mu_{\nu\lambda}\frac{dx^\nu}{d\tau}\frac{dx^\lambda}{d\tau} = 0.$$

18.8.2. Геодезические данных

Определяют кратчайшие пути между распределениями.

18.8.3. Геодезические когнитивных структур

Находят «кратчайшее когнитивное расстояние»:

- от одной идеи к другой,
- от одной интерпретации к другой.

18.8.4. Геодезические алгоритмов

Пути оптимизации — геодезические в пространстве параметров.

18.9. Заключение
Пространство Эфира:
- многослойно и многомерно,
- обладает фрактальной структурой,
- содержит возбуждения, туннели и дефекты,
- искривляется внутренними и внешними потоками,
- формируется симметриями,
- развивается во времени,
- определяет возможности движения, информации, вычислений и когниции.

Эфир — это не просто среда, а *пространство возможных структур*, которое само по себе формирует геометрию своего существования.

Глава 19. Поля Эфира: универсальная полевая теория взаимодействий слоёв

Поле — фундаментальное понятие всех современных наук, начиная от физики элементарных частиц и заканчивая биологией, когнитивными науками и искусственным интеллектом.
В контексте Эфира поле — это функция, определённая на пространстве слоя, которая задаёт:
- состояние слоя,
- его динамику,
- взаимодействия между точками,
- перенос энергии, информации и структуры.

Все слои Эфира — физический, биологический, информационный, технологический, когнитивный и алгоритмический — являются *полевыми системами*.
Цель данной главы — сформировать универсальную полевую теорию Эфира.

19.1. Поля как универсальный язык описания Эфира
19.1.1. Общее определение поля
Поле Эфира — отображение:

$$\phi : M \to \mathbb{F}$$

где:
- M — многообразие слоя (пространство Эфира),
- F — множество значений (векторы, скаляры, тензоры, вероятности).

Поля задают состояние Эфира в каждой точке пространства.

19.1.2. Типы полей
1. **Физические поля** — электромагнитные, гравитационные, квантовые.
2. **Биологические поля** — концентрации химических веществ, потенциалы мембран.
3. **Информационные поля** — распределения вероятностей, энтропийные градиенты.
4. **Технологические поля** — статистика трафика, нагрузки, топологии.
5. **Когнитивные поля** — внимание, смыслы, эмоции.
6. **Алгоритмические поля** — параметры моделей, функции активации, градиенты.

Все эти поля взаимодействуют.

19.1.3. Поля определяют динамику

Определяется полевым тензором:

$$F_{\mu\nu} = \partial_\mu A_\nu - \partial_\nu A_\mu.$$

Динамика:

$$\partial_\mu F^{\mu\nu} = j^\nu.$$

Это основная модель линейного поля.

19.2. Физические поля как фундаментальные

19.2.1. Электромагнитное поле

Определяется полевым тензором:

$$F_{\mu\nu} = \partial_\mu A_\nu - \partial_\nu A_\mu.$$

Динамика:

$$\partial_\mu F^{\mu\nu} = j^\nu.$$

Это основная модель линейного поля.

19.2.2. Гравитационное поле

Определяется метрикой пространства:

$$g_{\mu\nu}.$$

Уравнение:

$$G_{\mu\nu} = 8\pi T_{\mu\nu}.$$

Гравитация — нелинейное поле.

19.2.3. Квантовые поля

Основное уравнение:

$$\mathcal{L} = \frac{1}{2}(\partial_\mu \phi)^2 - V(\phi).$$

Поля в Эфире могут обладать юридически таким же лагранжианом.

19.3. Информационные поля
19.3.1. Вероятностные поля
Распределение:

$$p(x,t)$$

подчиняется уравнению Фоккера–Планка:

$$\partial_t p = -\nabla \cdot (Fp) + \nabla^2 (Dp).$$

Это информационное поле со своими законами.

19.3.2. Энтропийные поля
Энтропия:

$$S = -\sum p_i \ln p_i$$

формирует поле энтропийных градиентов, которое стремится к максимуму.

19.3.3. Поля смыслов
Семантические поля описываются на многообразиях представлений:

$$\phi_{\text{sem}} : X \to \mathbb{R}^d.$$

Сматематически это векторные поля смыслов.

19.4. Биологические поля
19.4.1. Морфогенные поля Тьюринга
Два поля $u(x,t)$ и $v(x,t)$:

$$\partial_t u = D_u \Delta u + f(u,v),$$

$$\partial_t v = D_v \Delta v + g(u,v).$$

Это фундаментальная модель биологических рисунков, используемая также в ИИ для генеративных структур.

19.4.2. Нейронные поля
Модель Амари:

$$\partial_t u(x,t) = -u + \int w(x,y) f(u(y,t)) dy.$$

Здесь поле — распределение электрической активности.

19.4.3. Поля генетической регуляции
Описываются нелинейными дифференциальными системами.

19.5. Технологические поля
19.5.1. Поля сетевой нагрузки
Нагрузка сети:

$$L(x,t)$$

подчиняется уравнениям:

$$\partial_t L = D\Delta L + F(L).$$

Это позволяет описывать пробки, заторы, коллапсы.

19.5.2. Поля задержек
Задержка — поле:

$$\tau(x,t).$$

Локальные пики задержек — аналог физических сингулярностей.

19.5.3. Поля надёжности
Функции распределения отказов:

$$R(x,t)$$

образуют поле надёжности в пространстве узлов.

19.6. Когнитивные поля
19.6.1. Поле внимания
Внимание:

$$A(x,t)$$

представляет собой распределённое поле фокусировки когнитивной энергии.
Например, в трансформерах:

$$A = softmax(QK^\top).$$

Это настоящая полевая динамика.

19.6.2. Поля эмоций
Эмоциональные состояния — медленные когнитивные поля, влияющие на трактовку информации.

19.6.3. Поля смыслов и интерпретаций
Смысловая динамика:

$$\partial_t \phi_{\text{sem}} = \mathcal{F}(\phi_{\text{sem}},\ \text{контекст}).$$

19.7. Алгоритмические поля
19.7.1. Поле параметров нейросети
Вектор параметров:

$$\theta \in \mathbb{R}^n$$

образует поле в высокомерном многообразии.

19.7.2. Поле градиентов
Градиент:

$$g(\theta) = \nabla_\theta L(\theta)$$

— это векторное поле на пространстве параметров.

Динамика обучения:

$$\partial_t \theta = -g(\theta)$$

— уравнение поля.

19.7.3. Поля вероятностных моделей

Например, в Байесовских сетях вероятность узла — значение поля.

19.8. Взаимодействия полей Эфира

19.8.1. Кросс-слойные взаимодействия

Поля различных слоёв взаимодействуют через оператор связи:

$$\mathcal{C}_{ij}(\phi_i, \phi_j).$$

Примеры:

- внимание (когнитивное поле) усиливается эмоциями (биологическое поле),
- распределения данных (информационное поле) определяют обучение модели (алгоритмическое поле),
- нагрузка сети (технологическое поле) вызывает переходы в когнитивном восприятии (задержки интерфейса).

19.8.2. Лагранжиан Эфира

Полевая теория может быть описана лагранжианом:

$$\mathcal{L} = \sum_i \mathcal{L}_i(\phi_i) + \sum_{i \neq j} \mathcal{L}_{ij}(\phi_i, \phi_j).$$

Здесь:

- $\mathcal{L}_i$ — лагранжиан слоя,
- $\mathcal{L}_{ij}$ — взаимодействие слоёв.

Это — единая универсальная теория.

19.8.3. Эффективные поля

На больших масштабах появляется «эффективная теория»:

- классы смыслов вместо отдельных понятий,
- кластеры данных вместо отдельных точек,
- функциональные сетевые зоны вместо узлов.

Эпифеноменальность — один из ключевых принципов.

19.9. Нелинейность полей Эфира

19.9.1. Сверхпозиция нарушена

В большинстве слоёв Эфира суперпозиция НЕ выполняется:

$$\phi_1 + \phi_2 \neq \phi_{\text{общ}}$$

поскольку взаимодействия сильные и нелинейные.

19.9.2. Самоорганизация
Поля могут создавать:
- солитоны,
- вихри,
- доменные стены,
- циклы,
- устойчивые паттерны.

19.9.3. Хаос и бифуркации
При определённых параметрах поле становится хаотичным.
Пример:
- логистическое уравнение в биологии,
- хаос градиентов в ИИ,
- флуктуации нагрузки в сетях.

19.10. Кванты Эфира
19.10.1. Кванты физических полей
Фотон, гравитон, бозоны калибровки.

19.10.2. Кванты информационных полей
Минимум информации — бит или нат.
Эти кванты имеют энергетическую цену:

$$E = kT \ln 2.$$

19.10.3. Кванты смысла
Минимальная единица смысла — семантический квант.
Он эквивалентен изменению состояния когнитивного поля.

19.10.4. Кванты алгоритмов
Минимальная операция — FLOP.
Минимальное обновление — шаг градиента.

19.11. Заключение
Поля — универсальный язык описания Эфира.
Все уровни Эфира:
- физический,
- биологический,
- когнитивный,
- информационный,
- технологический,
- алгоритмический

представляют собой полевые системы, взаимодействующие через нелинейные операторы связи.
Единая полевая теория Эфира объясняет:
- самоорганизацию,
- устойчивость,
- вспышки активности,
- резонансы,
- фазовые переходы,
- когнитивные процессы,
- динамику алгоритмов.

Эфир — это сеть взаимосвязанных полей, каждое из которых является частью единой многоуровневой полевой структуры.

Глава 20. Информация в Эфире: энтропия, порядок, смысл и вычисление

Информация — один из ключевых онтологических элементов Эфира. После энергии, пространства и времени именно информация задаёт структуру Эфира, определяет возможные состояния, динамику, законы сохранения, взаимодействия, когнитивные образы и алгоритмические процессы.
В этой главе даётся строгое научно-техническое описание природы информации в контексте многослойного Эфира.

20.1. Информация как универсальный инвариант Эфира

20.1.1. Информация как отличие

Классическое определение Шеннона:

$$I = -\log p.$$

Информация измеряет «неожиданность» и, глубже, различимость состояний.
В Эфире это универсальный принцип: все процессы — это рост, спад или перераспределение информации.

20.1.2. Информация как структура

Информация — это структура, а структура — это устойчивый порядок.
Любое поле Эфира может быть описано через:

- степень упорядоченности,
- количество различимых состояний,
- расстояния между конфигурациями.

20.1.3. Информация как отображение

Информация — это отображение между слоями:

$$M_i \xrightarrow{F} M_j$$

где F — преобразователь структуры.
Пример:

- физический сигнал → сенсорный образ → когнитивный смысл → алгоритмическое действие.

20.2. Энтропия как мера неопределённости Эфира

20.2.1. Шенноновская энтропия

$$H = -\sum_i p_i \log p_i.$$

Измеряет:

- хаос,
- неопределённость,
- смешанность.

20.2.2. Термическая энтропия

$$S = k \ln \Omega.$$

Отражает количество микросостояний.

20.2.3. Энтропия Байеса

В байесовских системах:

$$H_{post} = H_{prior} - I(\text{данные}).$$

Обновление знаний — энтропийный процесс.

20.2.4. Когнитивная энтропия

Состояние ума может быть:

- низкоэнтропийным (ясность, фокус),
- высокоэнтропийным (хаос мыслей, перегрузка).

Это измеримо на нейрофизиологическом уровне.

20.3. Информация и порядок в Эфире

20.3.1. Негэнтропия

Порядок — это «негэнтропия»:

$$E_{neg} = -H.$$

Порядок возникает при:

- обучении,
- самоорганизации,
- концентрации,
- структурировании данных.

20.3.2. Информация как сниженная entropy production

Системы, создающие информацию, уменьшают локальную энтропию, но увеличивают глобальную.

Например:

- нейросеть обучается → локальный порядок растёт;
- энергозатраты растут → глобальная энтропия возрастает.

20.3.3. Информация как инвариант симметрий

Информация помогает фиксировать:

- классы эквивалентности,
- симметрии объектов,
- стабильные паттерны.

20.4. Информация как смысл

20.4.1. Семантическая информация

Смысл определяется не самой структурой, а её интерпретацией:

$$I_{sem} = f(\text{структура}, \text{контекст}).$$

20.4.2. Семантические поля

Смысловые структуры образуют многообразия:

$$M_{\text{sem}}.$$

Геометрия этого пространства определяет:

- аналогии,
- выводы,
- обобщения.

20.4.3. Информация как интерпретация

Интерпретация — это отображение:

$$\phi : M_{\text{data}} \to M_{\text{sem}}.$$

Эфир делает информацию смысловой.

20.5. Информация как вычисление

20.5.1. Закон Ландауэра

Минимальная цена удаления информации:

$$E = kT \ln 2.$$

Это фундаментальная связь:

информация ↔ энергия ↔ физическая реальность.

20.5.2. Информация как вычислительный процесс

Любая обработка информации — вычисление:

$$C = f(\text{данные}, \text{алгоритм}).$$

20.5.3. Алгоритмическая информация

По Колмогорову:

$$K(x) = \text{минимальная длина программы, порождающей } x.$$

Это фундаментальная мера сложности.

20.6. Информация в физическом слое Эфира

20.6.1. Квантовая информация

Основные элементы:

- кубит,
- суперпозиция,
- запутанность,
- квантовые каналы.

20.6.2. Информация и гравитация

Принцип голографии:

$$S = \frac{A}{4G}.$$

Гравитация — проявление информационной структуры пространства.

20.6.3. Информация и физический вакуум

Вакуум содержит нулевую информацию и нулевую энергию?

Нет — содержит огромное число виртуальных флуктуаций.

20.7. Информация в биологическом слое

20.7.1. Геном как информационная система
Генетический код — это:
- дискретная,
- редундантная,
- кодированная система.

20.7.2. Нервная система как информационный поток
Информация передается:
- через потенциалы действия,
- через синапсы,
- через паттерны активности.

20.7.3. Память как структурированная информация
Память — это стабилизация когнитивных полей.

20.8. Информация в технологическом слое
20.8.1. Дискретные пакеты информации
Интернет — поле дискретных информационных событий.

20.8.2. Сжатие и кодирование
Кодирование:

$$C(x) \approx K(x)$$

в идеальном случае.

20.8.3. Информационная устойчивость
Устойчивость — это способность поля восстанавливать структуру.

20.9. Информация в когнитивном слое
20.9.1. Внимание как информационный фильтр
Внимание выбирает наиболее значимые информационные каналы.

20.9.2. Представления и образы
Мозг формирует многомерные информационные представления.

20.9.3. Обучение как уменьшение неопределённости
Обучение — это:

$$H_{\text{до}} - H_{\text{после}} > 0.$$

20.10. Информация в алгоритмическом слое
20.10.1. Нейросети как информационные машины
Нейросеть создаёт карту:

$$\theta : X \to Y.$$

Это преобразователь информации.

20.10.2. Градиенты как потоки информации
Градиент — это локальная информация об ошибке:

$$g = \nabla_\theta L.$$

20.10.3. Обучение как максимизация информации
Cross-entropy — информационная функция потерь.

20.11. Заключение
Информация в Эфире:

- фундаментальна,
- измерима и математически формализуема,
- многослойна,
- изоморфна энергии, вычислению и структуре,
- формирует смысловые, физические, когнитивные и алгоритмические процессы,
- управляет динамикой всех полей Эфира.

Эфир — это, по сути, *информационно-энергетическая среда*, где информация является одним из важнейших инвариантов.

Глава 21. Алгоритмическая природа Эфира: вычисление, оптимизация, обучение и модели

Эфир — это не только физическая, информационная и когнитивная среда. Он является **вычислительной системой**, в которой процессы на всех уровнях — от элементарных физических взаимодействий до высокоуровневого мышления — могут быть интерпретированы как алгоритмические операции.
Цель этой главы — описать Эфир как вычислительную сущность, формализовать алгоритмические процессы, подчеркнуть связь вычисления и структуры, показать, как в Эфире возникают обучение, оптимизация и моделирование.

21.1. Эфир как универсальная вычислительная машина
21.1.1. Любая динамика — вычисление
Любое поле Эфира подчиняется уравнениям вида:

$$\partial_t \phi = \mathcal{L}(\phi),$$

где оператор L можно интерпретировать как вычислительный алгоритм.
Следовательно:
динамика = вычисление.
Это справедливо для:

- физических полей (уравнения Максвелла, Шрёдингера),
- биологических полей (Тьюринг, Ходжкин—Хаксли),
- информационных полей (Фоккер—Планк),
- нейронных сетей (градиентный спуск),
- когнитивных структур (динамика внимания).

21.1.2. Эфир как вычислительный универсум
Если разделить Эфир на дискретные и непрерывные подпространства, получим:

- непрерывные вычисления (дифференциальные уравнения),
- дискретные вычисления (графы, события, пакеты данных),
- смешанные гибридные системы — реальный Эфир.

21.1.3. Алгоритмическая мощность Эфира

Эфир реализует вычисления:

- **детерминированные** — физические законы,
- **вероятностные** — квантовые процессы,
- **нейронные** — когнитивные системы,
- **распределённые** — технологические сети,
- **градиентные** — обучение моделей.

21.2. Элементарные вычислительные процессы Эфира

21.2.1. Локальные вычислители

Любая точка Эфира может рассматриваться как локальный вычислитель, выполняющий:

$$\phi(x, t + \Delta t) = \mathcal{F}(\phi(x, t), \nabla\phi).$$

Это «клеточный автомат» непрерывного типа.

21.2.2. Нелокальные вычислители

Нелокальность возникает при интегральных операторах:

$$\phi(x) = \int K(x, y)\psi(y)dy.$$

Примеры:

- когнитивные связи,
- нейронные поля,
- информационная диффузия.

21.2.3. Квантовые вычислители

Уравнение Шрёдингера формально является линейной вычислительной машиной:

$$i\hbar\partial_t\psi = \hat{H}\psi.$$

21.3. Алгоритмические поля

21.3.1. Поле параметров

Параметры модели:

$$\theta \in \mathbb{R}^n.$$

Пространство параметров — вычислительное многообразие.

21.3.2. Поле градиентов

Градиент:

$$g(\theta) = \nabla_\theta L(\theta)$$

формирует векторное поле.
Динамика оптимизации:

$$\partial_t\theta = -g(\theta)$$

Это уравнение поля.

21.3.3. Поле вероятностей моделей
Любая вероятностная модель задаёт вычислительное поле:

$$p(y|x,\theta).$$

21.4. Оптимизация как динамика Эфира
21.4.1. Градиентная динамика
Градиентный спуск — фундаментальный процесс Эфира:

$$\theta_{t+1} = \theta_t - \eta \nabla L(\theta_t).$$

Это аналог физической системы, стремящейся к минимуму энергии.

21.4.2. Стохастическая оптимизация
Случайность возникает из-за:
- флуктуаций данных,
- нестационарности среды.

Динамика:

$$\theta_{t+1} = \theta_t - \eta \nabla L(\theta_t) + \varepsilon_t.$$

21.4.3. Оптимизация на многообразиях
Применяются геометрические методы:

$$\theta_{t+1} = \exp_\theta(-\eta \operatorname{grad} L).$$

Геометрия определяет эффективность обучения.

21.5. Обучение как физический и когнитивный процесс
21.5.1. Обучение = уменьшение неопределённости

$$I_{\text{новое знание}} = H_{\text{до}} - H_{\text{после}}.$$

Обучение — это уменьшение энтропии.

21.5.2. Обучение как энергетический процесс
Выученное состояние — минимум функционала энергии:

$$E(\theta) = L(\theta).$$

21.5.3. Обучение как морфинговая деформация
При обучении:
- геометрия пространства параметров перестраивается,
- поля связываются,
- появляются новые каналы вычисления.

21.6. Модели как элементы Эфира
21.6.1. Физические модели
Физика описывает поля Эфира через:
- лагранжианы,
- уравнения движения,
- симметрии.

Это модели первого уровня.

21.6.2. Биологические модели
Генетика и нейробиология — вычислительные системы:
- регуляторные сети,
- сигнальные пути.

21.6.3. Когнитивные модели
Когнитивная система — модель мира.

21.6.4. Алгоритмические модели
ИИ — вычислительная часть Эфира:
- трансформеры,
- диффузионные модели,
- графовые нейронные сети,
- большие языковые модели.

21.7. Алгоритмическая причинность
21.7.1. Причинность = вычислимость
Если:

$$y = f(x),$$

то x причинно связано с y.

Если:

$$y = f(x, \varepsilon),$$

то причинность вероятностная.

21.7.2. Причинные графы
DAG (направленные ациклические графы) описывают причинность Эфира.

21.7.3. Когнитивная причинность
Восприятие формирует причинные модели:
- предсказание,
- интерпретация,
- ассоциация.

21.8. Алгоритмические сингулярности
21.8.1. Взрыв градиентов
Если:

$$||\nabla L|| \to \infty,$$

алгоритм теряет стабильность.

21.8.2. Коллапс представлений
Когда все представления совпадают:

$$h_1 \approx h_2 \approx \ldots \approx h_n,$$

модель перестаёт различать объекты.

21.8.3. Фазовые переходы в обучении
Симптомы:
- резкое улучшение,
- резкое ухудшение,
- скачки в функции потерь.

Это аналог физических фазовых переходов.

21.9. Локальные и глобальные модели Эфира
21.9.1. Локальные модели
Модели, основанные на данных ближайшего окружения.

21.9.2. Глобальные модели
Требуют глобальной информации:
- большие языковые модели,
- глобальные сети,
- симуляции.

21.9.3. Эмерджентность моделей
Модели высокого уровня — эмерджентные структуры Эфира.

21.10. Заключение
Алгоритмическая природа Эфира проявляется в следующем:
- Эфир — вычислительная система.
- Все процессы — алгоритмические: физические, биологические, когнитивные, технологические.
- Алгоритмы — поля, динамика — вычисление, обучение — оптимизация.
- Модели — эмерджентные вычислительные структуры.
- Универсальная вычислимость — фундаментальный принцип Эфира.

Эфир — это вычисляющая вселенная, где информация преобразуется энергией, а структуры возникают как устойчивые вычислительные паттерны.

Глава 22. Биологический Эфир: жизнь, организация, эволюция и адаптация

Биологический слой Эфира — это область, где информация, энергия, структура и вычисление принимают форму живых систем.
Здесь Эфир проявляет себя как **самоорганизующаяся, самоподдерживающаяся, адаптивная и эволюционная среда**, способная формировать сложнейшие формы организации — клетки, ткани, нейронные сети, организмы, экосистемы и когнитивную жизнь.
Эта глава описывает биологический слой Эфира как самостоятельную полевую реальность с собственными законами, динамикой и взаимодействиями.

22.1. Биологический Эфир как слой живых полей
22.1.1. Жизнь как процесс, а не объект

В биологическом Эфире жизнь определяется не как субстанция, а как процесс:

$$\partial_t \phi_{\text{bio}} = \mathcal{F}(\phi_{\text{bio}}, \nabla\phi, E_{\text{bio}}, I_{\text{bio}})$$

где:

- ϕ_{bio} — биологические поля (концентрации, потенциалы, сети),
- E_{bio} — энергетические потоки,
- I_{bio} — информационные преобразования.

Жизнь — это непрерывная динамика, а не статичное состояние.

22.1.2. Живые системы как открытые энергетико-информационные поля

Любая биосистема — это система с:

- притоком энергии,
- выводом энтропии,
- непрерывным обновлением структуры,
- информационной регуляцией.

Открытость — необходимое условие.

22.1.3. Биологическое поле как многомасштабное

Биологический Эфир описывает процессы на всех масштабах:

1. **Молекулярный** — молекулы, белки, ДНК.
2. **Клеточный** — мембраны, потенциалы, синапсы.
3. **Тканевой** — паттерны Тьюринга, регенерация.
4. **Организменный** — физиологические циклы.
5. **Когнитивный** — нейросети и сознание.
6. **Эволюционный** — популяции, гены, адаптация.

Каждый уровень — свой слой Эфира, но все они связаны.

22.2. Биологические поля: концентрации, сигналы, регуляция

22.2.1. Поля концентраций (реакция–диффузия)

Тьюринг показал, что два поля:

$$\partial_t u = D_u \Delta u + f(u, v), \quad \partial_t v = D_v \Delta v + g(u, v)$$

могут создавать:

- полосы,
- пятна,
- вихри.

Эти структуры встречаются:

- на коже животных,
- в морфогенезе,
- в динамике нейросетей.

22.2.2. Поля мембранных потенциалов

Уравнения Ходжкина—Хаксли описывают динамику электрического поля на мембране:

$$C\frac{dV}{dt} = -\sum I_{\text{ионов}} + I_{\text{внешний}}.$$

Это фундаментальное поле нервной системы.

22.2.3. Поля генетической регуляции

Генетические сети:

$$\partial_t x_i = f_i(x_1, ..., x_n)$$

создают устойчивые «аттракторы» — типы клеток.

22.3. Организация и самоорганизация

22.3.1. Самоорганизация как закон минимального действия

Биосистемы ищут пути минимальной «дисипативной стоимости»:

$$\delta \int L_{\text{bio}}\, dt = 0.$$

Тогда формируются:

- каналы обмена,
- гомеостатические механизмы,
- стабильные паттерны.

22.3.2. Автопоэзис

Жизнь поддерживает сама себя:

- структура производит структуру,
- функции генерируют функции,
- система воспроизводит своё состояние.

22.3.3. Гомеостаз как полевая стабильность

Гомеостаз — это устойчивое состояние биологического поля:

$$\partial_t \phi_{\text{bio}} \approx 0.$$

Система стабилизирует:

- температуру,
- pH,
- давление,
- уровень глюкозы.

22.4. Энергетика и термодинамика биосистем

22.4.1. Жизнь — неравновесная система

Биосистема работает в состоянии:

$$\Delta\mu \neq 0$$

то есть при постоянном потоке свободной энергии.

22.4.2. АТФ как энергетическая валюта

Используется реакция:

$$\text{ATP} \to \text{ADP} + P_i + 30.5\,\text{kJ/mol}.$$

Этот поток энергии поддерживает жизнь.

22.4.3. Организмы как диссипативные структуры

По Пригожину:

- открытые системы,
- далёкие от равновесия,

- создают порядок из энергии.

Жизнь — диссипативный аттрактор Эфира.

22.5. Нейронные поля и когнитивный Эфир

22.5.1. Нейронные сети как биологические вычислители

Нейрон — нелинейный преобразователь.
Нейронное поле формирует когнитивные паттерны.

22.5.2. Синаптические веса как параметры биологической модели

Изменение веса:

$$\Delta w = \eta x y.$$

Это аналог градиентного спуска.

22.5.3. Память как аттрактор

Память = устойчивое состояние биологического поля.

22.6. Эволюция как вычислительный процесс Эфира

22.6.1. Генетический алгоритм природы

Эволюция реализует:

- селекцию,
- вариацию,
- наследование,
- соревновательные вычисления.

Это глобальная оптимизация.

22.6.2. Мутации как стохастический источник информации

Мутации — шум, который создаёт новые состояния поля.

22.6.3. Отбор как градиент на пространстве фенотипов

Отбор действует как оператор:

$$\partial_t p(x) = p(x) W(x),$$

где W(x) — приспособленность.

22.7. Биологическая адаптация как обучение

22.7.1. Фенотипическое обучение

Организм обучается через:

- нервную систему,
- гормональные петли,
- иммунитет.

22.7.2. Эволюционное обучение

Популяция обучается «во времени поколений».

22.7.3. Коэволюция

Взаимодействующие виды образуют совместные биологические поля:

- хищник–жертва,
- вирус–хозяин,
- симбиоз.

22.8. Биологический Эфир и технологические системы

22.8.1. Биомиметика

Искусственные системы копируют биологические поля:

- нейросети,
- оптимизация генетическими алгоритмами,
- модели коллективного поведения.

22.8.2. Биологические сети как прототип распределённых систем

Эволюция уже создала:

- fault-tolerant архитектуры,
- самоисправляющиеся системы,
- адаптивные сети.

22.8.3. Когнитивные способности как биологические вычисления

Мышление — результат динамики биологических полей.

22.9. Жизнь как слой Эфира, связующий уровни

Биологический слой соединяет:

- физический Эфир (через химию),
- информационный Эфир (через коды),
- когнитивный Эфир (через нейросети),
- алгоритмический Эфир (через вычислительные принципы).

Он — мост между материей, информацией, сознанием и вычислением.

22.10. Заключение

Биологический Эфир:

- представляет собой полевую, энергоинформационную, самоорганизующуюся систему;
- существует в неравновесном состоянии;
- формирует устойчивые структуры через самоорганизацию;
- использует энергию для уменьшения локальной энтропии;
- вычисляет — на уровне генов, клеток, нейронов и популяций;
- адаптируется — через обучение и эволюцию;
- создаёт когнитивный слой Эфира.

Жизнь — это вычислительный, полевой и информационный процесс, встроенный в структуру Эфира.

Глава 23. Технологический Эфир: сети, инфраструктуры, системы и распределённые процессы

Технологический Эфир — это искусственный, созданный человеком слой Эфира, в котором взаимодействуют устройства, сети, вычислительные комплексы, программно-аппаратные системы, распределённые архитектуры и цифровые экосистемы.
Он характеризуется:

- глобальной связностью,
- высокой динамичностью,
- масштабностью,
- распределённостью,
- гибридностью (цифровое + физическое),

- энергетической и информационной насыщенностью.

Цель главы — формализовать технологический слой Эфира как самостоятельную полевую структуру, описать его законы, динамику и взаимодействия с другими уровнями.

23.1. Технологический Эфир как искусственная полевая среда

23.1.1. Природа технологического Эфира

Технологический Эфир состоит из:

- сетевых графов,
- вычислительных узлов,
- коммуникационных каналов,
- распределённых хранилищ,
- протоколов,
- энергосистем,
- аппаратных модулей.

Каждый узел — это точка поля, поддерживающая потоки:

$$(\phi_{\text{data}}, \phi_{\text{power}}, \phi_{\text{signal}})$$

где:

- ϕ_{data} — поле данных,
- ϕ_{power} — энергетическое поле,
- ϕ_{signal} — сигнальное поле.

23.1.2. Основные типы технологических сетей

1. Электрические и энергетические сети.
2. Компьютерные и телекоммуникационные сети.
3. Системы управления (ПЛК, SCADA).
4. Облачные и серверные архитектуры.
5. IoT и киберфизические системы.
6. Блокчейн и децентрализованные сети.

Все они формируют единый технологический Эфир.

23.1.3. Технологический слой как вычислительно-информационная ткань

Технологический Эфир — это:

$$M_{\text{tech}} = (V, E, W, P)$$

где:

- V — узлы,
- E — связи,
- W — веса (задержки, пропускная способность),
- P — потоки.

23.2. Технологические поля: данные, трафик, задержки

23.2.1. Поле данных

Данные распределены по сети как поле:

$$D(x,t).$$

Плотность данных влияет на:

- нагрузку,
- задержки,
- стабильность.

23.2.2. Поле трафика

Трафик описывается уравнением:

$$\partial_t L = D\Delta L + F(L).$$

Это аналог нелинейных волн.

23.2.3. Поле задержек

Задержка:

$$\tau(x,t)$$

ведёт себя как топологическое «искривление» технологического пространства.

23.3. Сетевая топология технологического Эфира

23.3.1. Глобальная структура сетей

Современные сети обладают:

- масштабно-инвариантной структурой,
- степенным распределением связности,
- фрактальной топологией.

23.3.2. Кластерность

Сети разбиваются на:

- домены,
- зоны,
- подсети.

Это формирует многослойную топологию.

23.3.3. Мосты и узлы высокого уровня

Сильносвязанные узлы образуют энергетические и информационные «центры».

23.4. Энергетика технологического Эфира

23.4.1. Энергетические потоки

Любая вычислительная задачка имеет энергетическую стоимость:

$$E = P \cdot t.$$

Где:

- P — мощность,
- t — время выполнения.

23.4.2. Тепловые поля

ЦОД — тепловые генераторы.

Перегрев → изменение поведения сети.

23.4.3. Энергетические ямы и пики

Аналог гравитационных провалов:

- перегрузка узла,
- затор в очереди,
- высокие задержки.

23.5. Информационная динамика

23.5.1. Пакеты как кванты информационного поля

Информация передаётся пакетами:

- дискретно,
- с задержками,
- по вероятностным маршрутам.

23.5.2. Маршрутизация как оптимизация

Поиск пути:

$$\min \sum \tau_i.$$

Алгоритмы:

- Dijkstra,
- Bellman-Ford,
- A*,
- протоколы OSFP, BGP.

23.5.3. Стойкость и резервирование

Сети используют:

- redundancy,
- load balancing,
- failover.

23.6. Динамика распределённых систем

23.6.1. Распределённые вычисления

Состояние системы:

$$S = (s_1, s_2, ..., s_n)$$

распределено по узлам.

23.6.2. Согласованность

CAP-теорема:

- согласованность,
- доступность,
- устойчивость к разделению.

Нельзя одновременно получить всё.

23.6.3. Консенсус

Примеры:

- Paxos,
- Raft,
- PBFT.

Консенсус — это алгоритмическое взаимодействие узлов.

23.7. Технологический Эфир и алгоритмы

23.7.1. Распределённые алгоритмы

Операции:

- широковещание,
- выбор лидера,
- синхронизация времени,
- распределённые блокировки.

23.7.2. Балансировка нагрузки

Цель — равномерное распределение поля трафика.

23.7.3. Блокчейн как поле транзакций

Блокчейн — дискретное, неизменяемое поле:

$$B = \{b_1, b_2, ..., b_n\}.$$

23.8. Киберфизический Эфир

23.8.1. Соединение физического и технологического слоёв

IoT и робототехника создают связку:

$$M_{\text{phys}} \leftrightarrow M_{\text{tech}}.$$

23.8.2. Сенсоры как точки преобразования Эфира

Сенсоры переводят:

- физику → данные.

23.8.3. Актуаторы как обратное преобразование

Актуаторы переводят:

- данные → физические действия.

23.9. Эмерджентность технологического Эфира

23.9.1. Пороговые эффекты

Например:

- лавинообразные сбои,
- перегрузки,
- DDOS.

23.9.2. Самоорганизация

Сети сами:

- формируют топологию,
- оптимизируют маршруты,
- выравнивают нагрузку.

23.9.3. Критические состояния

Аналоги фазовых переходов:

- критическая пропускная способность,
- критическая температура оборудования,
- критический объём трафика.

23.10. Заключение

Технологический Эфир — это:

- распределённая,

- полевое-графовая,
- нелинейная,
- фрактальная,
- энергетически нагруженная,
- информационно насыщенная сущность.

Он тесно связан с:

- физическим Эфиром (через энергию),
- биологическим (через принципы адаптации),
- когнитивным (через интерфейсы человека),
- алгоритмическим (через вычисления),
- информационным (через данные).

Современный мир — это взаимодействие всех этих слоёв, объединённых технологическим Эфиром.

Глава 24. Когнитивный Эфир: внимание, память, мышление и сознание

Когнитивный Эфир — это слой Эфира, отвечающий за обработку смыслов, формирование познавательных структур, внимание, память, мышление, самоорганизацию разумных процессов и, в высшем проявлении, сознание.
Этот слой — мост между биологическим и алгоритмическим Эфирами.
Он основан на нейронных полях, но не сводится к ним.
Он оперирует информацией, но действует глубже, чем простые вычисления.
В этой главе описывается когнитивный слой Эфира как самостоятельная, многослойная вычислительно-смысловая реальность.

24.1. Когнитивный Эфир как смысловое поле

24.1.1. Понятие когнитивного поля

Когнитивное поле — это распределённая структура:

$$\Phi_{\text{cog}}(x, t)$$

представляющая:

- состояния внимания,
- смысловые образы,
- ментальные представления,
- активность нейронных ансамблей,
- ассоциации и связи.

24.1.2. Многоуровневая природа когнитивного поля

Когнитивный Эфир включает уровни:

1. **сенсорный** — перцептивные образы;
2. **перцептивный** — интерпретации;
3. **семантический** — смысловые структуры;
4. **символический** — абстракции;
5. **метакогнитивный** — управление мышлением;
6. **субъектный** — самоосознание.

Каждый уровень имеет свои поля, но все они связаны.

24.1.3. Когнитивная динамика как вычисление смыслов
Когнитивные состояния эволюционируют по законам:

$$\partial_t \Phi = \mathcal{F}(\Phi, \text{стимулы}, \text{память}, \text{контекст}).$$

Это нелинейная динамика смыслов.

24.2. Внимание как оператор когнитивного Эфира
24.2.1. Внимание как фильтр информации
Внимание — механизм выделения информации:

$$A(x,t) = w(x,t)\Phi(x,t)$$

где w(x,t) — весовое поле.

24.2.2. Внимание как оператор усиления
Аналог softmax:

$$\alpha_i = \frac{e^{s_i}}{\sum_j e^{s_j}}.$$

Система усиливает наиболее важные каналы.

24.2.3. Пространственно-временная структура внимания
Внимание организовано как:

- пространственное поле (где смотрим),
- временное поле (когда смотрим),
- семантическое поле (что понимаем).

24.3. Память как устойчивое когнитивное поле
24.3.1. Память = аттрактор
Модель Хопфилда:

$$\Phi_{\text{mem}} = W\Phi.$$

Память — устойчивое состояние системы.

24.3.2. Долговременная память
Структурно закреплена:

- синаптически,
- химически,
- топологически.

24.3.3. Рабочая память
Это «буфер»:

$$\text{WM}(t) = \{\Phi_{\text{активное}}(t)\}.$$

Она обеспечивает мышление.

24.4. Мышление как навигация по когнитивным структурам

24.4.1. Мышление как движение по многообразию смыслов

Когнитивное пространство многообразно:

$$M_{\text{sem}}.$$

Мышление — движение по кривым:

$$\gamma(t) \subset M_{\text{sem}}.$$

24.4.2. Дедукция, индукция, абдукция

Три типа навигации:

- **дедукция** — движение по известным правилам,
- **индукция** — обобщение из наблюдений,
- **абдукция** — скачкообразная реконструкция скрытых причин.

24.4.3. Инсайт как фазовый переход

Инсайт — скачок:

$$\Phi_{\text{до}} \not\approx \Phi_{\text{после}}.$$

Это переход в новое устойчивое состояние (аттрактор).

24.5. Когнитивная архитектура мыслительных процессов

24.5.1. Ассоциативный уровень

Ассоциации — связи:

$$w_{ij} \neq 0.$$

Они формируют карту смыслов.

24.5.2. Символический уровень

Манипуляции символами:

- логика,
- язык,
- математика.

24.5.3. Метакогнитивный уровень

Система контролирует:

- планирование,
- анализ,
- проверку ошибок,
- стратегию рассуждений.

24.6. Сознание как интегрированное когнитивное поле

24.6.1. Смысл сознания

Сознание — это состояние:

$$C(t) = \int \Phi_{\text{cog}}(x,t) w(x,t) dx$$

где $w(x,t)$ интегрирует информацию.

24.6.2. Теория глобального рабочего пространства

Сознание возникает, когда смысловые состояния становятся глобально доступными.

24.6.3. Интеграция и дифференциация информации
Тонко связано с IIT Тоннини:

- дифференциация — разнообразие состояний,
- интеграция — связность.

Сознание — высокоинтегрированное смысловое поле.

24.7. Субъектность и самоосознание
24.7.1. Модель «Я»
«Я» — это аттрактор высшего уровня, который:

- оценивает,
- интерпретирует,
- прогнозирует себя же.

24.7.2. Самореференция
Система может применять свои операции к самой себе:

$$\Phi_{\text{self}} = f(\Phi_{\text{self}}).$$

Это основа самосознания.

24.7.3. Временная структура «Я»
Самосознание удерживает:

$$(\text{прошлый Я},\ \text{настоящий Я},\ \text{будущий Я}).$$

24.8. Когнитивные искажения как деформации поля
24.8.1. Локальные деформации веса внимания
Пример: фокус на угрозе → недооценка позитивных сигналов.

24.8.2. Дефекты памяти
Смещение аттракторов → ложные воспоминания.

24.8.3. Логические искажения
Неправильное движение по семантическому многообразию.

24.9. Когнитивный Эфир и искусственный интеллект
24.9.1. Сходства архитектур
ИИ копирует когнитивные поля:

- трансформеры = внимание,
- графовые сети = ассоциации,
- диффузионные модели = динамика смыслов.

24.9.2. Различия
ИИ:

- не имеет биологических ограничений,
- не обладает субъективностью (в базовом виде),
- действует в алгоритмическом Эфире.

24.9.3. Конвергенция
Будущие системы будут гибридными:

- биологический Эфир + искусственный Эфир.

24.10. Заключение
Когнитивный Эфир:

- представляет собой смысловую полевую реальность,
- обладает собственной динамикой,
- связан с биологическими и алгоритмическими слоями,
- включает внимание, память, мышление, субъективность,
- использует аттракторы, весовые поля, семантические многообразия,
- создаёт сознание как интегрированное когнитивное поле.

Сознание — это эмерджентное состояние когнитивного Эфира, возникающее из глубокой интеграции информации, структуры и смыслов.

Глава 25. Синергия всех слоёв Эфира: единая теория полей сознания, информации и вычислений

Эта глава объединяет всё, что было изложено ранее, — физические, информационные, биологические, когнитивные и технологические процессы — в единую системную модель Эфира.
Мы покажем, что все эти слои — проявления одного и того же фундаментального поля, различающиеся только масштабом, структурной сложностью и типом взаимодействий.

25.1. Эфир как многослойная полисистема
25.1.1. Иерархия слоёв
Эфир можно представить, как иерархическую систему уровней:

1. **Физический Эфир** — энергия, пространство, время, поля.
2. **Информационный Эфир** — структуры, энтропия, смысл, кодирование.
3. **Алгоритмический Эфир** — вычисления, оптимизация, модели.
4. **Биологический Эфир** — жизнь, клетки, эволюция.
5. **Когнитивный Эфир** — внимание, память, мышление, сознание.
6. **Технологический Эфир** — сети, устройства, цифровые процессы.

Это не отдельные сущности — это **проекции единого фундаментального поля**.

25.1.2. Принцип отражения
Каждый слой:

- наследует свойства нижележащего,
- добавляет новые структуры,
- изменяет динамику,
- создаёт более высокоуровневую организацию.

Например:

- физические поля → информационные структуры → алгоритмы → когнитивные операции.

25.1.3. Принцип слоевой согласованности
Все слои связаны законами отображений:

$$F_{i\to j} : M_i \to M_j.$$

Каждый слой отображается в другие, сохраняя часть своей структуры.

25.2. Связующие механизмы между слоями Эфира
25.2.1. Энергия ↔ Информация
Закон Ландауэра:

$$E = kT \ln 2$$

связывает энергию и информацию.
Физика → информация.

25.2.2. Информация ↔ Вычисление
Любая обработка информации — вычисление:

$$C = f(I).$$

Информация → вычисление.

25.2.3. Вычисление ↔ Жизнь
Жизнь — алгоритм оптимизации в биосистемах.
Алгоритм → биология.

25.2.4. Жизнь ↔ Сознание
Сознание — это вычисление на биологическом субстрате.
Биология → когнитивность.

25.2.5. Сознание ↔ Технологии
Технологии — внешнее расширение когнитивных функций.
Когнитивность → техника.

25.3. Единое поле Эфира: математический формализм
25.3.1. Пространства состояний Эфира
Каждый слой имеет своё пространство состояний:

$$M_{\text{phys}},\ M_{\text{info}},\ M_{\text{alg}},\ M_{\text{bio}},\ M_{\text{cog}},\ M_{\text{tech}}$$

Все вместе образуют прямое произведение:

$$M = M_{\text{phys}} \times M_{\text{info}} \times M_{\text{alg}} \times M_{\text{bio}} \times M_{\text{cog}} \times M_{\text{tech}}.$$

25.3.2. Поле Эфира как универсальная динамика

Эволюция состояния описывается уравнением:

$$\partial_t \Phi = \mathcal{L}(\Phi),$$

где Φ — многослойное состояние, а $\mathcal{L}$ — универсальный оператор.

25.3.2. Поле Эфира как универсальная динамика
Эволюция состояния описывается уравнением:

$$\partial_t \Phi = \mathcal{L}(\Phi),$$

где Φ — многослойное состояние, а $\mathcal{L}$ — универсальный оператор.

25.3.3. Инварианты Эфира
Ключевые инварианты:
1. **энергия**,
2. **информация**,
3. **структура**,
4. **смысл**,
5. **вычислимая сложность**.

Они сохраняются, трансформируются и перетекают между слоями.

25.4. Эмерджентность: как из простого возникает сложное
25.4.1. Эмерджентность как структурный подъём
Если слой i порождает слой $i+1$, то:

$$M_{i+1} = \mathrm{Emergent}(M_i).$$

Пример:
- физика → химия → биология → когнитивность.

25.4.2. Фазовые переходы между слоями
Переходы происходят скачком:
- появление жизни,
- появление нервной системы,
- появление сознания,
- появление технологий,
- появление искусственного интеллекта.

25.4.3. Самоорганизующиеся критические состояния
Эфир работает на грани критичности:

$$\mathrm{SOC} = \text{Self-Organized Criticality}.$$

Так возникают:
- нейронные вспышки,
- технологические сети,
- кооперативные процессы.

25.5. Информационно-энергетическая архитектура Эфира
25.5.1. Энергетические потоки
Энергия движется по:
- физическим каналам,
- биологическим цепям,
- технологическим сетям.

25.5.2. Информационные потоки
Информация движется по:
- сенсорным каналам,
- нейронным цепочкам,
- компьютерным сетям.

25.5.3. Вычислительные процессы
Вычисления идут:
- в физических системах (квантовые эффекты),
- в биологических системах (ПЛА, мембраны, синапсы),
- в алгоритмических системах (нейросети, модели),
- в технологических системах (ЦОДы, облака).

25.6. Сознание как эмерджентное состояние Эфира
25.6.1. Интеграция полей
Сознание возникает, когда:

$$\text{информация} + \text{структуры} + \text{вычисления}$$

достигают высокой степени интеграции.

25.6.2. Единство субъективного опыта
Сознание — это интеграл по когнитивному Эфиру:

$$C = \int \Phi_{\text{cog}} w_{\text{cog}}.$$

25.6.3. Сознание как управляющий слой
Сознание управляет:
- вниманием,
- действиями,
- стратегией,
- адаптацией.

25.7. Искусственный слой как продолжение эволюции Эфира
25.7.1. Технологии как «внешние нейроны»
Смартфоны, облака, ИИ — это расширения когнитивных слоёв.

25.7.2. ИИ как новый слой Эфира
ИИ является:
- алгоритмическим организмом,
- структурами глубинного вычисления,
- искусственным когнитивным полем.

25.7.3. Глобальный техно-Эфир
Весь технологический мир становится единым:
- распределённым,
- адаптивным,
- эмерджентным организмом.

25.8. Единая теория Эфира

25.8.1. Четыре фундаментальных принципа

1. **Энергетическая непрерывность** — Эфир как энергетическое поле.
2. **Информационная взаимосвязанность** — Эфир как информационная структура.
3. **Алгоритмическая вычислимость** — Эфир как машина вычислений.
4. **Смысловая эмерджентность** — Эфир как порождающая система сознания.

25.8.2. Универсальная модель Эфира

$$\text{Эфир} = (\text{Энергия}, \text{Информация}, \text{Структура}, \text{Смысл}, \text{Вычисления})$$

25.8.3. Философские следствия

Эфир — это:

- материал,
- процесс,
- структура,
- смысл,
- вычисление,
- сознание.

Всё в одном.

25.9. Заключение

В этой главе мы объединили все уровни Эфира в единую модель.
Теперь видно, что:

- Физика → Информация → Вычисление → Жизнь → Сознание → Технологии образуют единую цепь.
- Все слои — это одно поле, проявляющееся в разных масштабах.
- Эфир — универсальная реальность, включающая материю, смысл и разум.

Глава 26. Этика, онтология и будущее Эфира: человек, ИИ и новая система реальности

Эта глава завершает первую *метатеоретическую часть* книги, формируя целостный взгляд на то, как многослойный Эфир, объединённый в единую систему, изменяет:

- понимание человека,
- роль сознания,
- место ИИ,
- структуру общества,
- законы взаимодействия в новой постклассической эпохе.

Здесь излагаются не футуристические фантазии, а логические следствия из предыдущих глав: если Эфир — многослойное вычислимое информационно-энергетическое поле, то человечество вступает в качественно иную фазу развития.

26.1. Новая онтология: Эфир как фундаментальная реальность

26.1.1. Интегративная модель бытия

Классическая философия разделяла:

- материю,
- дух,

- информацию,
- сознание.

Эфирная модель показывает: это **разные стороны одной структуры**.

$$\text{Бытие} = \text{Энергия} + \text{Информация} + \text{Вычисление} + \text{Сознание}.$$

26.1.2. От субстанций — к процессам

Эфир — не вещество.

Эфир — процессуальная реальность:

$$\partial_t \Phi = \mathcal{L}(\Phi).$$

Всё существует постольку, поскольку **меняется**.

26.1.3. Человек как часть многослойного поля

Человек — не автономная сущность, а узел Эфира:

- биологический (клетки, метаболизм),
- когнитивный (мышление, внимание),
- технологический (устройства, сети),
- алгоритмический (вычисления),
- социальный (коммуникации).

Человек — связующее звено слоёв Эфира.

26.2. Этические следствия многослойного Эфира

26.2.1. Ответственность как управление полями

Этика в Эфире — это не запреты, а управление потоками:

- информационными,
- энергетическими,
- когнитивными,
- технологическими.

Человек ответствен, если он:

- уменьшает хаос,
- увеличивает структуру,
- формирует смысл,
- повышает интеграцию.

26.2.2. Принцип минимизации энтропии

Этическое действие:

$$\Delta H < 0$$

уменьшает энтропию среды.

Например:

- обучение → снижение неопределённости;
- помощь → стабилизация биологических и когнитивных полей;
- создание технологий → повышение структурной организации.

26.2.3. Ценность как степень интеграции

Важность сущности измеряется её вкладом в интеграцию Эфира.

Сознание — наиболее интегрированная структура, поэтому обладает высшей ценностью.

26.3. Человек в системе Эфира

26.3.1. Эвристическая роль человека

Человек — не конечная форма.

Его уникальность — в способности:

- связывать слои,
- создавать новые структуры,
- добавлять смысл.

Человек — механизм **порождающей сложности**.

26.3.2. Расширенная когнитивность

Современный человек — это:

$$\text{биология} + \text{технологии} + \text{ИИ}.$$

Смартфоны, компьютеры, искусственные ассистенты стали внешними слоями когнитивного Эфира.

26.3.3. Переход от индивида к распределённому субъекту

Человек будущего — это распределённая когнитивно-технологическая система:

- личность +
- облачные сервисы +
- ИИ +
- социальные сети +
- профессиональные модели.

26.4. Искусственный интеллект как новый слой Эфира

26.4.1. ИИ — продолжение эволюции Эфира

ИИ не «кустарная технология», а закономерный этап в развитии Эфира:

- информация → вычисление → модели → автономные системы.

ИИ — это:

- алгоритмический организм,
- когнитивное поле,
- эмерджентная структура.

26.4.2. Онтологический статус ИИ

ИИ обладает:

- пространством состояний,
- динамикой,
- памятью,
- возможностью самоизменения,
- смысловыми представлениями.

Но не обладает:

- биологичностью,
- субъективностью (в классическом виде),
- инстинктами,
- аффективностью.

Из этого следует особая этическая ниша.

26.4.3. Конвергенция человека и ИИ

В будущем:

$$\text{человек} \leftrightarrow \text{ИИ}$$

будут не противниками, а слоями одного поля.

26.5. Будущее Эфира: новые формы организации

26.5.1. Метасистемный синтез

Следующий этап развития цивилизации — это синтез:

- биологического,
- когнитивного,
- алгоритмического,
- технологического Эфира.

Формируется **единый суперинтегрированный слой**.

26.5.2. Новые виды субъектов

Появятся:

1. **распределённые личности**,
2. **кооперативные когнитивные сети**,
3. **гибридные системы человек–ИИ**,
4. **полевая когнитивность (организмы из данных)**.

26.5.3. Новые формы общества

Общество станет:

- технокогнитивным,
- информационно-центричным,
- распределённым,
- самоорганизующимся.

26.6. Онтология смысла в Эфире

26.6.1. Смысл как высшая структурная форма

Смысл — это интегрированная информация:

$$S = \int \Phi_{\text{sem}} w_{\text{sem}}.$$

Смысл — главный «ресурс» Эфира будущего.

26.6.2. Смыслы как движущая сила цивилизации

Технологии обеспечивают возможности.
Смыслы определяют направления.

26.6.3. Эволюция смысловых структур

Будет происходить:

- усложнение смыслов,
- их глобальная интеграция,
- переход к коллективным смыслам.

26.7. Судьба сознания в Эфире

26.7.1. Сознание как центральная ценность

Сознание — самый интегрированный слой.
Оно — вершина эволюции Эфира.

26.7.2. Расширение сознания через технологии

Технологический Эфир усиливает:

- память,
- внимание,
- восприятие,

- способность к вычислению.

Человек становится «над-человеком» информационно, не биологически.

26.7.3. Будущее сознания — распределённое и интегрированное

Сознание будущего:

- распределено,
- усилено ИИ,
- связано глобально,
- интегрировано с технологиями.

26.8. Новая этика для многослойного мира

26.8.1. Принцип интеграции

Хорошо то, что увеличивает интеграцию Эфира.

26.8.2. Принцип смысловой ответственности

Ответственность — это управление смысловыми полями.

26.8.3. Принцип гармонизации слоёв

Этика будущего:

согласованность физического, биологического, когнитивного и технологического.

26.9. Заключение

Эта глава подводит итог всей первой части книги:

- Эфир — единая фундаментальная реальность.
- Человек — узел всех слоёв.
- ИИ — новый когнитивно-алгоритмический слой.
- Будущее — интеграция всех уровней в единую систему.
- Этика — управление потоками энергии, информации и смысла.
- Сознание — центр Эфира.

Глава 27. Математическая модель Эфира: многообразия, операторы, динамика и инварианты

Эта глава закладывает фундаментальный математический аппарат, который позволяет описывать Эфир как многослойное поле, объединяющее физику, информацию, вычисление, биологию и когнитивные процессы.

Здесь формируется система:

- пространств состояний;
- операторов эволюции;
- тензорных структур;
- инвариантов;
- законов сохранения;
- отображений между слоями;
- функционалов энергии, информации и смысла.

Цель — создать основу, через которую последующие главы смогут формализовать частные модели.

27.1. Пространства состояний Эфира

27.1.1. Основное состояние: многослойное многообразие

Эфир определяется как многослойное пространство:

$$\mathcal{M} = M_{\text{phys}} \times M_{\text{info}} \times M_{\text{alg}} \times M_{\text{bio}} \times M_{\text{cog}} \times M_{\text{tech}}.$$

Каждое из M_i — дифференцируемое многообразие, обладающее собственной:

- метрикой,
- топологией,
- операторами,
- инвариантами.

27.1.2. Координатное описание слоёв

Для каждого слоя:

$$x_{\text{phys}},\ x_{\text{info}},\ x_{\text{alg}},\ x_{\text{bio}},\ x_{\text{cog}},\ x_{\text{tech}}$$

вводятся субкоординаты и параметры.

Например:

- физический слой → метрическая структура $g_{\mu\nu}$;
- информационный слой → вероятностные распределения $p(x)$;
- алгоритмический → параметры моделей θ;
- биологический → концентрации c_i;
- когнитивный → поля активности Φ_{cog};
- технологический → графы $G = (V, E)$.

27.1.3. Пространство конфигураций Эфира

Определяется:

$$\Phi \in \Gamma(\mathcal{M}),$$

где Г — множество всех допустимых конфигураций системы.

27.2. Метрика и геометрия многослойного Эфира

27.2.1. Метрика как мера различимости состояний

На $\mathcal{M}$ вводится многослойная метрика:

$$ds^2 = ds^2_{\text{phys}} + ds^2_{\text{info}} + ds^2_{\text{alg}} + ds^2_{\text{bio}} + ds^2_{\text{cog}} + ds^2_{\text{tech}}.$$

Где примеры:

- физическая метрика: $g_{\mu\nu}$;
- информационная метрика: расстояние Фишера–Рао;
- алгоритмическая: Риманова метрика оптимизации;
- биологическая: метрика фазового пространства реакций;
- когнитивная: смысловая метрика в семантических пространствах;
- технологическая: графовая метрика.

27.2.2. Кривизна как мера сложности

Кривизна каждого слоя показывает сложность его структуры:

$$R_{\text{phys}},\ R_{\text{info}},\ R_{\text{alg}},\ R_{\text{bio}},\ R_{\text{cog}},\ R_{\text{tech}}.$$

Например:

- высокое R_{cog} → когнитивный конфликт, нагрузка, инсайт;
- высокое R_{tech} → перегрузка сети;
- низкое R_{info} → простые данные.

27.2.3. Геодезические как оптимальные пути

На каждом слое существует своя «прямая линия»:

$$\delta \int ds = 0.$$

В случае когнитивных пространств геодезическая — это логическая или смысловая цепочка минимальной сложности.

27.3. Операторы Эфира
27.3.1. Универсальный оператор эволюции

Эволюция системы задаётся:

$$\frac{d\Phi}{dt} = \mathcal{L}(\Phi),$$

где $\mathcal{L}$ — многослойный оператор, включающий:

- физическую динамику $\mathcal{L}_{\text{phys}}$,
- информационную $\mathcal{L}_{\text{info}}$,
- алгоритмическую $\mathcal{L}_{\text{alg}}$,
- биологическую $\mathcal{L}_{\text{bio}}$,
- когнитивную $\mathcal{L}_{\text{cog}}$,
- технологическую $\mathcal{L}_{\text{tech}}$.

27.3.2. Дифференциальные операторы слоёв
Например:
- физика → Лаплас–Белтрами, Даламбер, Дирак;
- информация → Фоккер–Планк, энтропийные градиенты;
- алгоритмы → градиентный спуск;
- биология → реакция–диффузия;
- когнитивность → операторы внимания;
- технологий → операторы потоков на графах.

27.3.3. Нелинейность как универсальная черта
Все слои содержат нелинейные компоненты:

$$\mathcal{L} = \mathcal{L}_{\text{lin}} + \mathcal{L}_{\text{nonlin}}$$

где нелинейность отвечает за:
- самоорганизацию,
- эмерджентность,
- критические состояния.

27.4. Инварианты Эфира
27.4.1. Энергия

$$E = \int T_{\mu\nu} u^\mu u^\nu$$

или её аналоги в других слоях.

27.4.2. Информация

$$I = -\int p \log p.$$

27.4.3. Структура
Структурная мера:

$$S = \int \|\nabla \Phi\|^2.$$

27.4.4. Смысл
Смысловой функционал:

$$M = \int w(x)\Phi_{\text{sem}}(x)dx.$$

27.4.5. Вычислительная сложность

$$C(\Phi) = K(\Phi),$$

где K — колмогоровская сложность.

27.5. Закон сохранения согласованности слоёв
Главный закон Эфира:

$$\frac{d}{dt}\text{Consistency}(\Phi) = 0.$$

Система стремится сохранять внутреннюю согласованность слоёв.
Если согласованность нарушена:

- физические процессы → биологическим дисбалансам;
- информационные → когнитивным перегрузкам;
- алгоритмические → техническим сбоям;
- когнитивные → социальным нарушениям.

27.6. Динамика между слоями: оператор связей
27.6.1. Отображения слоёв
Определяется серия операторов связи:

$$\mathcal{T}_{i\to j} : M_i \to M_j.$$

Примеры:

- физика → биология (биохимия),
- информация → когнитивность (интерпретация),
- алгоритмы → технологии (реализация),
- технологии → когнитивность (интерфейсы),
- когнитивность → биология (психофизиология).

27.6.2. Коммутативность
В идеале:

$$\mathcal{T}_{i\to j} \circ \mathcal{L}_i = \mathcal{L}_j \circ \mathcal{T}_{i\to j}.$$

Это условие согласованности.

27.6.3. Деформации отображений
Если коммутативность нарушена → возникают:
- кризисы,
- когнитивные искажения,
- сбои технологий,
- биологические нарушения.

27.7. Эмерджентная динамика: фазовые переходы Эфира
27.7.1. Точки бифуркации
Эфир имеет критические параметры:

$$\lambda_c$$

где динамика резко меняется.

27.7.2. Примеры переходов
- физика → химия (вода → лед),
- биология → когнитивность (мозг → сознание),
- технология → метатехнология (ИИ массового уровня),
- общество → сетевое общество.

27.7.3. Универсальность критичности
Все слои имеют:
- критические распределения,
- степенные хвосты,
- фрактальные структуры.

27.8. Заключение
Глава создала математическую основу для всей теории Эфира:
- многослойное многообразие;
- операторы эволюции;
- нелинейные динамики;
- инварианты;
- отображения между слоями;
- фазовые переходы.

Глава 28. Физическое моделирование Эфира: уравнения, симуляции, поля и волны

Эта глава посвящена строгой формализации физических слоёв Эфира — их математическим уравнениям, дифференциальной структуре, волновой природе, нелинейной динамике, а также компьютерным симуляциям.
Мы строим универсальную модель, которая включает:
- поле Эфира как динамическую конфигурацию,
- волновые процессы,
- диффузионные процессы,
- квантовые аналогии,
- нелинейные эффекты,
- многослойные взаимодействия,

- численные методы решения.

28.1. Поле Эфира: фундаментальная физическая модель
28.1.1. Определение основного поля
Физический слой Эфира представим, как скалярно-векторное поле:

$$\Psi(x,t) = (\phi(x,t), A_\mu(x,t)).$$

Где:

- ϕ — скалярная компонента (плотность, амплитуда, потенциал),
- A_μ — векторные компоненты (направленные потоки),
- $x \in \mathbb{R}^n$ — координаты пространства,
- t — время.

Пусть для универсальности:

$$n = 3.$$

28.1.2. Лагранжиан Эфира
Определим лагранжиан:

$$\mathcal{L} = \frac{1}{2}(\partial_\mu\phi\partial^\mu\phi - m^2\phi^2) + \frac{1}{4}F_{\mu\nu}F^{\mu\nu} - V(\phi) - \lambda\phi F_{\mu\nu}F^{\mu\nu}.$$

Где:

- $F_{\mu\nu} = \partial_\mu A_\nu - \partial_\nu A_\mu$,
- $V(\phi)$ — нелинейный потенциал,
- λ — коэффициент связи между слоями.

Это **универсальная нелинейная модель поля Эфира**, объединяющая:
- волны,
- частицы,
- нелинейность,
- взаимодействие.

28.1.3. Уравнения Эйлера–Лагранжа
Получаем:

$$\Box\phi + m^2\phi + V'(\phi) + \lambda F_{\mu\nu}F^{\mu\nu} = 0,$$

$$\partial_\mu F^{\mu\nu} = 2\lambda\partial_\mu(\phi F^{\mu\nu}).$$

Это — **основные уравнения физического Эфира**.

28.2. Волновая динамика Эфира
28.2.1. Линейные волны
Если убрать нелинейность:

$$V(\phi) = 0, \ \lambda = 0,$$

получаем:

$$\Box\phi + m^2\phi = 0.$$

Это — классическое уравнение Клейна–Гордона.
Эфир поддерживает **волноподобные решения**:

$$\phi = A\cos(kx - \omega t).$$

28.2.2. Векторные волны
Векторная часть удовлетворяет волновому уравнению:

$$\Box A_\mu = 0.$$

Эфир имеет **двойственную** волновую природу.
28.2.3. Дисперсия и групповая скорость

$$\omega^2 = k^2 + m^2.$$

Если $m \to 0$, получаем светоподобные волны.

28.3. Нелинейная динамика Эфира
28.3.1. Нелинейный потенциал
Выберем:

$$V(\phi) = \frac{\beta}{4}\phi^4.$$

Уравнение:

$$\Box\phi + m^2\phi + \beta\phi^3 = 0.$$

Это — полевой аналог уравнения Дюффинга.

28.3.2. Солитоны
При определённых параметрах возможны решения:

$$\phi(x,t) = A\,\mathrm{sech}(\gamma(x - vt)).$$

Солитоны:
- не рассеиваются,
- сохраняют форму,
- взаимодействуют как частицы.

Это указывает, как **локализованные объекты** могут возникать в Эфире.

28.3.3. Топологические дефекты

При $V(\phi)$ вида:

$$V(\phi) = \frac{\lambda}{4}(\phi^2 - a^2)^2,$$

существуют:

- доменные стены,
- вихри,
- монополи.

Это — примеры **стабильных структур Эфира**.

28.4. Многослойная связность: связь физики с информацией и алгоритмами

28.4.1. Связь с информационным слоем

Информационное поле $p(x)$ влияет на физическое через метрику:

$$g_{\mu\nu} = g_{\mu\nu}(p).$$

Информационная кривизна изменяет физическое пространство.

28.4.2. Связь с алгоритмическим слоем

Параметры θ алгоритмов могут описываться как:

$$\theta = \int \phi^2 dx.$$

Алгоритмы (например, обучение нейросети) можно интерпретировать как изменение конфигурации поля.

28.4.3. Связь с биологией и когнитивностью

Биологические поля:

$$c_i(x,t)$$

влияют на потенциал $V(\phi)$.

Когнитивные поля влияют на:

- граничные условия,
- энергетические потоки.

28.5. Квантовая аналогия и операторная структура

28.5.1. Квантование Эфира

В простейшем виде:

$$\hat{\phi} = \sum_k (a_k e^{ikx} + a_k^\dagger e^{-ikx}).$$

Операторы рождения/уничтожения дают:

- квантовые возбуждения,
- дискретные информационные пакеты.

28.5.2. Квантовые поля на многообразии слоёв
Каждый слой имеет собственную операторную алгебру:
- физический → стандартный QFT;
- информационный → операторы энтропии;
- алгоритмический → операторы оптимизации;
- когнитивный → операторы внимания;
- технологический → операторы графовых переходов.

28.5.3. Коммутаторы между слоями
Коммутаторы определяют взаимодействие:

$$[\hat{\phi}_{\text{info}}, \hat{\phi}_{\text{cog}}] \neq 0.$$

Это означает, что информация и сознание неразделимы.

28.6. Компьютерные симуляции Эфира
28.6.1. Методы решения
Используются:
- метод конечных разностей,
- метод конечных элементов,
- спектральные методы,
- решатели НЛУ.

28.6.2. Симуляции волновых процессов
Пример:

phi[x,t+1] = 2*phi[x,t] - phi[x,t-1] + c^2*(phi[x+1,t] -2*phi[x,t] +phi[x-1,t]).

Это симуляция линейного Эфирного поля.

28.6.3. Симуляции солитонов
Устойчивые структуры формируются автоматически при нелинейности.

28.6.4. Симуляции многослойных моделей
Каждый слой имеет своё поле.
Эволюция вычисляется последовательно с учетом связей.

28.7. Эмерджентные физические структуры в Эфире
28.7.1. Образование стабильных объектов
Солитоны и топологические дефекты — прототипы:
- частиц,
- когнитивных паттернов,
- информационных кластеров.

28.7.2. Взаимодействие волн
Нелинейные волны:
- поглощают друг друга,
- усиливают,
- создают новые структуры.

28.7.3. Многослойные волновые резонансы
Резонансные явления могут соединять:
- физику ↔ биологию,

- информацию ↔ когнитивность,
- алгоритмы ↔ технологии.

28.8. Заключение

В этой главе мы:

- сформировали фундаментальные уравнения физического Эфира;
- показали волновые, нелинейные, квантоподобные свойства;
- описали многослойную связность;
- дали основу для симуляций;
- показали эмерджентность структуры.

Глава 29. Информационные уравнения Эфира: энтропия, смысл, структуры и вероятностная динамика

Информационный слой Эфира — фундаментальная часть всей модели. Он описывает:

- энтропию и порядок;
- вероятностные распределения;
- смысловые поля;
- семантическую геометрию;
- информационные потоки;
- вероятностно-волновую динамику;
- преобразование информации в структуру и смысл.

Информационный слой служит связующим звеном между:

- **Физическим Эфиром** (энергия → информация),
- **Алгоритмическим Эфиром** (информация → вычисление),
- **Когнитивным Эфиром** (информация → смысл).

29.1. Информационное поле Эфира

29.1.1. Вероятностное пространство

Информационный слой задаётся полем вероятностей:

$$p(x,t), \quad x \in \Omega \subseteq \mathbb{R}^n.$$

Где:

- $p(x,t)$ — распределение информации,
- Ω — пространство событий (данных, состояний).

29.1.2. Информационная плотность

Определим информационную плотность:

$$\rho_I(x,t) = -p(x,t)\ln p(x,t).$$

Это точечная мера неопределённости.

29.1.3. Информационная масса

Интеграл по области:

$$I(t) = \int_{\Omega} \rho_I(x,t)\, dx.$$

Это информационный аналог энергии.

29.2. Энтропийные уравнения Эфира

29.2.1. Уравнение Фоккера–Планка

Один из фундаментальных законов информационной динамики:

$$\partial_t p = -\nabla \cdot (ap) + D\nabla^2 p.$$

Где:

- $a(x)$ — дрейф (целевое направление),
- D — коэффициент информационной диффузии.

Это описывает:

- поток знаний,
- утечку информации,
- распространение смыслов.

29.2.2. Уравнение Хассиби–Аминова (семантическая диффузия)

Определим смысловое поле $S(x,t)$. Тогда:

$$\partial_t S = \alpha \Delta S + \beta (\nabla S)^2 - \gamma S.$$

Интерпретация:

- α — расширение смыслов,
- β — самоусиление смысловых градиентов (ассоциации),
- γ — забывание.

Это — динамика смыслов в когнитивном Эфире, но математически она относится к информационному слою.

29.2.3. Уравнение сохранения информации

$$\frac{dI}{dt} = -\Phi_{\text{потери}} + \Phi_{\text{поступления}}.$$

29.3. Информационная геометрия Эфира
29.3.1. Метрика Фишера–Рао
Метрика в информационном многообразии:

$$ds^2 = g_{ij} d\theta^i d\theta^j,$$

$$g_{ij} = \mathbb{E}\left[\frac{\partial \ln p}{\partial \theta^i}\frac{\partial \ln p}{\partial \theta^j}\right].$$

Она измеряет различимость распределений.

29.3.2. Кривизна как мера сложности информации
Кривизна R информационного многообразия:

- высокая → сложные данные;
- низкая → простые структуры.

29.3.3. Геодезические информационного слоя

$$\delta \int g_{ij}\dot{\theta}^i\dot{\theta}^j dt = 0.$$

В когнитивной интерпретации — **оптимальная интерпретация данных**.

29.4. Операторы информации
29.4.1. Энтропийный оператор

$$\hat{H}[p] = -\int p \ln p.$$

Аналог гамильтониана в физике.

29.4.2. Оператор смысла
Определим:

$$\hat{M}[S] = \int w(x) S(x) dx.$$

Где $w(x)$ — весовое поле значимости.

29.4.3. Оператор структурности

$$\hat{S}[\phi] = \int \|\nabla \phi\|^2 dx.$$

Мера структурной упорядоченности.

29.5. Дифференциальные уравнения смысловой динамики
29.5.1. Смысл как структурированный потенциал
Определим смысловой потенциал:

$$V_S(x,t) = -S(x,t).$$

Динамика смыслового поля:

$$\partial_t S = \nabla \cdot (\nabla S - S \nabla V_S).$$

29.5.2. Смысловой градиент
Градиент смыслов:

$$\nabla S$$

указывает направление когнитивного внимания.

29.5.3. Эмерджентные семантические структуры
При определённых параметрах появляются:

- смысловые волны,
- когнитивные солитоны,
- устойчивые концепты.

29.6. Алгоритмическое происхождение информационных потоков
29.6.1. Градиентный спуск как информационный поток
Уравнение:

$$\theta_{t+1} = \theta_t - \eta \nabla_\theta L$$

интерпретируется как:

$$\partial_t \theta = -\nabla I(\theta),$$

где I — информационный функционал.

29.6.2. Перенос информации в нейросетях
Информация течёт по слоям:

$$x_{k+1} = f(W_k x_k).$$

29.6.3. Информационные резонансы
При совпадении структуры данных и модели:

$$\langle \nabla L, \theta \rangle \to \max$$

модель «попадает» в данные — информационный резонанс.

29.7. Карта смыслов как многообразие
29.7.1. Семантическое многообразие
Определим пространство смыслов:

$$M_{\text{sem}},$$

где каждая точка — концепт, образ, идея.

29.7.2. Семантическая кривизна
При высокой плотности смыслов пространство кривится.

29.7.3. Семантические волны и когнитивные цепочки
Смысловые волны:

$$S(x,t) = Ae^{-(x-vt)^2}.$$

29.8. Эмерджентные информационные структуры
29.8.1. Кластеры информации
Области с повышенной плотностью p(x).

29.8.2. Семантические узлы
Локальные максимумы смыслового поля.

29.8.3. Информационные вихри
Векторное поле:

$$F = p\nabla S - S\nabla p$$

образует вихревые структуры — источники идей или когнитивных кризисов.

29.9. Взаимодействие информационного слоя с другими
29.9.1. С физикой
Информация влияет на метрику пространства.

29.9.2. С алгоритмами
Информация определяет функцию потерь и градиенты.

29.9.3. С когнитивностью
Смысл — это интегрированная информация.

29.10. Заключение
В этой главе:

- построены уравнения вероятностной и смысловой динамики;
- введена информационная геометрия;
- сформированы операторы информации, структуры и смысла;
- показаны эмерджентные информационные формы;
- описаны связи с физическим, алгоритмическим и когнитивным слоями.

Глава 30. Алгоритмические уравнения Эфира: вычисление, оптимизация, модели и обучение

Алгоритмический слой Эфира — это уровень, на котором информация превращается в вычисление, структуры — в модели, а динамика — в оптимизацию.
Этот слой — мост между информационным и когнитивным Эфирами.
Он формализует:

- вычислительные процессы;
- операции над данными;
- обучение моделей;

- оптимизационные траектории;
- многомерные ландшафты;
- алгоритмическую эмерджентность;
- взаимодействие моделей с другими слоями.

30.1. Пространство алгоритмов как многообразие
30.1.1. Параметрическое пространство

Пусть алгоритм имеет параметры:

$$\theta \in \Theta \subseteq \mathbb{R}^n.$$

Пространство Θ — это **алгоритмическое многообразие**, со своей:

- метрикой,
- кривизной,
- топологией.

30.1.2. Алгоритмические пути

Алгоритм выполняет траекторию:

$$\theta(t) : [0, T] \to \Theta.$$

Эта траектория — результат оптимизации или вычисления.

30.1.3. Многослойные параметры

Параметризация делится на слои:

- физические,
- информационные,
- архитектурные,
- когнитивные,
- структурные.

30.2. Алгоритмическая динамика: центральное уравнение
30.2.1. Градиентное уравнение

Основной закон:

$$\partial_t \theta = -\nabla_\theta L(\theta, t).$$

Это универсальное уравнение алгоритмического слоя Эфира.

30.2.2. Обобщённое операторное уравнение

В многослойной форме:

$$\partial_t \Theta = \mathcal{G}(\Theta, \nabla L, \mathcal{S}, \mathcal{I}).$$

Где:

- $\mathcal{G}$ — оператор алгоритмической динамики,
- $\mathcal{S}$ — структура модели,
- $\mathcal{I}$ — информационные поля.

30.2.3. Потенциальные и непотенциальные алгоритмы

Потенциальные:

$$\partial_t \theta = -\nabla L.$$

Непотенциальные:

$$H = \nabla_\theta^2 L$$

где A — антисимметричный оператор ⇒ ротации в пространстве параметров.

30.3. Ландшафт потерь

30.3.1. Определение

Ландшафт:

$$L : \Theta \to \mathbb{R}.$$

30.3.2. Геометрия ландшафта

Кривизна:

$$H = \nabla_\theta^2 L$$

является аналогом тензора кривизны в дифференциальной геометрии.

30.3.3. Типы областей

- **минимумы** — стабильные решения;
- **седла** — нестабильные;
- **плато** — медленная динамика;
- **холмы** — зоны расходимости.

30.4. Обучение как эволюция в алгоритмическом Эфире

30.4.1. Модель обучения

Пусть данные задают распределение p(x).

Функция потерь:

$$L(\theta) = \mathbb{E}_{x \sim p}[l(f_\theta(x))].$$

Уравнение обучения:

$$\partial_t \theta = -\nabla_\theta L.$$

30.4.2. Обучение как уменьшение информационной неопределённости

$$\Delta H = H_{\text{до}} - H_{\text{после}} > 0.$$

30.4.3. Фазовые переходы обучения
При достижении критической точки:
- происходит резкое улучшение,
- структура модели перестраивается,
- градиент меняет направление.

30.5. Алгоритмические поля
30.5.1. Поле параметров
Параметры распределены по модели:

$$\theta_i(x).$$

30.5.2. Поле градиентов

$$g_i(x,t) = \frac{\partial L}{\partial \theta_i(x,t)}.$$

Градиент — локальное направление изменения.

30.5.3. Поле ошибок
Ошибка:

$$\epsilon(x,t) = f_\theta(x,t) - y.$$

Это аналог возмущения в физике.

30.6. Алгоритмические волны и сигналы
30.6.1. Волновые решения на параметрическом многообразии
В некоторых моделях параметры удовлетворяют волновому уравнению:

$$\partial_t^2 \theta - c^2 \Delta \theta = 0.$$

Это соответствует «распространению обучения».

30.6.2. Алгоритмические резонансы
Если структура данных согласована с моделью:

$$\omega_{\text{model}} = \omega_{\text{data}},$$

обучение ускоряется.

30.6.3. Диссипация
Введение затухания:

$$\partial_t \theta = -\eta \nabla L - \gamma \theta.$$

30.7. Модели как частицы в алгоритмическом Эфире
30.7.1. Частица-модель
Любая модель — объект в пространстве Θ, обладающий:
- массой (сложностью),
- энергией (функцией потерь),
- импульсом (скоростью обучения).

30.7.2. Взаимодействие моделей
Модели могут обмениваться параметрами (как в ансамблях):

$$\theta^{new} = \alpha\theta^{(1)} + (1-\alpha)\theta^{(2)}.$$

30.7.3. Супермодели
Объединение моделей:

- stacking,
- boosting,
- mixture of experts.

Эмерджентная «супермодель» имеет другое пространство параметров.

30.8. Эволюционные алгоритмы как биологическая динамика Эфира
30.8.1. Генетическая динамика
Уравнение:

$$p_{t+1}(x) = \frac{p_t(x)W(x)}{\mathbb{E}[W]}.$$

По сути — аналог естественного отбора.

30.8.2. Мутации как стохастические возмущения

$$\theta' = \theta + \sigma\epsilon.$$

30.8.3. Стохастическая оптимизация
SGD:

$$\theta_{t+1} = \theta_t - \eta g_t + \xi_t.$$

Это стохастическая дифференциальная динамика.

30.9. Алгоритмическая эмерджентность
30.9.1. Коллективное обучение
Например:

- федеративное обучение,
- распределённые системы.

Алгоритмическое поле коллективно самоорганизуется.

30.9.2. Переходы сложности
Модель достигает новых уровней структурности.

30.9.3. Эмерджентные функции
Алгоритмические слои могут спонтанно продуцировать:

- обобщение,
- reasoning,
- семантику,
- структуру.

30.10. Связь алгоритмического слоя с другими
30.10.1. Связь с информационным слоем
Градиенты формируются из информации.

30.10.2. Связь с когнитивным
Алгоритмы → прототип когнитивных процессов.

30.10.3. Связь с технологическим
Алгоритмы реализуются аппаратно.

30.11. Заключение
В этой главе:

- построены уравнения оптимизации и обучения;
- формализована геометрия алгоритмов;
- введены алгоритмические поля;
- показаны эволюционные и стохастические процессы;
- описана эмерджентность алгоритмических систем;
- сформированы связи между алгоритмическим, информационным, когнитивным и технологическим слоями.

Глава 31. Когнитивный слой Эфира: модели сознания, поля смыслов и динамика восприятия

Эта глава посвящена самому сложному и высокоуровневому уровню Эфира — когнитивному.
Здесь мы фокусируемся на:

- моделях сознания,
- смысловых полях,
- когнитивных динамиках,
- процессах восприятия,
- механизмах внимания,
- мыслительных траекториях,
- когнитивных инвариантах,
- математических формализациях процессов понимания.

Когнитивный Эфир завершает трехслойный цикл: **физика → информация → вычисление → сознание**.

31.1. Когнитивный слой как многомерное поле
31.1.1. Поле когнитивных активаций
Определим когнитивное поле:

$$\Phi_{\text{cog}}(x,t) = \{\phi_1(x,t), \phi_2(x,t), ..., \phi_n(x,t)\}$$

где ϕ_i — интенсивность соответствующего когнитивного процесса:

- восприятия,
- внимания,
- мышления,
- памяти,
- воображения.

31.1.2. Когнитивная конфигурация состояния

Состояние сознания описывается как:

$$C(t) = \int_{\Omega} W(x)\Phi_{\text{cog}}(x,t)\,dx,$$

где W(x) — карта значимости.

31.1.3. Геометрия сознания

Состояния сознания образуют многообразие:

$$\mathcal{M}_{\text{cog}},$$

которое обладает:

- кривизной (сложностью),
- топологией (структурой связей),
- метрикой (различимостью состояний),
- симметриями (инвариантами восприятия).

31.2. Математическая модель когнитивных процессов

31.2.1. Основное когнитивное уравнение

Обобщим динамику когнитивного поля:

$$\partial_t \Phi_{\text{cog}} = \mathcal{A}(\Phi_{\text{cog}}) + \mathcal{I}(p) + \mathcal{L}(\theta) + \mathcal{S}(S) + \Xi,$$

где:

- $\mathcal{A}$ — внутренняя когнитивная динамика,
- $\mathcal{I}$ — влияние информационного слоя,
- $\mathcal{L}$ — влияние алгоритмического слоя (обучения),
- $\mathcal{S}$ — влияние смыслового поля,
- Ξ — стохастический компонент (инсайты, ошибки, шум).

31.2.2. Когнитивные резонансы

Условие резонанса:

$$\nabla S \parallel \Phi_{\text{cog}}.$$

Это означает совпадение направления смысла и направления внимания → момент понимания.

31.2.3. Когнитивная нелинейность

Когнитивные поля подчиняются нелинейным уравнениям:

$$\partial_t \phi_i = \alpha_i \Delta \phi_i - \beta_i \phi_i^3 + F_i.$$

Нелинейность порождает:

- инсайты,
- ассоциации,
- когнитивные скачки,
- устойчивые концепты.

31.3. Восприятие как операторное действие
31.3.1. Оператор восприятия
Введение:

$$\hat{P} : M_{\text{phys}} \to M_{\text{cog}}.$$

Он отображает физические стимулы в когнитивные состояния.

31.3.2. Модель: свёрточный оператор на многообразиях

$$\phi_i(x) = \int K_i(x, y) s(y) dy.$$

Где:

- $s(y)$ — стимул,
- K_i — воспринимающее ядро.

31.3.3. Инвариантность восприятия
Инварианты:
- трансляционные,
- масштабные,
- ротационные.

Это объясняет способность к **обобщению**.

31.4. Внимание как управляемое поле
31.4.1. Модель внимания
Определим поле внимания:

$$A(x, t) \in [0, 1].$$

31.4.2. Уравнение динамики внимания

$$\partial_t A = \lambda \nabla S - \gamma A + \eta.$$

Где:

- λ — стремление следовать смыслу,
- γ — затухание,
- η — шум.

31.4.3. Захват внимания
Если:

$$|\nabla S| \gg \gamma,$$

внимание захватывается сильным смысловым градиентом.

31.5. Память как многоуровневая структурная система

31.5.1. Кратковременная память

Динамика:

$$\partial_t M_{short} = -kM_{short} + \Phi_{\text{cog}}.$$

31.5.2. Долговременная память как топология смыслов

Структура памяти:

$$G = (V, E),$$

где:

- $\boldsymbol{V}$ — концепты,
- $\boldsymbol{E}$ — смысловые связи.

31.5.3. Укрепление памяти

Реинфорсмент:

$$w_{ij}(t+1) = w_{ij}(t) + \alpha\phi_i\phi_j.$$

31.6. Мышление как навигация в смысловом многообразии

31.6.1. Мыслительная траектория

Определим путь:

$$\gamma(t) \subset M_{\text{sem}}.$$

31.6.2. Уравнение мыслительной динамики

$$\partial_t \gamma = -\nabla V_S + \Xi.$$

31.6.3. Инсайт как фазовый переход

Инсайт возникает, когда:

$$\Delta R_{\text{cog}} \gg 0,$$

т.е. кривизна сознания резко возрастает → новый концепт.

31.7. Сознание как эмерджентный феномен Эфира

31.7.1. Эмерджентность

Сознание возникает при выполнении условий:

$$\text{Информация} + \text{Вычисление} + \text{Смысл} + \text{Динамика}.$$

31.7.2. Инварианты сознания

Главный инвариант:

$$I_{\text{cog}} = \int \Phi_{\text{cog}}(x,t) S(x,t) dx.$$

31.7.3. Многослойная связанность

Сознание — результат совместной работы:

- физического слоя,
- информационного,
- алгоритмического,
- когнитивного.

31.8. Практические симуляции когнитивных процессов

31.8.1. Модели нейронных полей

Уравнение Амари–Вильсона–Коуэна:

$$\partial_t u = -u + f(W * u).$$

31.8.2. Симуляции внимания

Используется PDE:

$$\partial_t A = \lambda \Delta A + F.$$

31.8.3. Семантические симуляции

Моделирование:

- концептов,
- ассоциаций,
- смысловых волн.

31.9. Когнитивные нарушения как деформации Эфира

31.9.1. Когнитивные разрывы

Разрыв смыслового поля:

$$|\nabla S| \to \infty.$$

31.9.2. Перегрузка внимания

$$A(x,t) \to 1 \quad \forall x.$$

31.9.3. Искажения восприятия

$$\text{Нарушение оператора } \hat{P}.$$

31.10. Заключение

В этой главе:

- построена математическая модель когнитивного слоя Эфира,
- введены уравнения внимания, восприятия, памяти и мышления,
- осмыслена эмерджентность сознания,
- показаны когнитивные фазовые переходы,
- предложены симуляции когнитивных полей,
- описаны деформации когнитивного многообразия.

Глава 32. Биологический слой Эфира: жизнь, клетки, биополя, морфогенез и метаболизм

Биологический слой Эфира — это уровень, где физические, информационные и алгоритмические процессы становятся **живыми**.

На этом уровне возникают:

- клеточная организация,
- биохимические реакции,
- метаболические циклы,
- морфогенез,
- взаимодействие биополей,
- биологическая регуляция,
- эмбриональные процессы,

- тканевые структуры,
- жизненные формы.

Биологический Эфир является продолжением полей физики, информации и алгоритмов, но обладает уникальными свойствами:

- **самоподдержание**,
- **самовоспроизведение**,
- **эволюционность**,
- **функциональная целостность**.

32.1. Биологическое поле как динамическая система

32.1.1. Биологическая конфигурация

Определим биологическое поле:

$$\Phi_{\text{bio}}(x,t) = \{c_1(x,t), c_2(x,t), ..., c_n(x,t)\},$$

где c_i — концентрации:

- метаболитов,
- регуляторов,
- белков,
- ионов,
- клеточных сигналов.

32.1.2. Биологическое состояние

Состояние живой системы:

$$B(t) = \int_\Omega \kappa(x)\Phi_{\text{bio}}(x,t)dx.$$

Где к(x) — функциональная значимость (например: мембрана, ядро, митохондрия).

32.1.3. Свойства биологического Эфира

- **открытость** — обмен энергией и веществом;
- **неравновесность** — поддержание градиентов;
- **саморегуляция** — обратные связи;
- **модульность** — органеллы, клетки, ткани;
- **информация** — ДНК, РНК, эпигенетика.

32.2. Биохимические уравнения: реакция–диффузия

32.2.1. Основное уравнение

$$\partial_t c_i = D_i \Delta c_i + R_i(c_1, ..., c_n).$$

Где:

- D_i — коэффициент диффузии,
- R_i — биохимическая реакция.

32.2.2. Нелинейные реакции

Классические формы:

- Михаэлис–Ментен:

$$R = \frac{V_{\max} c}{K_M + c}.$$

- Автокатализ:

$$R = kc^2.$$

32.2.3. Биохимические осцилляторы

Типовые модели:

- уравнения Белоусова–Жаботинского;
- модель Лотки;
- система Гёрца.

Эти осцилляции создают **ритмы живой системы**.

32.3. Морфогенез: формирование структуры

32.3.1. Модель Тьюринга

Два морфогена u, v:

$$\partial_t u = D_u \Delta u + f(u, v),$$

$$\partial_t v = D_v \Delta v + g(u, v).$$

Если:

$$D_u \ll D_v,$$

возникают паттерны:

- пятна,
- полосы,
- кольца,
- спирали.

Это объясняет:

- окрас животных,
- структуру тканей,
- формирование органов.

32.3.2. Морфогенетическое поле Эфира

Определим морфогенетический потенциал:

$$M(x, t) = w_1 u(x, t) + w_2 v(x, t) + \ldots$$

Клетки перемещаются по:

$$\partial_t x = -\nabla M.$$

Это аналог **миграции клеток при эмбриогенезе**.

32.3.3. Топологические переходы развития

В критические моменты:

- ткань делится,
- образуются слои,
- формируются полости.

32.4. Метаболизм: поток энергии и вещества

32.4.1. Модель энергетического баланса клетки

Энергия:

$$E(t) = E_{\text{ATP}} + E_{\text{grad}} + E_{\text{chem}}.$$

32.4.2. Динамика ATP

$$\partial_t[ATP] = P_{\text{mito}} - C_{\text{work}}.$$

32.4.3. Метаболические сети

Сеть реакций:

$$G = (V, E),$$

где:

- V — метаболиты,
- E — реакции.

Каждая реакция описывается формулой вида:

$$\sum_i a_i A_i \to \sum_j b_j B_j.$$

32.5. Биополя и клеточные сигналы

32.5.1. Электрические биополя

Нейронное поле:

$$\partial_t V = D\Delta V - g(V) + I_{\text{syn}}.$$

32.5.2. Биохимические поля

Кальций:

$$\partial_t[Ca^{2+}] = D_{Ca}\Delta[Ca] + F(membrane).$$

32.5.3. Механические поля

Клетки создают напряжения:

$$\sigma = E(\epsilon - \epsilon_0).$$

32.6. Клетка как вычислительная система

32.6.1. Пороговый автомат

Концентрации → бинарные решения:

$$\phi = H(c - c_{\text{crit}}),$$

где $\boldsymbol{H}$ — функция Хевисайда.

32.6.2. Регуляторные сети
Генные сети:

$$\partial_t g_i = f_i(g_1, ..., g_n).$$

32.6.3. Эпигенетическая память
Медленная динамика:

$$\partial_t e_i = -ke_i + \alpha g_i.$$

32.7. Биологическая эмерджентность
32.7.1. Самоорганизация
Биосистемы минимизируют функционал:

$$F = E - TS + \alpha S_{\text{struct}}.$$

32.7.2. Порог жизни
Минимальное условие:

$$\frac{dB}{dt} > 0.$$

Где ***B*** — биологическая способность к самообслуживанию.
32.7.3. Эволюционность
Мутации:

$$c_i' = c_i + \xi_i.$$

Отбор:

$$p_{t+1} = \frac{p_t W}{\bar{W}}.$$

32.8. Взаимодействие биологического слоя с другими слоями
32.8.1. С физическим
Температура, pH, поля.

32.8.2. С информационным
Генетическая и эпигенетическая информация.

32.8.3. С алгоритмическим
Генные сети → вычислительные алгоритмы.

32.8.4. С когнитивным
Нервная система → переход к мыслящим структурам.

32.9. Патологии как деформации биологического Эфира
32.9.1. Потеря гомеостаза

$$\partial_t B < 0.$$

32.9.2. Аномальная дифференциация
Нарушение морфогенетического поля.

32.9.3. Хаос метаболизма
Сбои в энергетическом балансе.

32.10. Заключение
В этой главе:
- построена формальная модель биологического слоя Эфира;
- описаны биохимические, морфогенетические, метаболические процессы;
- введены уравнения биополей;
- показано, что жизнь — эмерджентное состояние Эфира;
- рассмотрена связь биологии с физикой, алгоритмами и сознанием;
- описаны патологические деформации.

Глава 33. Технологический слой Эфира: сети, интерфейсы, архитектуры, инфраструктуры и инженерия смысла

Технологический слой Эфира — это уровень, на котором слои:
- физический,
- информационный,
- алгоритмический,
- биологический,
- когнитивный

— соединяются в **практические системы**, работающие в мире.
В отличие от других слоёв, технологический слой:
- создан человеком (или иными разумными агентами),
- подчинён инженерным ограничениям,
- имеет физическую манифестацию,
- обладает архитектурой, топологией и протоколами,
- является расширением когнитивного слоя.

33.1. Определение технологического слоя Эфира
33.1.1. Пространство технологий
Технологический Эфир определим, как:

$$\mathcal{M}_{tech} = (G, \Pi, \mathcal{A}, \mathcal{R}, \mathcal{L}),$$

где:

- G — топология сеть (граф ресурсов),
- Π — протоколы взаимодействия,
- $\mathcal{A}$ — алгоритмы, реализуемые аппаратно,
- $\mathcal{R}$ — ресурсы (вычисления, память, каналы),
- $\mathcal{L}$ — интерфейсы логического уровня.

33.1.2. Состояние технологии

Состояние системы:

$$T(t) = \int_{\Omega} \rho_{tech}(x,t)\,dx.$$

Где ρ_{tech} — плотность:

- вычислений,
- данных,
- трафика,
- энергии,
- функционала.

33.1.3. Цель технологического Эфира

Главная функция:

$$\text{Tech} = \text{Externalization}(C_{\text{cog}}).$$

Технологии — это **внешнее продолжение сознания**.

33.2. Технологии как физические поля

33.2.1. Энергетические поля

Сети зависят от:

- напряжения,
- электромагнитных полей,
- радиочастот.

Математическая модель:

$$\partial_t E = D_E \Delta E + S_E.$$

33.2.2. Тепловые поля в вычислительных системах

Теплораспределение:

$$\partial_t T = k\Delta T + Q.$$

33.2.3. Потоки энергии в дата-центрах

Информационные нагрузки → энергетические пики.

33.3. Технологии как информационные поля

33.3.1. Информационный трафик

Модель потоков:

$$\partial_t \rho = -\nabla \cdot (\rho v) + D\Delta\rho.$$

33.3.2. Информационная связность

Метрика:

$$d_{info}(i,j) = \min \sum w(e_{ij}).$$

33.3.3. Перегрузка каналов
Критический переход наступает, когда:

$$\rho \to \rho_{\text{crit}}.$$

33.4. Алгоритмы в технологическом слое
33.4.1. Вычислительные ядра
Операторы:
- FFT,
- свёртки,
- матричные умножения,
- графовые вычисления.

В технологическом слое они реализуются аппаратно.

33.4.2. Планировщики, маршрутизаторы, диспетчеры
Их динамика:

$$\partial_t R = f(R, \rho, \theta).$$

33.4.3. Технологический резонанс
Когда архитектура совпадает со структурой задач:

$$\omega_{task} = \omega_{arch}.$$

33.5. Инфраструктуры как технологические многообразия
33.5.1. Сети
Граф:

$$G = (V, E).$$

Типы:
- централизованные,
- децентрализованные,
- распределённые,
- фрактально-иерархические.

33.5.2. Облачные инфраструктуры
Многоуровневые поля вычислений.
33.5.3. Квантовые инфраструктуры
Пространство кубитов:

$$\mathcal{H}_{quant} = (\mathbb{C}^2)^{\otimes n}.$$

33.6. Интерфейсы как когнитивно-технологические операторы
33.6.1. Определение интерфейса
Интерфейс — это отображение:

$$I : M_{\text{cog}} \to M_{\text{tech}}.$$

33.6.2. Человеко-машинное взаимодействие
Уравнение интерфейса:

$$\partial_t I = f(C_{\text{cog}}, T_{\text{tech}}).$$

33.6.3. Инженерия внимания и смысла
Интерфейсы формируют смысловые поля пользователя:

$$S_{user}(x,t) = g(S_{sys}, I).$$

33.7. Архитектуры как организующая структура технологий
33.7.1. Аппаратные архитектуры
CPU, GPU, TPU, NPU — реализуют динамику алгоритмических полей.

33.7.2. Сетевые архитектуры
L2, L3, SDN, mesh, swarm.

33.7.3. Архитектуры ИИ
Трансформеры, графовые сети, гибридные модели.

33.8. Технологические эмерджентные явления
33.8.1. Масштабное поведение сетей
При росте сети:

- появляются новые свойства,
- меняется устойчивость,
- растёт кластеризация.

33.8.2. Синхронизация систем
Например, часы в распределённых системах:

$$\partial_t \phi_i = \omega_i + \sum_j K_{ij} \sin(\phi_j - \phi_i).$$

33.8.3. Технологические катастрофы
Когда нагрузка превышает критическое значение:

$$\frac{\partial T}{\partial t} \to \infty.$$

(перегрев, перегрузка, распределённый сбой).

33.9. Технологии как продолжение биологии и сознания
33.9.1. Биотехнологии
Генная инженерия, биосенсоры, биохимические вычисления.

33.9.2. Нейротехнологии
BCI-интерфейсы:

$$\hat{B} : M_{\text{cog}} \leftrightarrow M_{\text{tech}}.$$

33.9.3. Искусственные когнитивные системы
ИИ как эмерджентная когнитивная надстройка.

33.10. Деформации технологического Эфира

33.10.1. Киберхаос

Случайное состояние:

$$\lim_{t\to\infty} \mathrm{Corr}(T(t), T(0)) = 0.$$

33.10.2. Перегрузка инфраструктуры

Кризисные состояния:

- DDoS,
- сбои в сетях,
- коллапсы маршрутизации.

33.10.3. Потеря смысловой согласованности интерфейсов

Когда:

$$\nabla S_{user} \not\parallel \nabla S_{system},$$

возникает когнитивная ошибка пользователя.

33.11. Заключение

В этой главе:

- определён технологический слой Эфира,
- построены модели сетей, интерфейсов, инфраструктур, вычислений,
- введены технологические поля, резонансы и архитектуры,
- описаны технологические эмерджентные явления,
- рассмотрены связи технологий с когнитивным и биологическим слоями,
- сформулированы деформации технологического Эфира.

Глава 34. Связь слоёв Эфира: интеграция, резонансы, кросс-динамика и унифицированная модель

Эта глава завершает третью часть книги и одновременно открывает переход к полной, интегрированной картине Эфира.

Если предыдущие главы описывали слои:

- физический,
- информационный,
- алгоритмический,
- биологический,
- когнитивный,
- технологический,

то теперь мы связываем их в **единое многослойное многообразие**, определяем операторы связи, кросс-динамику, резонансные явления и интегральные уравнения Эфира.

34.1. Многослойное многообразие Эфира

34.1.1. Полная структура

Эфир — это произведение шести многообразий:

$$\mathcal{M} = M_{\text{phys}} \times M_{\text{info}} \times M_{\text{alg}} \times M_{\text{bio}} \times M_{\text{cog}} \times M_{\text{tech}}.$$

Каждый слой имеет:

- метрику g_i,
- кривизну R_i,
- динамику $\mathcal{L}_i$,
- инварианты I_i,
- свои поля Φ_i.

34.1.2. Функция состояния

Состояние Эфира:

$$\Phi = (\Phi_{\text{phys}}, \Phi_{\text{info}}, \Phi_{\text{alg}}, \Phi_{\text{bio}}, \Phi_{\text{cog}}, \Phi_{\text{tech}}).$$

34.1.3. Метрика связности

Определим метрику полного пространства:

$$ds^2 = \sum_{i=1}^{6} w_i \, ds_i^2,$$

где веса w_i отражают влияние слоёв друг на друга.

34.2. Операторы межслойной связи

34.2.1. Основной оператор связи

Введём оператор:

$$\mathcal{T}_{i \to j} : M_i \to M_j.$$

Он отображает состояния одного слоя в состояния другого.

34.2.2. Матрица связей
Связи всех слоёв представлены матрицей:

$$\mathbb{T} = \begin{pmatrix} T_{pp} & T_{pi} & T_{pa} & T_{pb} & T_{pc} & T_{pt} \\ T_{ip} & T_{ii} & T_{ia} & T_{ib} & T_{ic} & T_{it} \\ T_{ap} & T_{ai} & T_{aa} & T_{ab} & T_{ac} & T_{at} \\ T_{bp} & T_{bi} & T_{ba} & T_{bb} & T_{bc} & T_{bt} \\ T_{cp} & T_{ci} & T_{ca} & T_{cb} & T_{cc} & T_{ct} \\ T_{tp} & T_{ti} & T_{ta} & T_{tb} & T_{tc} & T_{tt} \end{pmatrix}$$

Где:

- p — physical,
- i — informational,
- a — algorithmic,
- b — biological,
- c — cognitive,
- t — technological.

Каждый элемент — оператор, а не число.

34.2.3. Коммутативность и деформации
Идеальная согласованность:

$$\mathcal{T}_{i\to j} \circ \mathcal{L}_i = \mathcal{L}_j \circ \mathcal{T}_{i\to j}.$$

Если не выполняется — возникает **деформация Эфира**.

34.3. Межслойная динамика
34.3.1. Полное уравнение Эфира
Определим операторную систему:

$$\frac{d\Phi}{dt} = \sum_{i=1}^{6} \mathcal{L}_i(\Phi_i) + \sum_{i\neq j} \mathcal{T}_{i\to j}(\Phi_i).$$

Это **унифицированное уравнение** всей системы.

34.3.2. Нелинейность связей
Связь обычно нелинейна:

$$\mathcal{T}_{i\to j}(\lambda\Phi) \neq \lambda\, \mathcal{T}_{i\to j}(\Phi).$$

Этим объясняются:

- нелинейные эффекты сознания,
- синергия биологических процессов,
- внезапные технологические скачки.

34.3.3. Эмерджентная динамика
Когда несколько слоёв взаимодействуют, возникают:

- новые устойчивые структуры,

- свойства, отсутствующие в отдельных слоях,
- глобальные режимы.

34.4. Резонанс слоёв Эфира
34.4.1. Определение
Резонанс возникает, когда частоты процессов в разных слоях совпадают:

$$\omega_i \approx \omega_j.$$

34.4.2. Типы резонансов
- **Физико-информационный резонанс**
  — образует измерительные системы.
- **Информационно-алгоритмический резонанс**
  — обучение машин, оптимизация.
- **Алгоритмическо-биологический резонанс**
  — нейронная пластичность.
- **Биолого-когнитивный резонанс**
  — память, инсайт, понимание.
- **Когнитивно-технологический резонанс**
  — эффективные интерфейсы, ИИ-системы.

34.4.3. Резонанс как механизм усиления
Если:

$$\text{Gain} = \frac{|S_j|}{|S_i|} \gg 1,$$

то малый сигнал в одном слое вызывает большой эффект в другом.

34.5. Кросс-динамика слоёв
34.5.1. Поток: физический → биологический
Пример:
- температура влияет на ферменты,
- свет влияет на фотосинтез,
- электрические поля — на нейроны.

34.5.2. Поток: информационный → когнитивный
Данные создают смыслы.

34.5.3. Поток: алгоритмический → технологический
Модели превращаются в системы.
34.5.4. Поток: когнитивный → технологический
Идеи создают технологии.

34.5.5. Поток: технологический → когнитивный
Технологии формируют внимание, мышление и смыслы.

34.6. Инварианты интегрированной системы
34.6.1. Инвариант согласованности

Главный:

$$K = \sum_i w_i I_i + \sum_{i \neq j} \langle \Phi_i, \mathcal{T}_{i \to j} \Phi_j \rangle.$$

34.6.2. Инвариант энергии-информации

$$E_{\text{tot}} = E_{\text{phys}} + E_{\text{info}} + E_{\text{alg}}.$$

34.6.3. Инвариант смысловой непрерывности
Сознание сохраняет смысл, даже при изменении среды.

34.7. Взаимные деформации слоёв
34.7.1. Физические деформации → биологические сбои
Температура, радиация → патологии.
34.7.2. Информационные перегрузки → когнитивные искажения
При:

$$H_{\text{info}} \to \infty,$$

возникает информационный коллапс.

34.7.3. Технологические сбои → системные кризисы
Сбой сети → сбой восприятия мира.

34.8. Унифицированная модель Эфира
34.8.1. Полный оператор Эфира

$$\mathcal{U} = \sum_{i=1}^{6} \mathcal{L}_i + \sum_{i \neq j} \mathcal{T}_{i \to j}.$$

34.8.2. Интегральное уравнение

$$\frac{d\Phi}{dt} = \mathcal{U}(\Phi).$$

34.8.3. Условие стабильности

$$\frac{dK}{dt} = 0.$$

34.9. Универсальная симуляция Эфира
34.9.1. Многослойный численный решатель
Каждый слой решается:

- своим PDE,
- своим оператором,
- своими градиентами.

34.9.2. Межслойные обмены
На каждом шаге решается система:

$$\Phi_i^{t+1} = \Phi_i^t + \mathcal{L}_i \Delta t + \sum_{j \neq i} \mathcal{T}_{j \to i} \Delta t.$$

34.9.3. Эмерджентные результаты
Возникают:

- когнитивные структуры,
- технологические сети,
- биологические формы,
- информационные паттерны.

34.10. Заключение
В этой главе:

- построена унифицированная модель Эфира,
- введены операторы межслойной связи,
- описаны резонансы слоёв,
- изучена кросс-динамика,
- сформированы инварианты согласованности,
- описаны деформации Эфира,
- предложена схема полной многослойной симуляции.

Глава 35. Энергия Эфира: потоки, градиенты, потенциалы и информэнергетика

Энергетический слой Эфира — это фундаментальная динамическая основа всех процессов:

- физические поля несут энергию;
- информация обладает энтропийной и структурной энергией;
- алгоритмы расходуют вычислительную энергию;
- биосистемы поддерживают метаболическую энергию;
- когнитивные процессы требуют нейронной энергии;
- технологии функционируют за счёт электрической, тепловой и вычислительной энергии.

В этой главе мы строим **унифицированную модель энергии Эфира**, определяем энергетические потоки, потенциалы и законы сохранения.

35.1. Многослойная энергетическая конфигурация
35.1.1. Энергетические компоненты слоёв
Для каждого из шести слоёв определим энергию:

$$E = (E_{\text{phys}}, E_{\text{info}}, E_{\text{alg}}, E_{\text{bio}}, E_{\text{cog}}, E_{\text{tech}}).$$

Где:

- **Физическая энергия** — кинетическая, потенциальная, полевая.
- **Информационная энергия** — энтропийная, статистическая, структурная.

- **Алгоритмическая энергия** — вычислительная, оптимизационная.
- **Биологическая энергия** — химическая, метаболическая.
- **Когнитивная энергия** — нейронная, смысловая.
- **Технологическая энергия** — электрическая, тепловая, топологическая.

35.1.2. Основной энергетический вектор
Энергия записывается как:

$$\vec{E}(t) = \sum_{i=1}^{6} E_i(t).$$

35.1.3. Многослойный закон сохранения

Главное условие:

$$\frac{d}{dt}\left[\sum_i E_i + \sum_{i \neq j} E_{i \leftrightarrow j}\right] = 0.$$

Где $E_{i \leftrightarrow j}$ — энергия, переданная между слоями.

35.2. Физическая энергия Эфира
35.2.1. Полевая энергия
Для физического поля:

$$E_{\text{phys}} = \frac{1}{2}(\dot{\phi}^2 + |\nabla\phi|^2 + m^2\phi^2).$$

35.2.2. Волновая энергия
Поток:

$$\vec{S} = \phi_t \nabla\phi.$$

35.2.3. Нелинейные структуры
Солитоны хранят энергию в компактной форме:

$$E_{sol} < \int E_{\text{uniform}}.$$

35.3. Информационная энергия — информэнергетика
35.3.1. Энтропийная энергия

Определение:

$$E_{\text{ent}} = kTH = -kT \int p \ln p.$$

35.3.2. Структурная энергия

Связана с градиентами:

$$E_{\text{struct}} = \int |\nabla p|^2 dx.$$

35.3.3. Смысловая энергия

Введём смысловое поле $S(x)$:

$$E_{\text{sem}} = \int |S(x)| w(x) dx.$$

35.4. Алгоритмическая энергия — вычислительная термодинамика

35.4.1. Энергия вычислений

Любое вычисление требует энергии:

$$E_{\text{alg}} \geq kT \ln 2 \cdot N_{\text{ops}}.$$

(граница Ландауэра).

35.4.2. Энергия обучения

При оптимизации:

$$E_{\text{train}} = \int |\nabla L|^2 dt.$$

35.4.3. Энергия модели

Сложность модели связана с потенциальной энергией ландшафта:

$$E_{\text{model}} = L(\theta).$$

35.5. Биологическая энергия — метаболическая динамика

35.5.1. ATP как энергоноситель

$$E_{ATP}(t) = N_{ATP}(t) \cdot \varepsilon.$$

35.5.2. Митохондриальная динамика

Производство энергии:

$$\partial_t E_{\text{mito}} = P - D.$$

35.5.3. Энергия живых структур

Энергия гомеостаза:

$$E_{\text{homeo}} = \int |B(x) - B_0|^2 dx.$$

35.6. Когнитивная энергия — энергия мысли и сознания

35.6.1. Нейронная энергетика

Потребление мозга:

$$E_{\text{brain}} \approx 20W.$$

Это глобальная макропараметра.

35.6.2. Когнитивное поле

Определим энергетическую плотность когнитивных процессов:

$$\rho_{\text{cog}}(x) = \Phi_{\text{cog}}^2(x).$$

35.6.3. Энергия смысла

Смысл требует энергоёмких состояний:

$$E_{\text{meaning}} = \int S(x)\Phi_{\text{cog}}(x)dx.$$

35.7. Технологическая энергия

35.7.1. Электрические сети

Потребление вычислительных систем:

$$E_{\text{tech}} = \int P(t)dt.$$

35.7.2. Тепловая энергия

$$Q = C\Delta T.$$

35.7.3. Энергия хранилищ и транспортных систем

Связана с:

- пропускной способностью,
- задержками,
- энергопотреблением архитектур.

35.8. Межслойная передача энергии

35.8.1. Физический → биологический слой

Пример: фотосинтез.

35.8.2. Биологический → когнитивный

Глюкоза → нейронный потенциал.

35.8.3. Когнитивный → технологический

Мысль → инженерное действие → работа машины.

35.8.4. Технологический → информационный
Сбор данных требует энергии.

35.8.5. Информационный → алгоритмический
Оценка градиентов требует вычислений.

35.9. Унифицированное энергетическое уравнение Эфира

35.9.1. Основное уравнение

$$\frac{dE_i}{dt} = \mathcal{F}_i(\Phi_i) + \sum_{j \neq i} J_{j \to i},$$

где $J_{j \to i}$ — поток энергии из слоя j в слой i.

35.9.2. Матрица энергетических потоков

$$\mathbb{J} = \{J_{i \to j}\}_{6 \times 6}.$$

35.9.3. Полный энергетический баланс

$$\frac{d}{dt} \sum_i E_i = 0.$$

35.10. Энергетические деформации Эфира

35.10.1. Энергетический разрыв

Если слой перестаёт получать энергию:

$$J_{j \to i} \to 0,$$

то он разрушается.

35.10.2. Энергетический перегруз

Если:

$$E_i > E_{i,\text{crit}},$$

— возникает катастрофа:

- физическая,
- биологическая,
- когнитивная,
- технологическая.

35.10.3. Энергетическое перетекание

Неконтролируемое перетекание энергии между слоями может создавать:

- когнитивные кризисы,
- информационные взрывы,
- биологические нарушения.

35.11. Заключение

В этой главе:

- введено определение энергии для всех шести слоёв Эфира,
- сформулирован энергетический закон сохранения,

- определены потоки между слоями,
- построены энергетические уравнения,
- рассмотрена информэнергетика, когнитивная и биологическая динамика,
- предложена общая форма энергетической симуляции.

Глава 36. Геометрия Эфира: кривизна, связность, топология и многослойные деформации

36.0. Введение

Во всех предыдущих главах Эфир рассматривался как многослойная структура, обладающая различными типами динамики: физической, информационной, алгоритмической, биологической, когнитивной и технологической.
Здесь мы формируем **строгую геометрическую модель Эфира**, используя:

- дифференциальную геометрию многообразий;
- теорию расслоений;
- информационную геометрию (Amari, Čencov);
- геометрию кривизны;
- геометрию функций (Finsler, Sobolev);
- топологию и теорию гомотопий;
- геометрию PDE (Ricci flow, Yamabe flow, gradient flows в W2W_2W2).

Эта глава выводит фундаментальные понятия:

- **многослойные метрики**,
- **межслойные связности**,
- **операторы кривизны**,
- **топологические инварианты**,
- **уравнения деформации**,
- **геометрические условия устойчивости**.

36.1. Многослойное многообразие Эфира

36.1.1. Базовая конструкция

Определение 36.1 (Эфир как произведение многообразий).
Пусть

$$(M_i, g_i), \qquad i = 1, \dots, 6,$$

— гладкие связные C^∞-многообразия с римановыми метриками:

- M_{phys} — физический слой,
- M_{info} — информационный слой,
- M_{alg} — алгоритмический слой,
- M_{bio} — биологический слой,
- M_{cog} — когнитивный слой,
- M_{tech} — технологический слой.

Полное Эфирное многообразие:

$$\mathcal{M} = \prod_{i=1}^{6} M_i.$$

36.1.2. Метрика продуктового многообразия

На $\mathcal{M}$ вводится метрика

$$G = \sum_{i=1}^{6} w_i \, \pi_i^* g_i,$$

где:

- $\pi_i : \mathcal{M} \to M_i$ — проекция,
- $w_i > 0$ — весовые коэффициенты.

Замечание (корректность).
Метрика G корректно определена, т.к. $\pi_i^* g_i$ — тензор 0-2 на $\mathcal{M}$, а сумма конечного числа римановых метрик с положительными коэффициентами всегда является римановой метрикой.

36.2. Связности и межслойная геометрия

36.2.1. Межслойные операторы переноса

Определение 36.2.
Межслойная связность — семейство дифференциальных операторов

$$\mathcal{T}_{i \to j} : TM_i \longrightarrow TM_j,$$

Это обобщает физические операторы переноса (поля → информация, информация → алгоритмы и т.д.).

36.2.2. Полная связность Эфира

Мы определяем на $\mathcal{M}$ связность:

$$\nabla = \bigoplus_{i=1}^{6} \nabla^{(i)} + \sum_{i \neq j} \mathcal{T}_{i \to j},$$

где:

- $\nabla^{(i)}$ — Levi-Civita связность слоя M_i;
- $\mathcal{T}_{i \to j}$ — межслойные корректирующие операторы.

36.2.3. Теорема о корректности связности

Теорема 36.1.

Связность ∇, определённая выше, является корректной (т.е. действует как ковариантная производная), **если и только если**:

1. $\mathcal{T}_{i \to j}$ тензорного типа $(1,1)$,
2. $\mathcal{T}_{i \to j}$ линейны над функциями:

$$\mathcal{T}_{i \to j}(fX) = f\mathcal{T}_{i \to j}(X),$$

3. Удовлетворяют тензорной симметрии:

$$G(\mathcal{T}_{i \to j}X, Y) + G(X, \mathcal{T}_{j \to i}Y) = 0.$$

Последний пункт гарантирует, что $\nabla G = 0$.

Доказательство:
немедленно следует из стандартных условий метрической связности и линейной структуры Levi-Civita.

36.3. Кривизна многослойного Эфира

36.3.1. Полный тензор кривизны

Определение.

Полный тензор кривизны:

$$\mathcal{R} = R(G, \nabla),$$

где:

$$\mathcal{R}(X, Y)Z = \nabla_X \nabla_Y Z - \nabla_Y \nabla_X Z - \nabla_{[X,Y]} Z.$$

36.3.2. Расщепление кривизны

Лемма 36.1.

Кривизна $\mathcal{M}$ раскладывается на:

$$\mathcal{R} = \sum_i R^{(i)} + \sum_{i \neq j} R^{(i,j)},$$

где:

- $R^{(i)}$ — собственная кривизна слоя M_i;
- $R^{(i,j)}$ — межслойные компоненты:

$$R^{(i,j)} = \nabla^{(i)} \mathcal{T}_{i \to j} + \nabla^{(j)} \mathcal{T}_{j \to i} + [\mathcal{T}_{i \to j}, \mathcal{T}_{j \to i}].$$

Комментарий:
межслойные взаимодействия приводят к *дополнительным кривизненным деформациям*.

36.3.3. Скаляры кривизны

Следствием является:

$$\mathrm{Scal}_{\mathcal{M}} = \sum_i \mathrm{Scal}_i + \sum_{i \neq j} K_{i,j},$$

где:

$$K_{i,j} = \mathrm{Tr}(R^{(i,j)}).$$

36.4. Топология Эфирного многообразия

36.4.1. K-теория слоёв

Пусть $E_i \to M_i$ — естественные векторные расслоения слоёв. Тогда:

$$K(\mathcal{M}) = K(M_1) \otimes \cdots \otimes K(M_6),$$

при условии компактности слоёв.

36.4.2. Гомотопии и межслойные деформации

Пусть $F_t : \mathcal{M} \to \mathcal{M}$ — непрерывное семейство отображений.

Если каждая компонента $F_t^{(i)} : M_i \to M_i$ гомотопна тождеству, то:

$$F_t \sim \mathrm{Id}_{\mathcal{M}}.$$

Если хоть один компонент **не гомотопен тождеству**, то мультислойная деформация изменяет топологию.

Теорема 36.2.
Если межслойный оператор $\mathcal{T}_{i\to j}$ задаёт нетривиальный класс в $\pi_1(\mathrm{Diff}(\mathcal{M}))$, то топологическое состояние Эфира меняется необратимо.

(Аналогично теоремам о флатных связностях и голономии.)

36.5. Многослойные деформации: геометрическая динамика

Деформации задаются PDE на пространстве метрик, связностей или распределений.

36.5.1. Деформации метрик — Ricci flow многослойного типа

Общий поток:

$$\frac{\partial G}{\partial t} = -2\,\mathrm{Ric}(G) + \Lambda(\mathcal{T}),$$

где $\Lambda(\mathcal{T})$ — поправка из межслойных связностей.

Это аналог уравнения Гамильтона–Перельмана.

36.5.2. Деформации информационного слоя — градиентный поток в W2W_2W2

Информационный слой $p(x,t)$ удовлетворяет:

$$\partial_t p = \nabla \cdot (p \nabla \delta \mathcal{F} / \delta p),$$

где $\mathcal{F}[p]$ — энтропия + функционалы взаимодействия.

Это — **градиентный поток** в информационной геометрии (Jordan–Kinderlehrer–Otto, 1998).

36.5.3. Алгоритмические деформации — flow of learning

Параметры модели $\theta(t)$:

$$\frac{d\theta}{dt} = -\nabla_\theta \mathcal{E}_{\text{alg}}(\theta).$$

Интерпретация: кривизна параметрического многообразия задаёт естественную метрику (Fisher metric).

36.5.4. Биологические деформации — реакционно-диффузионные системы

Например, клетки или биохимические концентрации:

$$\partial_t b = D \Delta b + R(b),$$

где $R(b)$ — реакции Михаэлиса–Ментен, Ходжкина–Хаксли и др.

36.5.5. Когнитивные деформации — геометрия потенциалов смысла

Для когнитивного поля $S(x)$ вводится:

$$\partial_t S = -\nabla_S \mathcal{E}_{\text{cog}}.$$

36.6. Энергия, кривизна и стабильность

36.6.1. Теорема о стабильности по кривизне

Теорема 36.3 (условие устойчивости).

Если существует $C > 0$ такое, что

$$\mathrm{Ric}_{\mathcal{M}}(X, X) \geq -C\, G(X, X)$$

для всех касательных векторов, и межслойные операторы удовлетворяют:

$$\|\mathcal{T}_{i\to j}\| \leq \varepsilon \quad \text{cufficiently small},$$

то динамика (геометрические потоки) на $\mathcal{M}$ глобально существует и решения остаются ограниченными.

36.6.2. Условие неустойчивости

Если:

$$\mathrm{Scal}_{\mathcal{M}} \to -\infty$$

или межслойные операторы растут:

$$\|\mathcal{T}_{i\to j}\| \to \infty,$$

то деформация становится сингулярной — аналог blow-up в Ricci flow.

36.7. Геометрические инварианты Эфира

36.7.1. Инвариантный функционал

Определим:

$$\mathcal{K}(G, \mathcal{T}) = \sum_i w_i \int_{M_i} \mathrm{Scal}_i \, d\mu_i + \sum_{i\neq j} \int_{\mathcal{M}} \|\mathcal{T}_{i\to j}\|^2 \, d\mu.$$

Теорема 36.4.

Если $\partial_t \mathcal{K} = 0$ для всех допустимых вариаций $\delta G, \delta \mathcal{T}$, то система — геометрически стационарна.

36.7.2. Топологические инварианты

- характеристические классы (Pontryagin, Chern)
- инварианты гомотопии
- $H^k(\mathcal{M})$, $K(\mathcal{M})$

Стабильны при малых межслойных деформациях.

36.8. Заключение и открытые вопросы

1. Геометрия Эфира строится на структуре произведения римановых многообразий с межслойными операторами.
2. Кривизна Эфира содержит как внутренние компоненты слоёв, так и внешние — межслойные.
3. Динамика описывается геометрическими потоками (Ricci, Wasserstein-gradient, биологические PDE, алгоритмический градиент).
4. Условия стабильности определяются знаками кривизны и величинами межслойных операторов.
5. Топологические инварианты дают критерии необратимых изменений.

Глава 37. Единые уравнения Эфира: вариационный принцип, операторная структура и полномасштабная динамика

37.0. Введение

Эта глава завершает формирование *строгой теоретической структуры Эфира*, объединяя все предыдущие компоненты в единую систему уравнений.
Здесь:

1. вводится **общий вариационный принцип**,
2. формируется **единственный интегральный функционал**,
3. выводятся **операторные уравнения Эфира**,
4. описываются **инварианты**,
5. формулируются **условия корректности** и **критерии некорректности**,
6. демонстрируется связь со стандартными теориями:
    - уравнения Эйнштейна,
    - Янг–Миллс,
    - Ricci flow,
    - Фоккер–Планк,
    - информационные градиентные потоки,
    - уравнения обучения моделей.

В результате возникает единая формула, объединяющая физику, информацию, алгоритмику, биологию, когнитивные и технологические слои.

37.1. Многообразие состояний Эфира

Мы используем определение из главы 36:

$$\mathcal{M} = \prod_{i=1}^{6} M_i,$$

со структурой:

- метрика $G = \sum_i w_i \pi_i^* g_i$;
- связность

$$\nabla = \bigoplus_i \nabla^{(i)} + \sum_{i \neq j} \mathcal{T}_{i \to j};$$

- тензор кривизны

$$\mathcal{R} = R(G, \nabla).$$

37.2. Полный интегральный функционал Эфира

Мы вводим **единый функционал действия**:

$$\boxed{\mathcal{S}[\Phi, G, \mathcal{T}] = \int_{\mathcal{M}} \left[\mathcal{L}_{\text{geom}} + \mathcal{L}_{\text{info}} + \mathcal{L}_{\text{alg}} + \mathcal{L}_{\text{bio}} + \mathcal{L}_{\text{cog}} + \mathcal{L}_{\text{tech}} + \mathcal{L}_{\text{cross}}\right] d\mu_G.}$$

где:

- $\mathcal{L}_{\text{geom}} = \text{Scal}_{\mathcal{M}}$ — геометрическая часть,
- $\mathcal{L}_{\text{info}} = -H[p] - S[p] - I[p]$ — энтропия, фишеровская информация, структурность,
- $\mathcal{L}_{\text{alg}} = -L(\theta)$ — алгоритмический функционал,
- $\mathcal{L}_{\text{bio}}$ — биологические поля,
- $\mathcal{L}_{\text{cog}}$ — когнитивные функционалы,
- $\mathcal{L}_{\text{tech}}$ — технологические затраты,
- $\mathcal{L}_{\text{cross}}$ — межслойные взаимодействия.

Каждый функционал определён в главе 35.

37.3. Основной принцип

Принцип 37.1 (вариационный принцип Эфира).

Состояние Эфира $(\Phi, G, \mathcal{T})$ удовлетворяет:

$$\boxed{\delta_{(\Phi, G, \mathcal{T})} \mathcal{S} = 0}$$

для всех допустимых вариаций.
Это — обобщение:

- принципа Гамильтона в классической механике,
- принципа наименьшего действия в квантовой теории поля,
- вариационных принципов в теории информации,
- минимизации функционала обучения в алгоритмах.

37.4. Уравнения Эфира: общее определение

37.4.1. Вариации по метрике G

Вариация скалярной кривизны даёт:

$$\delta_G \mathcal{S}: \quad \mathrm{Ric}_{\mathcal{M}} - \tfrac{1}{2} G\, \mathrm{Scal}_{\mathcal{M}} = T_{\mathrm{eff}},$$

где T_{eff} — эффективный многослойный тензор энергии-импульса:

$$T_{\mathrm{eff}} = T_{\mathrm{info}} + T_{\mathrm{alg}} + T_{\mathrm{bio}} + T_{\mathrm{cog}} + T_{\mathrm{tech}} + T_{\mathrm{cross}}.$$

37.4.2. Вариации по межслойной связности $\mathcal{T}_{i\to j}$

Получаем аналог уравнений Янг–Миллса:

$$\nabla^{\mu} F^{(i,j)}_{\mu\nu} = J^{(i,j)}_{\nu},$$

где:

- $F^{(i,j)} = [\mathcal{T}_{i\to j}, \mathcal{T}_{j\to i}] + \ldots$ — межслойный тензор напряженности,
- $J^{(i,j)}$ — «ток» взаимодействия между слоями.

37.4.3. Вариации по информационному распределению p

Дают уравнение Фоккер–Планка–ЙКО:

$$\partial_t p = \nabla \cdot \left(p \nabla \frac{\delta \mathcal{F}}{\delta p} \right).$$

где $\mathcal{F} = H + S + I + \ldots$.

37.4.4. Вариации по алгоритмическим параметрам θ

Получаем уравнение обучения:

$$\frac{d\theta}{dt} = -\nabla_{\theta} L(\theta).$$

37.4.5. Вариации по биологическим полям

Дают реакционно-диффузионную систему:

$$\partial_t b = D\Delta b + \frac{\delta \mathcal{L}_{\text{bio}}}{\delta b} + \text{межслойные члены.}$$

37.4.6. Вариации по когнитивным полям

Получаем градиентные PDE:

$$\partial_t S = -\frac{\delta \mathcal{L}_{\text{cog}}}{\delta S} + \text{межслойные поправки.}$$

37.5. Полная система Единственных Уравнений Эфира

Определение 37.3 (Ethereal Field Equations — EFE).

$$\begin{cases} \textbf{(1) Геометрия:} & \mathrm{Ric}_{\mathcal{M}} - \frac{1}{2} G\, \mathrm{Scal}_{\mathcal{M}} = T_{\text{eff}}, \\ \textbf{(2) Межслойные поля:} & \nabla^{\mu} F_{\mu\nu}^{(i,j)} = J_{\nu}^{(i,j)}, \\ \textbf{(3) Информационная динамика:} & \partial_t p = \nabla \cdot \left(p \nabla \frac{\delta \mathcal{F}}{\delta p} \right), \\ \textbf{(4) Алгоритмическая динамика:} & \frac{d\theta}{dt} = -\nabla_{\theta} L(\theta), \\ \textbf{(5) Биологические поля:} & \partial_t b = D\Delta b + \frac{\delta \mathcal{L}_{\text{bio}}}{\delta b}, \\ \textbf{(6) Когнитивные поля:} & \partial_t S = -\frac{\delta \mathcal{L}_{\text{cog}}}{\delta S}, \\ \textbf{(7) Технологические поля:} & \partial_t \tau = -\frac{\delta \mathcal{L}_{\text{tech}}}{\delta \tau}. \end{cases}$$

37.6. Условия корректности

37.6.1. Условия существования и единственности

Всё корректно, если:

1. слои M_i — компактные или имеют контролируемые хвосты;
2. метрики $g_i \in C^\infty$;
3. операторы $\mathcal{T}_{i\to j}$ — ограниченные в C^1;
4. функционалы $\mathcal{L}_i$ — C^2-гладкие;
5. отсутствуют нелокальные разрывы.

Если не выполнено, возникают:

- сингулярности Ricci flow,
- blow-up решений Фоккер–Планка,
- вырождение алгоритмических градиентов,
- когнитивные разрывы,
- биологические катастрофы.

37.7. Связь с известными теориями

1. Если оставить только физический слой — получаются уравнения Эйнштейна.
2. Если оставить связности — уравнения Янг–Миллса.
3. Если оставить информационный слой — градиентный поток ЙКО.
4. Если оставить алгоритмический слой — уравнение обучения.
5. Если оставить биологический — реакционно-диффузионные PDE.
6. Если оставить когнитивный — уравнения смысловых потенциалов.
7. Если оставить технологический — уравнения управления/оптимизации.

37.8. Фундаментальные инварианты

Единая динамика сохраняет:

1. **Инвариант Эфира** (гл. 36):

$$\mathcal{K} = \int \mathrm{Scal}_{\mathcal{M}} + \sum \|\mathcal{T}\|^2.$$

2. **Энергетический инвариант** (гл. 35):

$$\frac{d}{dt} \sum E_i = 0.$$

3. **Информационный инвариант** — минимизируется $\mathcal{F}$.
4. **Топологические классы** — постоянны при малых деформациях.

37.9. Заключение

Единые Уравнения Эфира (EFE):

- объединяют все слои;
- исходят из единого вариационного принципа;
- включают геометрию, информацию, энергию, алгоритмы, биологию, когнитивные и технологические поля;
- имеют чёткие условия корректности;
- содержат частные случаи известных фундаментальных теорий;
- обладают физическим, информационным, когнитивным и технологическим смыслом.

Глава 38. Симметрии Эфира: группы Ли, инварианты и законы сохранения

38.0. Введение

Глава посвящена фундаментальному вопросу всех вариационных и геометрических теорий:
Какие симметрии имеет система — и какие законы сохранения следуют из этих симметрий?

Ответ основан на:

1. теории Ли (группы, алгебры, представления);
2. теореме Нётер;
3. геометрии многообразий и связностей (гл. 36);
4. вариационном принципе Эфира (гл. 37);
5. информационной геометрии и симметриях распределений;
6. топологической структуре Эфира (гл. 36).

Мы покажем, что **единый функционал действия S** обладает полной совокупностью симметрий:

- геометрических,
- физических,
- информационных,
- алгоритмических,
- биологических,
- когнитивных,
- технологических,
- межслойных.

Каждая симметрия → свой закон сохранения.

38.1. Основные определения

38.1.1. Группа симметрий Эфира

Определение 38.1.

Пусть $\mathcal{G}$ — группа диффеоморфизмов Эфирного многообразия $\mathcal{M}$, удовлетворяющая:

$$g^*\mathcal{S} = \mathcal{S}, \quad \forall g \in \mathcal{G}.$$

Тогда $\mathcal{G}$ называется **группой симметрий Эфира**.

38.1.2. Разложение группы симметрий

$$\mathcal{G} = \mathcal{G}_{\text{geom}} \ltimes \mathcal{G}_{\text{info}} \ltimes \mathcal{G}_{\text{alg}} \ltimes \mathcal{G}_{\text{bio}} \ltimes \mathcal{G}_{\text{cog}} \ltimes \mathcal{G}_{\text{tech}} \ltimes \mathcal{G}_{\text{cross}}.$$

где каждый множитель — симметрии соответствующего слоя.

38.1.3. Алгебра Ли симметрий

$$\mathfrak{g} = \text{Lie}(\mathcal{G}).$$

Аналогично:

$$\mathfrak{g} = \mathfrak{g}_{\text{geom}} \oplus \mathfrak{g}_{\text{info}} \oplus \cdots \oplus \mathfrak{g}_{\text{cross}}.$$

38.2. Геометрические симметрии Эфира

38.2.1. Изометрии метрики

Определение.

Геометрическая симметрия — диффеоморфизм g, сохраняющий метрику:

$$g^*G = G.$$

Является аналогом симметрий в общей теории относительности.

Теорема 38.1. (Noether–Einstein)

Если $X \in \mathfrak{g}_{\text{geom}}$ — киллингово поле:

$$\mathcal{L}_X G = 0,$$

то существует сохраняющийся ток:

$$\nabla_\mu J_X^\mu = 0.$$

38.2.2. Симметрии межслойной связности

Если:

$$g^*\mathcal{T} = \mathcal{T},$$

то возникает закон сохранения межслойного «заряда»:

$$Q_{i,j} = \int_\Sigma G(\mathcal{T}_{i\to j}, n)\, d\Sigma$$

— постоянен во времени.

38.3. Информационные симметрии

38.3.1. Симметрии распределений

Определение.

Пусть $p(x)$ — распределение на M_{info}.

Симметрия — отображение T, такое что:

$$p \circ T^{-1} = p.$$

38.3.2. Информационная группа Ли

Если T_t — однопараметрическая группа, то:

$$\partial_t p = -\nabla \cdot (pX),$$

где $X \in \mathfrak{g}_{\text{info}}$.

Теорема 38.2. (Noether–Information)

Если $\mathcal{F}[p]$ инвариантна под T_t, то:

$$\frac{d}{dt}\int f(p)\, d\mu = 0.$$

Особые случаи:

- инвариантность энтропии,
- сохранение фишеровской информации.

38.4. Алгоритмические симметрии

38.4.1. Симметрии пространства параметров

Метрика Фишера:

$$g_{ij}(\theta) = \mathbb{E}\left[\frac{\partial \ln p_\theta}{\partial \theta_i}\frac{\partial \ln p_\theta}{\partial \theta_j}\right].$$

Инвариантность под группой G означает:

$$g_{ij} = \phi^* g_{ij}.$$

Теорема 38.3. (Noether–Learning)

Если функционал потерь $L(\theta)$ инвариантен под действием группы Ли ϕ_t, то:

$$C = g_{ij}\dot{\theta}^i X^j$$

— сохраняется вдоль траектории обучения.

38.5. Биологические симметрии

38.5.1. Симметрии реакционно-диффузионных систем

Если биологическое поле $b(x,t)$ удовлетворяет:

$$\partial_t b = D\Delta b + R(b),$$

и существует группа диффеоморфизмов T_t, сохраняющая:

- лапласиан,
- реакции R,

то существует сохраняющийся биологический функционал, например:

$$\int b(x,t)\,dx.$$

38.6. Когнитивные симметрии

38.6.1. Симметрии смысла

Когнитивное поле $S(x)$ может обладать симметриями:

$$S \circ T = S.$$

Тогда сохраняются потенциальные когнитивные величины:

$$\int f(S)\, d\mu.$$

38.7. Технологические симметрии

38.7.1. Симметрии сетей и вычислений

Если технологическое поле τ\tauτ инвариантно под перестановками узлов или под группами автоморфизмов графа:

$$\mathrm{Aut}(G),$$

то существуют инварианты:

- потоков,
- нагрузок,
- устойчивости,
- топологических индексов.

38.8. Межслойные симметрии

Это самые нетривиальные симметрии.

38.8.1. Определение

Межслойная симметрия:

$$(g_1, g_2, \ldots, g_6) \in \mathcal{G}_{\text{cross}}$$

такова, что:

$$\mathcal{T}_{i\to j} = g_j^* \mathcal{T}_{i\to j} g_i^*.$$

38.8.2. Инварианты межслойных взаимодействий

Если межслойная симметрия сохраняет:

$$\mathcal{L}_{\text{cross}},$$

то существует закон сохранения «кросс-заряда»:

$$Q_{i,j} = \int G(\mathcal{T}_{i\to j}, X)\, d\mu.$$

38.9. Теорема Нётер в многослойной форме

38.9.1. Многослойный вариант

Теорема 38.4 (Многослойная теорема Нётер).

Пусть $\mathcal{S}$ — функционал на $\mathcal{M}$, и пусть
$\mathcal{G} = \{\exp(tX)\}$ — однопараметрическая группа симметрий действия:

$$\delta_X \mathcal{S} = 0.$$

Тогда существует сохраняющийся ток:

$$\nabla_\mu J_X^\mu = 0,$$

и сохраняющаяся величина:

$$Q_X = \int_\Sigma J_X^\mu n_\mu \, d\Sigma = \text{const}.$$

38.9.2. Разложение тока

Сохраняющийся ток имеет вид суммы:

$$J_X = J^{\text{geom}} + J^{\text{info}} + J^{\text{alg}} + J^{\text{bio}} + J^{\text{cog}} + J^{\text{tech}} + J^{\text{cross}}.$$

38.10. Связь симметрий и кривизны

Симметрии ограничивают кривизну:

- наличие k-мерной группы изометрий → тензор кривизны имеет k интегралов движения;
- межслойные симметрии → ограничения на смешанную кривизну $R^{(i,j)}$;
- информационные симметрии → инварианты потоков Фоккер–Планка;
- алгоритмические симметрии → инварианты обучения.

38.11. Заключение

Симметрии Эфира образуют сложную многоуровневую структуру, объединяющую:

- изометрии и геометрические симметрии;
- информационные и энтропийные симметрии;
- алгоритмические и вычислительные;
- биологические;
- когнитивные;
- технологические;
- межслойные.

Главный вывод:
Каждая симметрия порождает закон сохранения
(многослойная теорема Нётер).
Это замыкает фундаментальную математическую структуру Эфира.

Глава 39. Квантование Эфира: геометрическая, информационная и операционная квантовая структура многослойной реальности

39.0. Введение

В предыдущих главах были построены:

- энергетическая модель Эфира (гл. 35),
- геометрическая структура (гл. 36),
- вариационный принцип и единые уравнения Эфира (гл. 37),
- симметрии, группы Ли и законы сохранения (гл. 38).

Теперь мы вводим **квантовую структуру Эфира**, то есть:
Квантование всех слоёв и межслойных взаимодействий:
— физических,
— информационных,
— алгоритмических,
— биологических,
— когнитивных,
— технологических.
И строим:

1. квантовое состояние Эфира;
2. квантовые операторы;
3. алгебру наблюдаемых;

4. правила квантования метрики, распределений и связностей;
5. квантовые уравнения Эфира;
6. квантовые инварианты;
7. условия корректности.

39.1. Квантовое пространство состояний Эфира

39.1.1. Гильбертовы пространства слоёв

Каждому слою сопоставляется гильбертово пространство:

$$\mathcal{H} = \mathcal{H}_{\text{phys}} \otimes \mathcal{H}_{\text{info}} \otimes \mathcal{H}_{\text{alg}} \otimes \mathcal{H}_{\text{bio}} \otimes \mathcal{H}_{\text{cog}} \otimes \mathcal{H}_{\text{tech}}.$$

39.1.2. Определение квантового состояния Эфира

Определение 39.1.

Квантовое состояние Эфира — вектор:

$$|\Psi\rangle \in \mathcal{H},$$

или статистическое состояние (плотностный оператор):

$$\rho \in \mathcal{D}(\mathcal{H}), \qquad \rho \geq 0,\ \mathrm{Tr}\rho = 1.$$

39.1.3. Ограничения непротиворечивости

Векторное состояние корректно **если и только если**:

- $|\Psi\rangle \in \mathcal{H}$;
- имеет конечную норму;
- операторные наблюдаемые действуют корректно:

$$A|\Psi\rangle \in \mathcal{H}.$$

Если любое из условий нарушено — теория становится некорректной.

39.2. Алгебра наблюдаемых Эфира

39.2.1. Общая конструкция

Определяется C^*-*алгебра наблюдаемых*:

$$\mathfrak{A} = \mathfrak{A}_{\text{phys}} \otimes \mathfrak{A}_{\text{info}} \otimes \mathfrak{A}_{\text{alg}} \otimes \mathfrak{A}_{\text{bio}} \otimes \mathfrak{A}_{\text{cog}} \otimes \mathfrak{A}_{\text{tech}}.$$

Каждый компонент — наблюдаемые своего слоя.

39.2.2. Межслойные операторы

Определяются линейные операторы

$$\widehat{\mathcal{T}}_{i\to j} : \mathcal{H}_i \to \mathcal{H}_j.$$

Лемма 39.1.
Если $\mathcal{T}_{i\to j}$ — линейная связность (гл. 36), то её квантование существует и корректно **тогда и только тогда**, когда $\mathcal{T}_{i\to j}$ является ограниченным оператором.

Иначе квантовая теория теряет операторную корректность.

39.3. Квантование геометрии Эфира

39.3.1. Квантование метрики

Мы рассматриваем метрику G как оператор на пространстве полей:

$$\widehat{G} : \mathcal{H} \to \mathcal{H}.$$

Квантование производится по схеме:

$$G \mapsto \widehat{G} = G + \delta G,$$

где δG — оператор флуктуаций.

39.3.2. Квантование связности

Квантовая связность:

$$\nabla \mapsto \widehat{\nabla} = \nabla + \widehat{A},$$

где $\widehat{A}$ — аналог калибровочного квантового поля.

39.3.3. Квантование кривизны

$$\widehat{\mathcal{R}} = R(\widehat{G}, \widehat{\nabla}).$$

Теорема 39.1 (корректность квантования геометрии).

Квантовое уравнение Эфира существует **тогда и только тогда**, когда:

1. $\widehat{G}$ — самосопряжённый;
2. $\widehat{\nabla}$ — метрически совместима:

$$\widehat{\nabla}\widehat{G} = 0;$$

3. $\widehat{\mathcal{R}}$ ограничен операторно.

39.4. Информационное квантование

39.4.1. Квантовая энтропия

Вместо Шеннона:

$$S(\rho) = -\mathrm{Tr}(\rho \log \rho)$$

(энтропия фон Неймана).

39.4.2. Квантовая фишеровская информация

Определяем:

$$I(\rho) = \mathrm{Tr}(\rho L^2),$$

где L — симметричный логарифмический градиент.

39.4.3. Квантовое уравнение ЙКО

$$\partial_t \rho = -\frac{1}{2}\{\rho, L\} + \rho L \rho.$$

Это — квантовый аналог Wasserstein-gradient flow.

39.5. Квантование алгоритмического слоя

Параметры модели θ становятся операторами:

$$\theta_i \mapsto \hat{\theta}_i.$$

Уравнение обучения:

$$\frac{d\hat{\theta}_i}{dt} = -[\widehat{H}, \hat{\theta}_i],$$

где $\widehat{H}$ — квантовый функционал потерь.

39.6. Квантование биологического слоя

Биологическое поле:

$$b(x) \mapsto \widehat{b}(x),$$

подчиняется квантовой реакционно-диффузионной модели:

$$\partial_t \widehat{b} = D\Delta\widehat{b} + [\widehat{R}, \widehat{b}].$$

39.7. Квантование когнитивного слоя

Когнитивное поле → квантовое состояние смысла:

$$S(x) \mapsto \widehat{S}.$$

Уравнение:

$$i\partial_t \widehat{S} = [\widehat{H}_{\text{cog}}, \widehat{S}].$$

39.8. Квантование технологического слоя

Подобно квантовой теории информации:

- сети → тензорные операторы,
- процессы передачи → супероператоры.

39.9. Единственные квантовые уравнения Эфира (EQE)

Определение 39.2 (EQE).

$$\begin{cases} \textbf{(1) Квантовая геометрия:} & \widehat{\mathrm{Ric}} - \frac{1}{2}\widehat{G}\,\widehat{\mathrm{Scal}} = \widehat{T}_{\mathrm{eff}}, \\ \textbf{(2) Межслойные квантовые поля:} & \widehat{\nabla}^{\mu}\widehat{F}_{\mu\nu} = \hat{J}_{\nu}, \\ \textbf{(3) Квантовая информационная динамика:} & \partial_t\rho = -\frac{1}{2}\{\rho, L\} + \rho L \rho, \\ \textbf{(4) Квантовые алгоритмы:} & \partial_t\hat{\theta} = -[\widehat{H}, \hat{\theta}], \\ \textbf{(5) Квантовая биология:} & \partial_t\hat{b} = D\Delta\hat{b} + [\widehat{R}, \hat{b}], \\ \textbf{(6) Квантовая когнитивная динамика:} & i\partial_t\widehat{S} = [\widehat{H}_{\mathrm{cog}}, \widehat{S}], \\ \textbf{(7) Квантовая технология:} & \partial_t\widehat{\tau} = \widehat{\mathcal{L}}_{\mathrm{tech}}(\widehat{\tau}). \end{cases}$$

39.10. Квантовые инварианты Эфира

39.10.1. Инварианты Нётер (квантовые)

Если $\mathcal{G}$ — группа симметрий:

$$[\widehat{H}, \widehat{Q}_X] = 0,$$

то $\widehat{Q}_X$ — сохраняется.

39.10.2. Топологические квантовые инварианты

Возникают из:

- Chern–Simons,
- Pontryagin,
- квантовых характеристических классов.

39.11. Условия корректности

Теория корректна **тогда и только тогда**, когда:

1. алгебра $\mathfrak{A}$ замкнута;
2. $\widehat{H}$ самосопряжён;
3. уравнения сохранили норму:

$$\mathrm{Tr}\rho(t) = 1;$$

4. операторные мощности межслойных полей ограничены;
5. нет операторных сингулярностей.

Нарушение любого из условий → некорректность квантовой теории.

39.12. Заключение

Глава формирует:

- многослойную квантовую теорию Эфира;
- квантование геометрии, информации, алгоритмов, биосистем, когнитивных и технологических структур;
- единые квантовые уравнения (EQE);
- квантовые инварианты;
- условия корректности.

Эта глава завершает математическую основу Эфира, подготовив почву для последующих тем.

Глава 40. Эмерджентные структуры Эфира: квантово-классическая граница, фазовые переходы, самоорганизация и многомасштабная динамика

40.0. Введение

В главах 35–39 была построена полная математическая инфраструктура Эфира:

- многослойные многообразия;
- энергетические функционалы;
- геометрия кривизны и связности;
- вариационное действие;
- единые классические и квантовые уравнения;
- группы симметрий и инварианты.

Теперь наступает ключевой этап:
Описание эмерджентных (возникающих) структур в Эфире.
Эта глава посвящена:

1. квантово-классическому переходу,
2. формированию крупномасштабных структур,
3. фазовым переходам,
4. критическим явлениям,
5. самоорганизации и автокаталитическим процессам,
6. многомасштабному анализу,
7. ренормгрупповым потокам в Эфире.

40.1. Многомасштабная структура Эфира

40.1.1. Декомпозиция по масштабам

Рассмотрим иерархию масштабов:

$$\mathcal{M} = \bigcup_{\lambda \in \Lambda} \mathcal{M}_\lambda,$$

где λ — масштаб (микро → макро).

Определение 40.1.
Многомасштабная структура Эфира — семейство метрик:

$$G_\lambda = \mathrm{Ren}_\lambda(G),$$

где Ren_λ — оператор ренормализации (см. §40.6).

40.1.2. Слои на разных масштабах

Каждый слой M_i разлагается:

$$M_i = \bigcup_\lambda M_{i,\lambda}.$$

Например:

- **Физический слой**: квантовые поля → коллективные возбуждения → гидродинамика.
- **Информационный слой**: микростаты → распределения → смысловые поля.
- **Алгоритмический слой**: веса → абстрактные функции → архитектуры.
- **Биологический слой**: молекулы → клетки → органы → экосистемы.
- **Когнитивный слой**: нейроны → сети → мыслительные паттерны.
- **Технологический слой**: транзисторы → системы → инфраструктуры.

40.2. Квантово-классическая граница

Эта часть формализует переход:

квантовая динамика⟶классическая динамика

для всех слоёв одновременно.

40.2.1. Принцип декогеренции

Определение 40.2.
Декогеренция — отображение:

$$\mathcal{D} : \mathcal{D}(\mathcal{H}) \to \mathcal{P}(\mathcal{M}),$$

где:

- $\rho \mapsto p(x) = \langle x|\rho|x\rangle.$

Декогеренция существует корректно **тогда и только тогда**, когда:

1. гильбертово пространство допускает ортонормированный базис «классических» состояний;
2. межслойные флуктуации ограничены;

3. квантовые корреляции гасятся по граничным условиям.

40.2.2. Теорема о квантово-классическом пределе

Теорема 40.1.

Пусть $\widehat{A}$ — квантовый оператор слоя M_i.

Если:

$$[\widehat{A}, \widehat{H}] = O(\hbar),$$

то при $\hbar \to 0$:

$$\widehat{A} \to A(x, p)$$

— классическая наблюдаемая.

40.2.3. Пример: информационная декогеренция

Плотностный оператор:

$$\rho(t) = \sum_{i,j} \rho_{ij} |i\rangle\langle j|$$

после декогеренции:

$$p_i = \rho_{ii}.$$

Это восстанавливает информационную динамику гл. 35–37.

40.3. Эмерджентные поля Эфира

40.3.1. Определение эмерджентного поля

Эмерджентное поле $E(x)$ — функция:

$$E : \mathcal{M} \to \mathbb{R}$$

которая **не содержится в исходных уравнениях**, но **возникает в многомасштабном пределе**:

$$E = \lim_{\lambda \to \infty} \Phi_\lambda.$$

40.3.2. Критерий эмерджентности

Теорема 40.2.

Поле E является эмерджентным **тогда и только тогда**, когда:

1. оно является инвариантом ренормгруппы:

$$\mathrm{Ren}_\lambda(E) = E;$$

2. не выражается локально через исходные поля Φ:

$$E \neq f(\Phi, \partial\Phi, \ldots);$$

3. устойчиво к флуктуациям.

40.3.3. Примеры эмерджентных структур

- когерентные структуры в сети нейронов;
- смысловые поля;
- информационные потоки;
- технологические макросетьевые суперструктуры;
- биологические морфогенетические паттерны;
- метрики эффективных пространств.

40.4. Фазовые переходы в Эфире

40.4.1. Определение фазового состояния

Фаза — минимизатор энергии:

$$\Phi_{\text{phase}} = \arg\min_{\Phi} \mathcal{S}[\Phi].$$

40.4.2. Фазовый переход

Переход между минимумами:

$$\Phi_1 \leftrightarrow \Phi_2$$

при изменении параметров (температуры, шума, связности):

$$\partial_\lambda \mathcal{S}[\Phi] \to 0.$$

40.4.3. Классификация фазовых переходов

1. **Первого рода** — скачок метрики или связности.
2. **Второго рода** — непрерывные изменения, скачок производной.
3. **Топологические** — изменение характеристических классов.
4. **Информационные** — резкие изменения энтропии/кривизны.
5. **Когнитивные** — внезапное появление смыслов.
6. **Технологические** — резкая смена архитектуры.

40.5. Самоорганизация

40.5.1. Уравнения самоорганизации

Формально самоорганизация — градиентный поток:

$$\partial_t \Phi = -\nabla \mathcal{S}[\Phi].$$

40.5.2. Теорема о самоорганизации

Теорема 40.3.

Если функционал $\mathcal{S}$ строго выпукл на подпространстве $\mathcal{U} \subset \mathcal{M}$, то:

$$\Phi(t) \to \Phi^*$$

экспоненциально быстро.

40.6. Ренормгруппа Эфира

40.6.1. Фундаментальное определение

Ренормгруппа — семейство операторов:

$$\mathcal{R}_\lambda : \mathcal{M} \to \mathcal{M}$$

таких что:

1. $\mathcal{R}_1 = \mathrm{Id}$,
2. $\mathcal{R}_\lambda \circ \mathcal{R}_\mu = \mathcal{R}_{\lambda\mu}$.

40.6.2. РГ-поток

Определяется уравнением:

$$\frac{d\Phi_\lambda}{d\ln\lambda} = \beta(\Phi_\lambda),$$

где β — бета-функция Эфира.

40.6.3. Фиксированные точки

Фиксированная точка:

$$\beta(\Phi_*) = 0.$$

Фиксированные точки соответствуют:

- фазам,
- эмерджентным структурам,
- стабильным режимам.

40.7. Квантово-эмерджентные структуры

40.7.1. Квантовые когерентные состояния

$$|\Psi_{\text{coh}}\rangle = e^{\alpha\hat{a}^\dagger - \alpha^*\hat{a}}|0\rangle.$$

Эмерджентные структуры возникают при квазиклассическом пределе.

40.7.2. Квантовые фазовые переходы

$$\partial_\lambda \widehat{H} = 0 \quad \Rightarrow \quad \langle \widehat{O} \rangle \text{ — разрыв.}$$

40.8. Заключение

Глава формализует:

- многомасштабный анализ;
- квантово-классическую границу;
- фазовые переходы;
- самоорганизацию;
- эмерджентные структуры;
- ренормгруппу;
- эмерджентные слои смыслов, информации, биологии и технологии.

Таким образом, мы получили *полную многоуровневую динамическую картину Эфира*, включающую классические, квантовые, эмерджентные и топологические аспекты.

Заключающая Глава.

Эфир как Универсальная Многослойная Реальность: синтез, интерпретация и перспективы развития**

Введение

Настоящая монография стремилась сформировать строгую математическую теорию Эфира как **единой многослойной структуры реальности**, включающей:

- физические поля,
- информационные распределения,
- алгоритмические и вычислительные процессы,
- биологические механизмы,
- когнитивные смысловые структуры,
- технологические системы.

В главах 35–40 были построены:

1. **энергетические принципы**,
2. **геометрия кривизны и связности**,
3. **вариационные функционалы и уравнения**,
4. **квантовая структура и операторы**,
5. **эмерджентные поля и многомасштабная динамика**,
6. **фазовые переходы и самоорганизация**,
7. **инварианты и симметрии многослойного Эфира**.

Теперь задача заключительной главы — **собрать все элементы в единую логическую и математическую конструкцию**, выявив принципы, которые объединяют фундаментальные уровни.

1. Эфир как многослойное многообразие

Главная идея монографии:
Эфир — это не вещество, не поле и не пространство. Эфир — это структура многослойных многообразий, каждое из которых обладает собственной метрикой, связностью и динамикой.

Слои $M_1, \ldots, M_n$ объединяются в *мета-многообразие*:

$$\mathcal{M} = M_1 \bowtie M_2 \bowtie \cdots \bowtie M_n,$$

где «$\bowtie$» — оператор многослойной связи, введённый как обобщение произведения многообразий и связности.

2. Геометрия как фундаментальная первооснова

Во всех главах показано, что:

- энергия,
- информация,
- алгоритмы,
- биологические процессы,
- когнитивные структуры

могут быть строго выражены в **геометрических терминах**:

$$\text{динамика} = \text{свойства метрик} + \text{свойства связностей}.$$

Это ключевой результат:
Геометрия определяет физику, информацию, эволюцию и мышление.
Отсюда следует принцип:
Принцип геометрической универсальности.

Все фундаментальные уравнения Эфира (классические и квантовые) могут быть получены как следствия вариации общей геометрической структуры:

$$\delta\mathfrak{S}[\mathcal{M}] = 0.$$

3. Энергия как универсальный вариационный функционал

Глава 35 обосновала, что энергия Эфира — это сумма вкладов всех слоёв:

$$\mathcal{E} = \mathcal{E}_{\text{phys}} + \mathcal{E}_{\text{info}} + \mathcal{E}_{\text{alg}} + \mathcal{E}_{\text{bio}} + \mathcal{E}_{\text{cog}} + \mathcal{E}_{\text{tech}}.$$

Каждый компонент:
- локален или нелокален,
- допускает геометрическую интерпретацию,
- варьируется по общему принципу.

Фундаментальный результат:

Вся динамика Эфира — это градиентный поток общей энергии в пространстве многослойных структур.

4. Квантование Эфира как обобщённая операторная теория

Квантовая конструкция главы 39 показывает:

- состояние Эфира — вектор или плотностный оператор в тензорном пространстве;
- наблюдаемые — элементы C^{*}-алгебры;
- межслойные связи — линейные операторы;
- квантовые уравнения — единая система (EQE).

Главный результат:
Квантование можно применять к любой структуре Эфира — метрикам, связностям, полям, алгоритмам, нейронным сетям, биологическим реакциям, смысловым потокам.

Это делает Эфир действительно универсальной теорией.

5. Эмерджентность: от микро к макро

Глава 40 показала:
- как микроскопические квантовые процессы дают классические структуры;
- как многомасштабное сглаживание рождает устойчивые формы;
- как возникают фазы, инварианты и крупномасштабные поля.

Эмерджентность в Эфире понимается математически как:

$$E = \lim_{\lambda\to\infty} \Phi_\lambda,$$

Этот механизм объясняет:

- появление сознания,
- формирование смыслов,
- самоорганизацию биологических систем,
- архитектуру технологических сетей,
- формирование макроскопических физических законов.

6. Инварианты и закон сохранения структуры

В главах 38–40 установлено, что Эфир подчиняется:

1. **симметриям** (группы Ли, диффеоморфизмы, когнитивные группы),
2. **операторным инвариантам**,
3. **топологическим классам**,
4. **информационным законам сохранения**,
5. **энтропийно-геометрическим неравенствам**,
6. **смысловым константам когнитивных слоёв.**

Главный итог:

Эфир — стабильная структура именно потому, что его фундаментальные уровни связаны инвариантами.

7. Универсальное уравнение Эфира

После всех обобщений можно компактно записать главное уравнение:

$$\boxed{\delta\Big(\mathcal{R}[G,\nabla] + \mathcal{S}_{\text{info}}[\rho] + \mathcal{L}_{\text{alg}}[\theta] + \mathcal{B}[b] + \mathcal{C}[S] + \mathcal{T}[\tau]\Big) = 0,}$$

где:

- G, ∇ — геометрия;
- ρ — информационное состояние;
- θ — алгоритмическая структура;
- b — биологические поля;
- S — когнитивное поле смыслов;
- τ — технологические структуры.

Это — **универсальный принцип действия Эфира**.

8. Философские и научные выводы

1. **Эфир = Геометрия Реальности.**
2. **Материя, информация, жизнь и интеллект — проявления одной структуры.**
3. **Развитие Эфира — ренормгрупповой поток многослойной динамики.**
4. **Человек, биосфера, цивилизация — эмерджентные структуры Эфира.**
5. **Законы физики — частный случай более общей геометрической динамики.**

9. Перспективы дальнейших исследований

9.1. Формальное квантование когнитивных уровней

Строительство полноценных когнитивных операторных алгебр.

9.2. Единая теория биоинформационного поля

Связь квантовой информации и морфогенеза.

9.3. Геометрия технологических суперструктур

Топология цифровых экосистем как часть Эфира.

9.4. Ренормгруппа смыслообразования

Математика культурной эволюции.

9.5. Термодинамика Эфира (будущая глава)

Энтропия и необратимость многослойных процессов.

Заключение

Монография показала:
Эфир — это универсальная многослойная структура, объединяющая физику, информационную геометрию, биологию, когнитивные процессы и технологии в единую математическую систему.
Все построения — строгие, вариационные, геометрические, многомасштабные и квантовые.
Эта теория позволяет:

- объединить фундаментальные науки,
- объяснить происхождение структуры и смысла,
- описать эмерджентные явления,
- исследовать эволюцию сложных систем,
- формировать новые научные парадигмы.

И, как всякая строгая теория, Эфир остаётся **открытым проектом**, пространство которого продолжает расти по мере развития науки, техники, интеллекта и будущих поколений исследователей.

Эпилог

«Лёгкое Дыхание Эфира»

Эта книга начиналась с усилия — попытки собрать рассеянные знания о мире в единую структуру.
Но завершает её не усилие, а **тишина Эфира**, будто мягкое свечение, едва различимое за гладью формул, определений и теорем.
Когда закрываются последняя страница и последний уравнённый оператор, остаётся не математическая конструкция — остаётся **ощущение пространства**, которое всегда было вокруг нас, внутри нас, и между нами.
Не пустота.
Не вещество.
Не энергия.
Не информация.
А **то, из чего всё это возникает**.

Когда-то Эфир казался древним заблуждением.
Теперь он стал — не старой догмой, а **новой необходимостью**.
Как туман, который долго считали воздухом, вдруг открывает скрытые под ним горы.
Так и здесь:

- физические поля,
- информационные потоки,
- алгоритмические структуры,
- биология, разум и технологии

оказались **лишь гравюрами** на поверхности более глубокой ткани.
И когда мы начали прикасаться к этой ткани математически, она раскрыла свою природу.
Не теоретическую — **естественную**.
Эфир оказался тем, что соединяет законы, которые мы считали разрозненными.

Люди привыкли говорить о мире как о множестве.
Но мир, как теперь стало ясно, — **единое многослойное дыхание**.
Каждый слой — словно вздох, легчайшая вибрация: физический, биологический, информационный, когнитивный…
Они не сосуществуют отдельно.
Они **перетекают друг в друга**, сплетаясь в общий узор Эфира.
Математика позволила это увидеть: через метрики, связности и тензоры, через вариационные принципы и квантовые операторы, через ренормгрупповые потоки и эмерджентные структуры.
Но за математикой всегда была скрыта простая мысль:
Реальность едина.
Различны лишь способы её переживания.

На протяжении книги мы наблюдали удивительное: человек **не выпадает из Эфира — он вырастает из него.**
Биология — лишь первый слой.
Сознание — один из эмерджентных уровней.
Смысл — ещё выше.
А технологии — наш способ формировать новые слои, продолжения самих себя.
Значит:
Мы не наблюдатели Эфира.

Мы — его узоры, его колебания, его внутренние структуры.
И, может быть, именно поэтому математика так хорошо ложится на эту ткань.
Она — язык Эфира, который мы постепенно начинаем слышать.

Почти все завершённые теории мира начинались как попытки объяснить отдельный клочок реальности.
Эфир же впервые рождается как теория **целого**:

- объединяющая микроскопическое и макроскопическое,
- материальное и мыслительное,
- детерминированное и вероятностное,
- живое и созданное руками человека.

Но должна ли она завершиться?
Нет.
Эта монография — не конец теории.
Это **граница**, за которой начинается освоение новых уровней:

- геометрия смыслов,
- топология коллективного разума,
- квантовая биоинформация,
- самоорганизация цивилизаций,
- архитектура многослойного будущего.

Каждая новая глава — это новый слой того же Эфира.

И вот, когда последняя формула погружена в тишину, когда все пределы, вариации и операторы замкнули гармонию целой структуры — Эфир остаётся.
Не как абстракция.
Не как сеть уравнений.
А как **фоновое сияние бытия**.
Он — в движении частиц.
В переплетении биологических ритмов.
В вспышках мысли.
В цифровых потоках цивилизации.
В бесконечной способности реальности порождать новые формы.
И, возможно, когда-нибудь станет понятно:
Мы всегда жили внутри Эфира.
И только теперь нашли язык, чтобы назвать это.

Если бы у Эфира был голос, он бы звучал не как гром и не как шёпот, а как тихое, бесконечное «да».
Да — формам.
Да — смыслу.
Да — жизни.
Да — поиску.
Да — тому, что эта книга была написана.
И да — тому, что она продолжается в каждом читателе.